



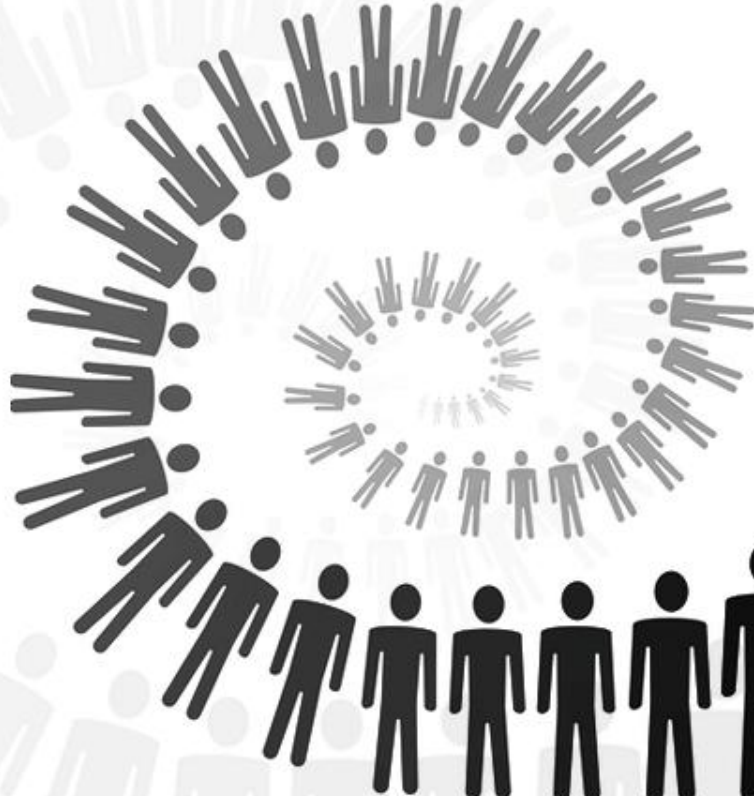
پژوهشکده کیاگان و مواد اویه دارویی
کروه کشاورزی

سینکلی پژوهش و فناوری کیاگان دارویی

کارگاه آموزشی و عملی

تولید متابولیت‌های ثانویه از طریق کشت های سوسانسیون سلولی و
ریشه‌های مویینه

درس: دکتر محمد حسن میرجلیبی
استادیار فنریولوژی و اصلاح کیاگان دارویی



2000

شش میلیارد

2010

شش و نیم میلیارد

2011

هفت میلیارد

2013

هفت و نیم میلیارد

2025

هشت میلیارد

2050

نه و نیم میلیارد





درصد رشد تقریبی سالانه جمعیت جهان

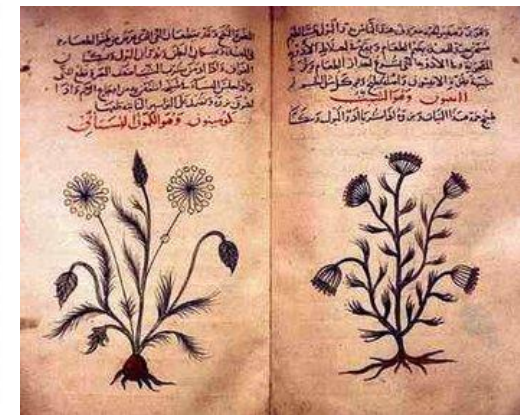
قاره	۲۰۰۰-۲۰۵۰	۱۹۹۰-۲۰۰۰	۱۹۵۰-۱۹۹۰	۱۸۵۰-۱۹۵۰	۱۶۵۰-۱۸۵۰	۱۶۵۰-۱۷۵۰
اروپا	-۰/۱۸	۰/۰۷	۰/۶۹	۰/۷۲	۰/۶۴	۰/۲۴
آسیا	۰/۷۵	۱/۴۹	۲/۰۴	۰/۶۲	۰/۴۵	۰/۳۷
آمریکای لاتین	۰/۸۴	۱/۶۵	۲/۴۲	۱/۶۲	۱/۱	-۰/۰۹
آمریکای شمالی	۰/۷۶	۱/۰۴	۱/۲۴	۱/۸۹	۳/۲۶	۰
اقیانوسیه	۱/۹۶	۱/۷۶	۱/۷۳	۱/۸۷	۰	۰
آفریقا	۱/۷۲	۲/۴۹	۲/۵۷	۰/۸۴	۰	-۰/۰۵
جهان	۰/۸۴	۱/۴۲	۱/۸۴	۰/۷۷	۰/۴۷	۰/۲۹

✓ اهمیت حفظ امنیت غذایی و سلامت

طب سنتی



ترشح شیرهادر، خد نفخ نوزاد، قویت نوزاد



استفاده از متابولیت‌های ثانویه بسیار ارزشمند در گیاهان



اسانس‌ها و
مواد بهداشتی

رنگ‌ها و طعم
دهنده‌های
طبیعی

آفت کش
طبیعی

محصولات
دارویی

Citrus limon
Rosmarinus officinalis

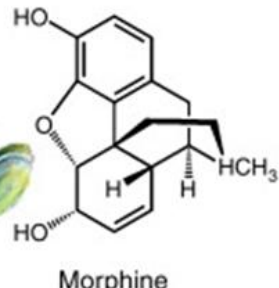
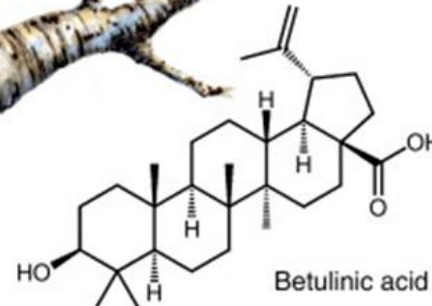
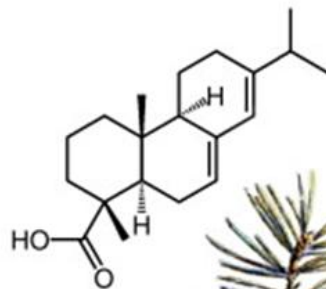
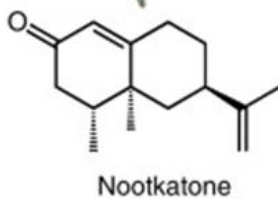
Crocus sativus
Vanilla planifolia

Azadirachta indica
Azadirachtin

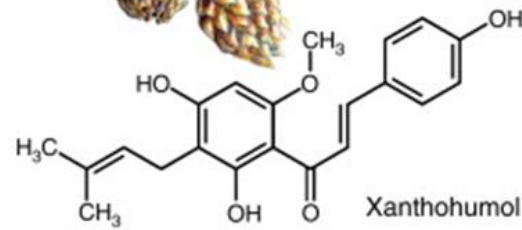
Mentha piperita
Menthol



متabolیت‌های ثانویه

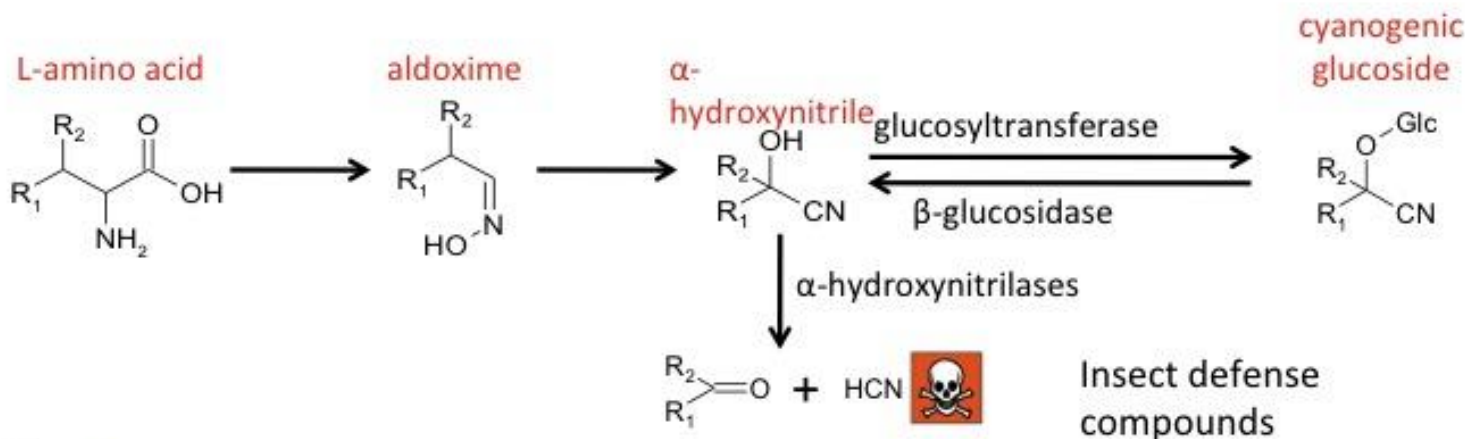


Strictosidine





Cyanogenic Glucosides



Lotus



Sorghum

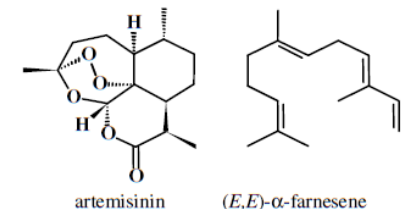
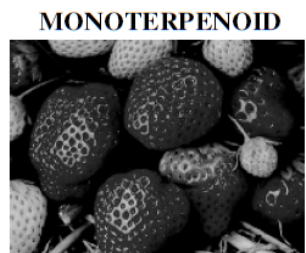
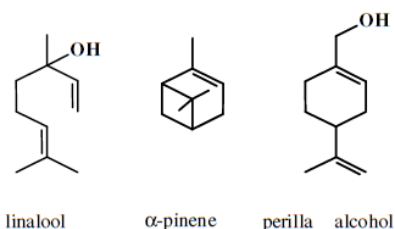
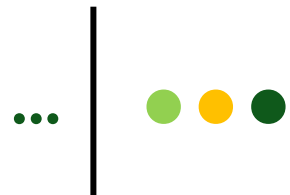


Almonds

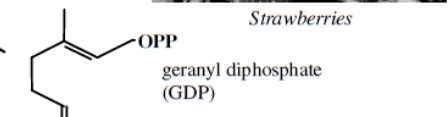


Cassava





monoterpene synthases +/- modifying enzymes



GDP synthase

farnesyl diphosphate (FDP)

PPO

FDP synthase

squalene synthase

squalene epoxidase

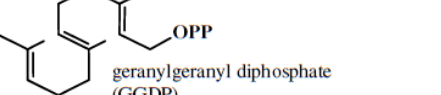
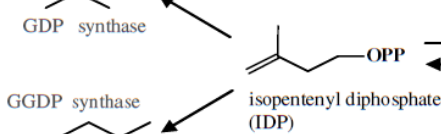
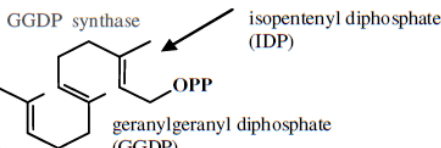
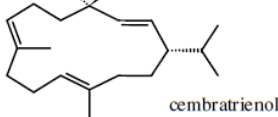
squalene -2,3-epoxide-

triterpene synthases +/- modifying enzymes

C

glycyrrhizin

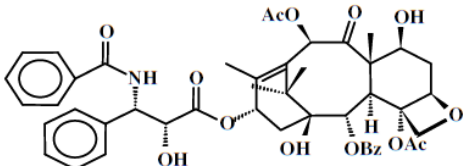
diterpene synthases +/- modifying enzymes



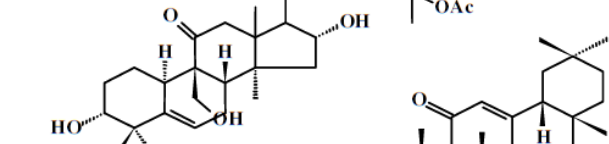
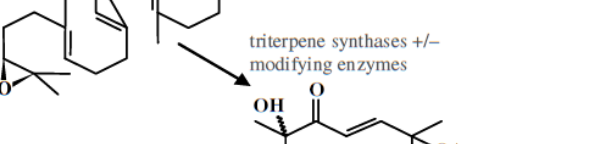
Myzus persicae



DITERPENOIDS



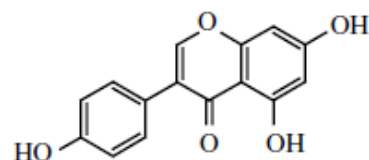
TRITERPENOIDS



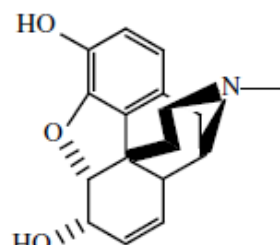
محصولات دارویی از مسیرهای متابولیتی



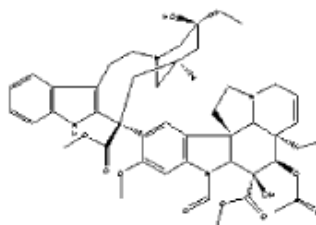
Medicinal Products from Secondary Metabolite Pathways



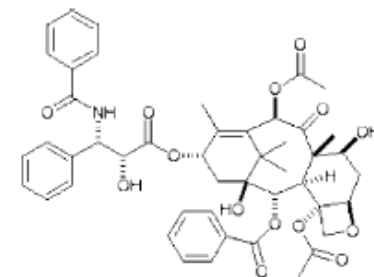
Genistein
Phytoestrogens



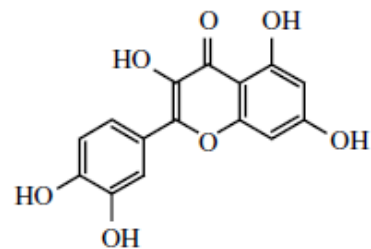
Morphine
Analgesics



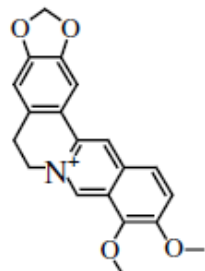
Vincristine
Antineoplastic



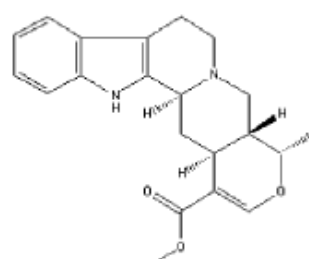
Paclitaxel
Antineoplastic



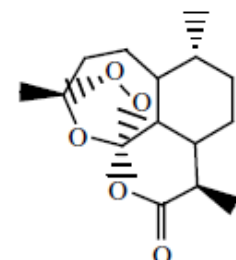
Quercetin
Anticancer



Berberine
Antibacterial



Ajmalicine
Antihypertensive



Artemisinin
Antimalarial

مقدمه



واکنش ها

متabolیت های اولیه

✓ واکنش شیمیایی با
واسطه آنزیمی
(متabolیسم)

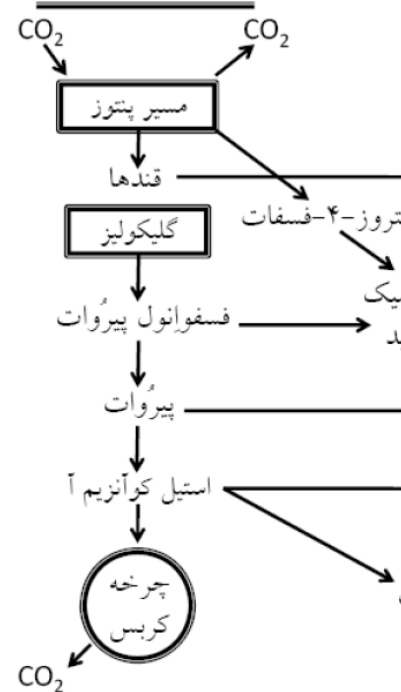
✓ سنتز مولکول های:
قند، اسید آمینه،
اسید چرب،
نوکلئوتید و ...

متabolیت های ثانویه

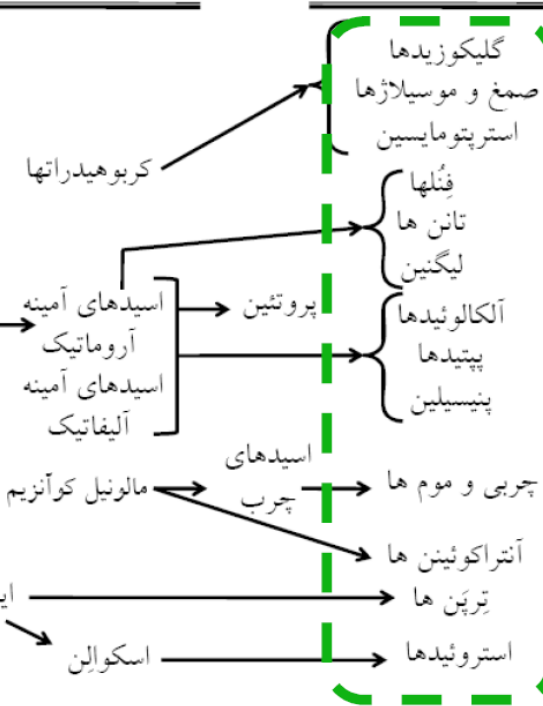
✓ مسیر متabolیکی ثانوی
ترکیباتی با وزن
مولکولی پایین

✓ نقش غیرضروری در
بقا و حیات گیاه

مسیر اولیه کربن



متabolیت های اولیه



بروز متابولیت های ثانویه در گیاهان



UV Light



anthocyanidins
flavonols/flavones
psoralens



Pathogen Attack

isoflavones
coumarins
flavonols
stilbenes

Low Iron

Phenolic acids



Wounding

chlorogenic acid
coumarins
lignin

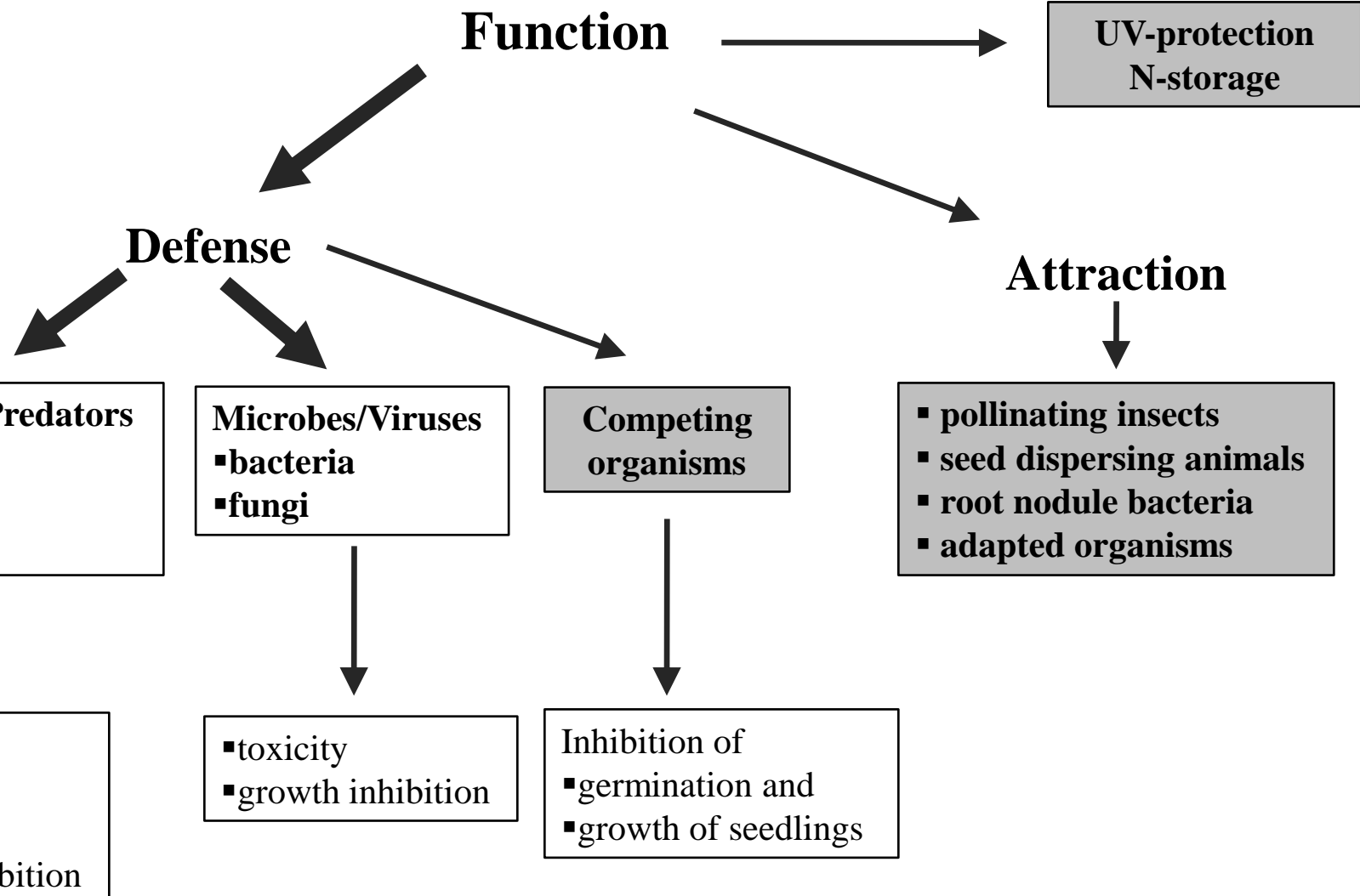
Low Nitrogen

flavonoids,
isoflavonoids

Low Phosphate

anthocyanidins

R.A., Dixon and N. L. Paiva, Stress-Induced Phenylpropanoid Metabolism.
The Plant Cell, 1995, 7; 1085-97



گروه های عمدی متابولیت های ثانویه

ترکیبات نیتروژن دار

Alkaloids

Morphine

Codeine

Vincristine

Vinblastine

Galantamine

Camptothecine

ترکیبات فنلی

Flavonoids

Phenolic acid
derivatives

Rosmarinic acid

Anthocyanins

ترپن ها

Thymol

Carvacrol

Citral

Ursolic acid

Betulinic acid

Taxol

Compound	Use	Plant species	Cost US \$/Kg
Quinine	Antimalarial	<i>Cinchona ledgeriana</i>	500
Berberine	Intestinal ailment	<i>Coptis japonica</i>	3,250
Shikonin	Antibacterial	<i>Lithospermum erythrorhizon</i>	4,500
Sangunarine	Antiplaque	<i>Sanguinaria candensis</i>	4,800
Codeine	Sedative	<i>Papaver somniferum</i>	17,000
Ajmalicine	Antihypertensive	<i>Catharanthus roseus</i>	37,000
Ellipticine	Antitumour	<i>Orchrosia elliptica</i>	240,000
Morphine	Sedative	<i>Papaver somniferum</i>	340,000
Camptothecine	Antitumour	<i>Camptotheca acuminata</i>	432,000
Taxol	Anticancer	<i>Taxus brevifolia</i>	2000,000
Vinblastine	Antileukemic	<i>Catharanthus roseus</i>	2,000,000
Vincristine	Antileukemic	<i>Catharanthus roseus</i>	4,000,000

تامین گیاهان دارویی (برداشت از طبیعت)



ضرورت حفاظت از گونه های دارویی در خطر نابودی (چگونه؟)



- ✓ مهر سلیمان
- ✓ کرفس کوهی
- ✓ آنقوزه
- ✓ مهر خوش
- ✓ چویل
- ✓ زرین گیاه
- ✓ ...

تامین گیاهان دارویی (کشت و تولید در سیستم های زراعی)



✓ اهمیت بیوتکنولوژی در بهره‌برداری مؤثر و پایدار از عرصه‌های زراعی و تأمین نیازهای غذایی و دارویی

محدودیت زمین‌های زراعی و منابع آب



WORLDWIDE

For the more than 15% of the world's population that depends on the seasonal melt of high elevation snow and ice for fresh water, the melting of glaciers and ice caps (see p.98) represents a serious threat.



US

A steady increase in the population of cities such as Phoenix and Las Vegas is occurring at precisely the same time that drought conditions are worsening. In the Pacific Northwest, streamflow may have decreased so much by 2020 that the 2007 level of water demand will not be able to be met, and salmon habitat will be lost (see p.48).



AFRICA

The spread of disease will increase due to more heavy precipitation events in areas with poor water supplies and an overtaxed sanitation infrastructure.

Serious negative impacts

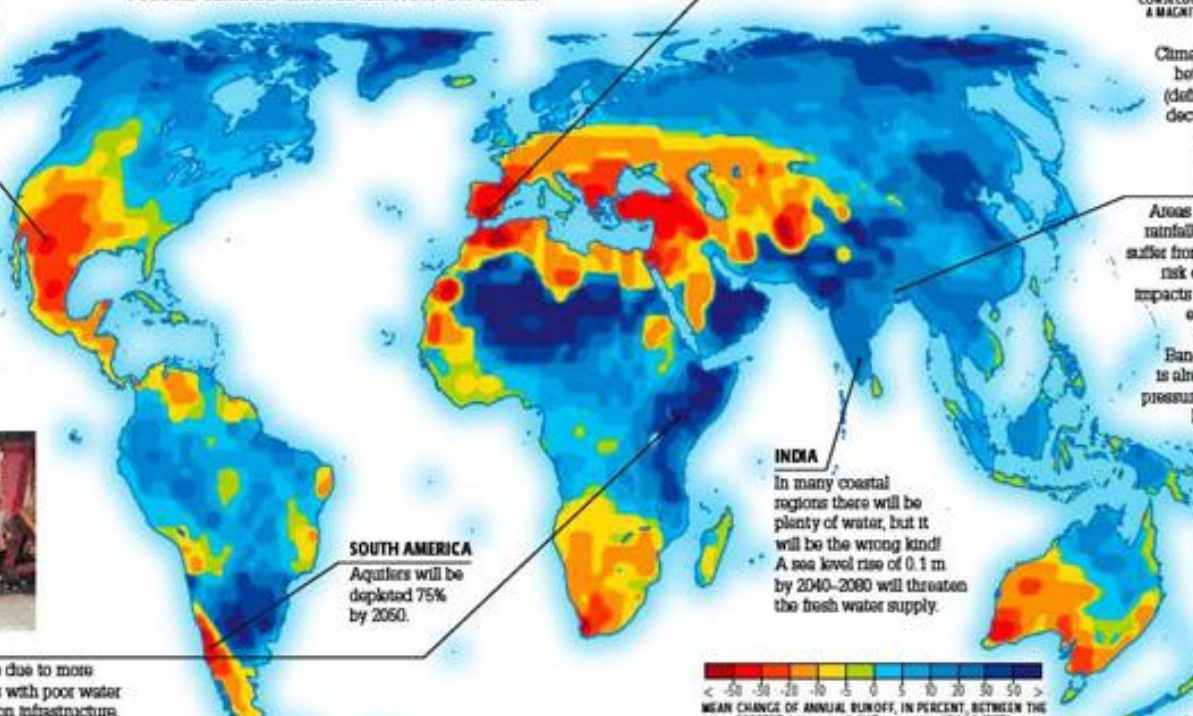
On balance, the negative impacts of changing precipitation patterns outweigh the benefits. For example, the increases in annual rainfall and runoff in some regions are offset by the negative impacts of increased precipitation variability, including diminished water supply, decreased water quality, and greater flood risks. There is hope, however, that in some cases adaptations (e.g., the expansion of reservoirs) may offset some of the negative impacts of shifting patterns of water availability (see p.150).

SOUTHERN EUROPE AND THE MEDITERRANEAN

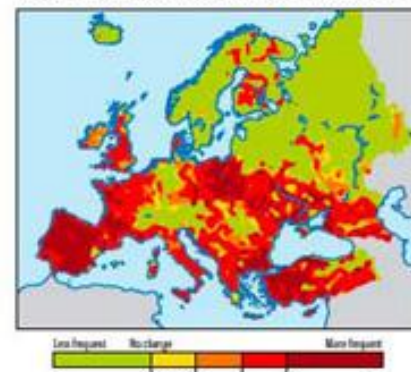
Many arid and semi-arid regions, such as the Mediterranean and parts of southern Europe, southern Africa, and much of Australia, are likely to suffer from increased drought. Electricity production potential at hydropower stations may decrease by more than 25% by 2070.



FUTURE CLIMATE CHANGE IMPACTS ON WATER



MORE FREQUENT EXTREME DROUGHT EVENTS



SIMULATED RETURN PERIOD (TYPICAL NUMBER OF YEARS BETWEEN CONSECUTIVE DROUGHTS) FOR EXTREME DROUGHT (I.E., DROUGHT WITH A MAGNITUDE EQUAL TO WHAT IS CURRENTLY CONSIDERED A 100-YEAR DROUGHT) BY LATE 21ST CENTURY (2070–2090).

Climate model simulations predict that the spacing between consecutive extreme drought events (defined as once-in-a-hundred-year events) will decrease sharply by the 2070s for the "middle of the road" emissions scenario (see p.88).

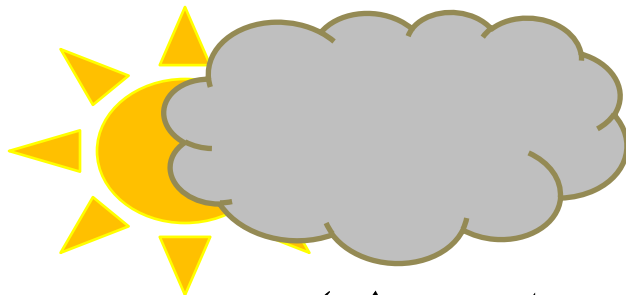
BANGLADESH

Areas with increased rainfall and runoff will suffer from an enhanced risk of flooding. The impacts are likely to be especially harsh for regions like Bangladesh, which is already facing the pressures of rising sea level (see p.98).

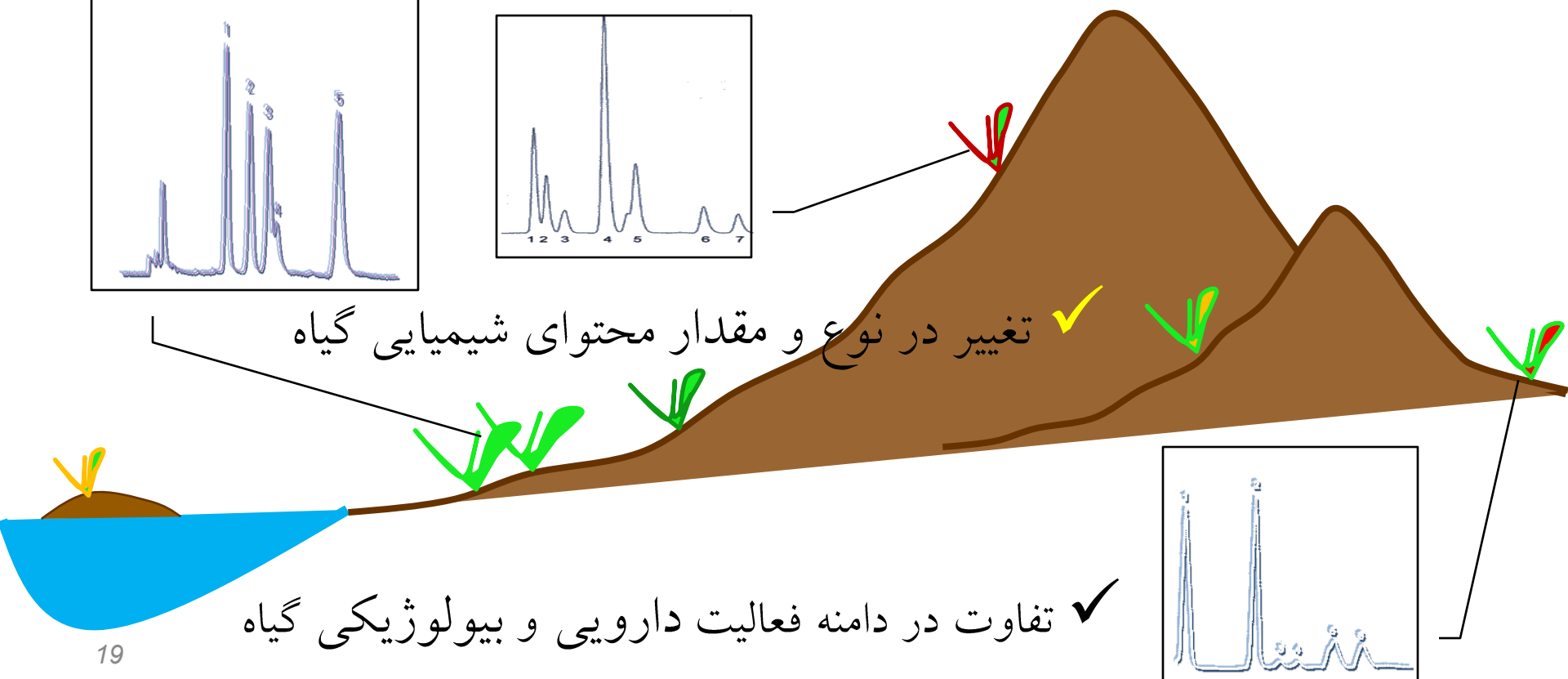
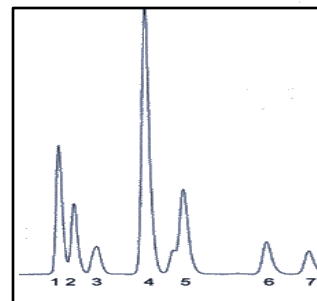
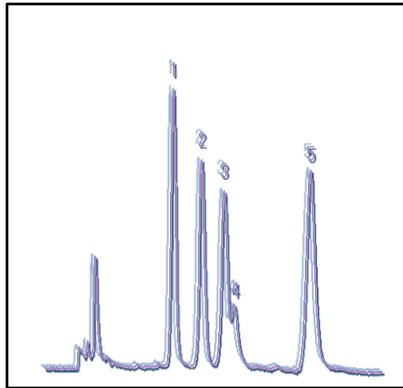


Water resources will shift, but not in society's favor.

بیان موضوع (دلیل انتخاب روش های بیوتکنولوژی برای تولید مواد دارویی)



✓ شرایط اکولوژیکی مختلف (تنش های محیطی)



✓ تفاوت در دامنه فعالیت دارویی و بیولوژیکی گیاه

بیان موضوع (انتخاب روش های بیوتکنولوژی برای تولید مواد دارویی)

تردید در بهره برداری از توده برتر در عرصه های طبیعی و کشت و صنعت

الگوهای رفتاری این توده ها به تغییرات محیطی



محتوای کم برخی از متابولیتهای دارویی با ارزش در مواد گیاهی



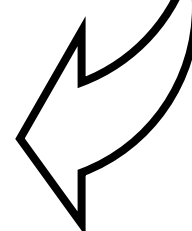
محدودیت منابع گیاهی (خطر نابودی ذخایر ژنتیکی)



پر هزینه بودن سنتز ترکیبات طبیعی

طی دو دهه گذشته

انتخاب روش های بیوتکنولوژی برای تولید مواد دارویی
کشت سلول، بافت یا اندام گیاهان (شاخصاره و ریشه) در شرایط درون شیشه ای



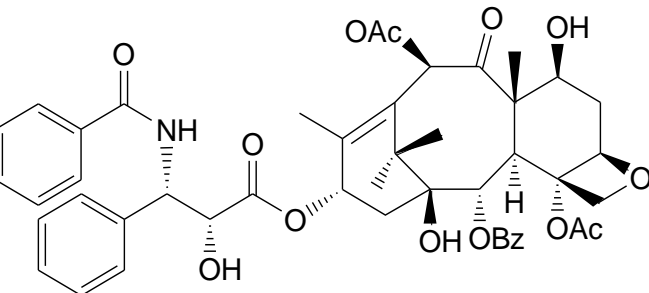
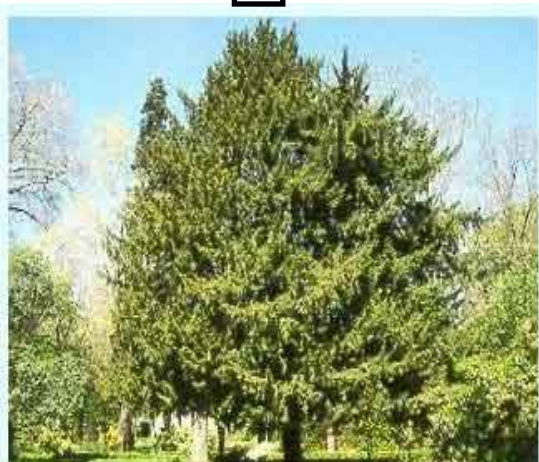
زراعت مولکولی (Metabolic engineering)، مهندسی متابولیک (Molecular farming)



کشت سوسپانسیون سلولی



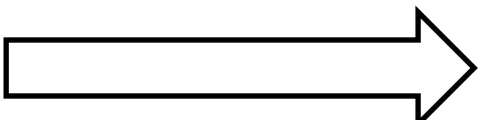
سنتز شیمیایی



تاکسول (ترکیب ضد سرطان)



برداشت درخت سرخدار از طبیعت



قارچ های اندوفیت درخت سرخدار

اتخاب یک روش بیوتکنولوژی

Micropagation of medicinal plants

Endangered plants

High-yielding varieties

Plant cell tissue and organ culture

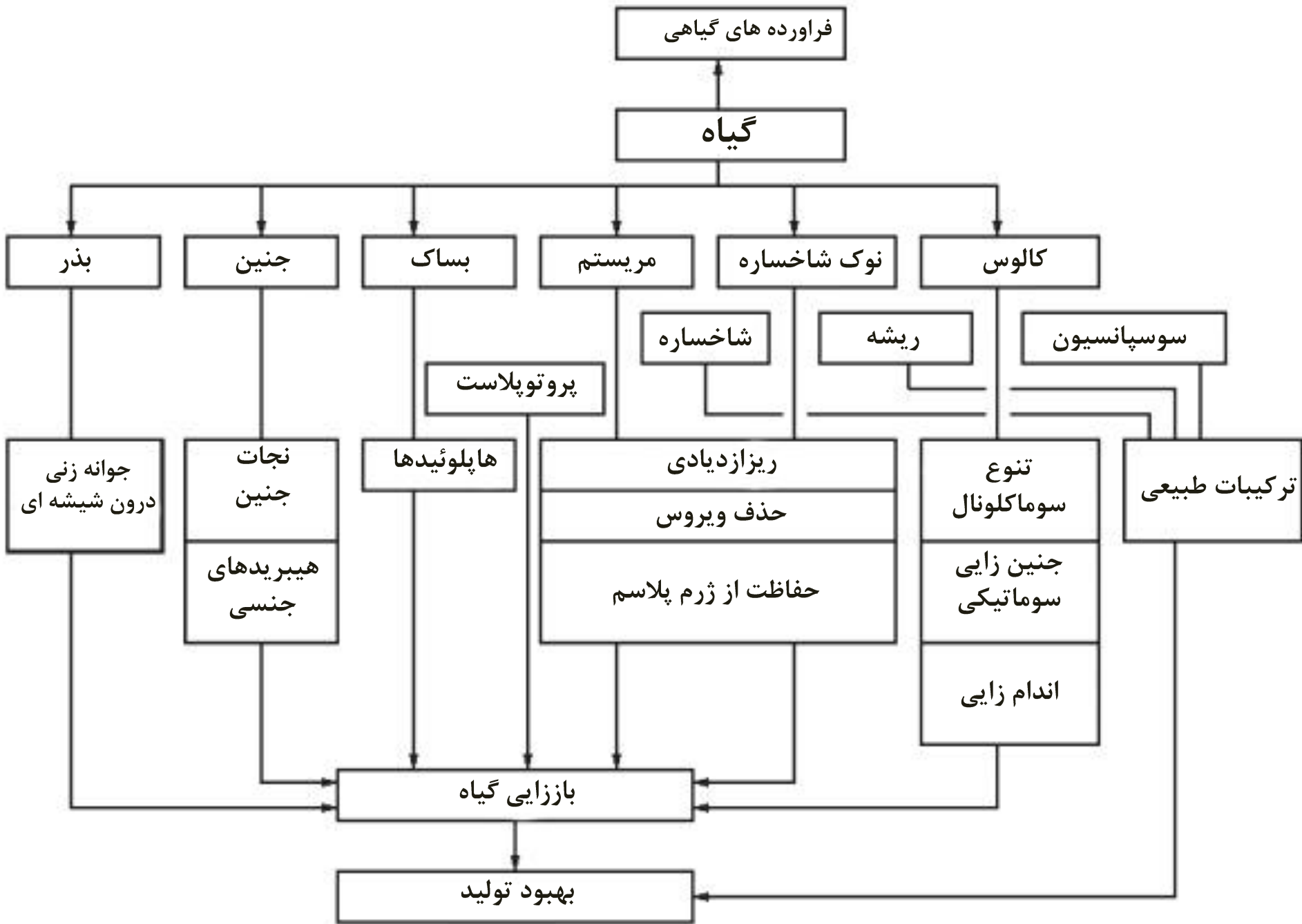
Cell culture

Hairy root culture

Transgenic plant/organism

Metabolic engineering

Molecular farming



Micropropagation of medicinal plants

Endangered plants



Micropropagation of *Thymus persicus* - an endangered and potent natural source of anticancer pentacyclic triterpenoids from Iran

Micropropagation of medicinal plants

High-yielding varieties

رقم آویشن دنایی با بیش از 5 درصد اسانس و با محتوای 80 درصد تیمول و 10 درصد کارواکرول

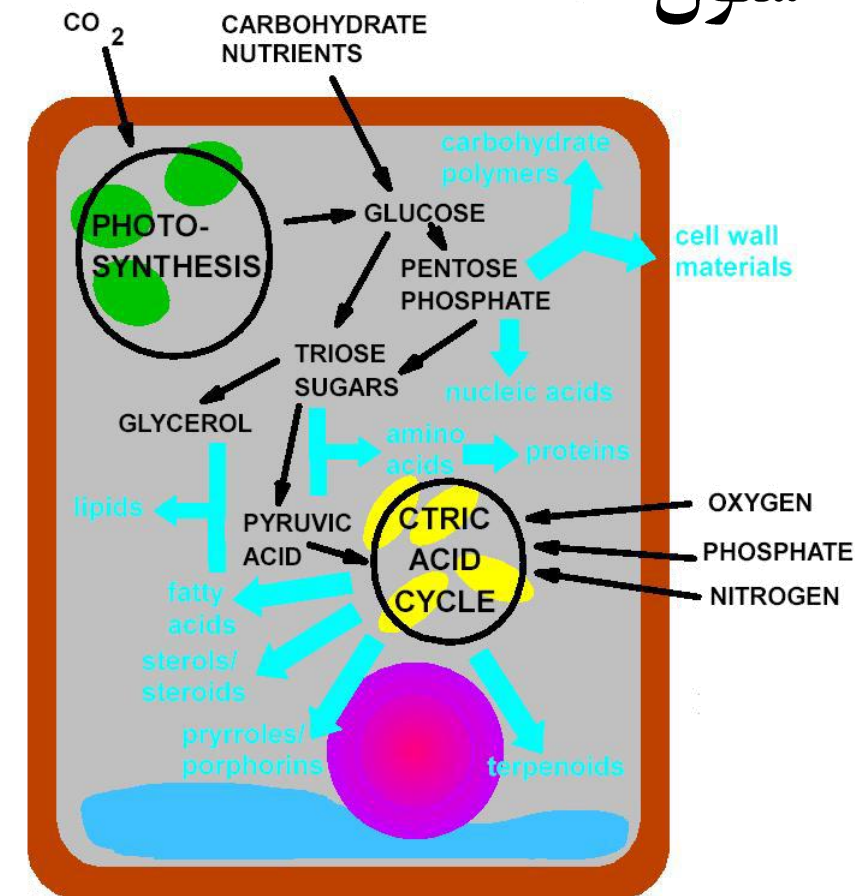
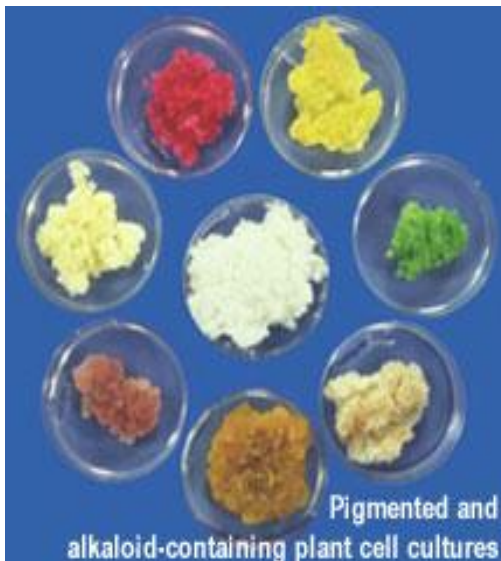


In vitro cloning of *Thymus daenensis* Celak subsp. *daenensis* – an important and endemic medicinal plant from Iran

(Plant cell culture) کشت سلول گیاهی

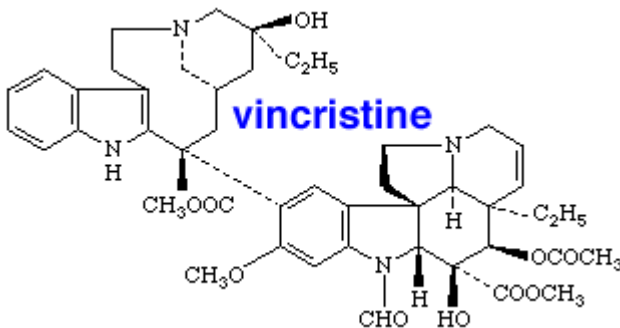
توانایی تولید دامنه وسیعی از
متابولیتهاي ثانويه گیاهان والد

ویژگی سلول Totipotency



انتخاب کشت سوسپانسیون سلولی

1. مستقل از تغییرات فصلی، جغرافیایی و فاکتورهای محیطی
2. وجود سیستم تولید مشخص برای تولید مداوم با کیفیت و عملکرد یکسان
3. امکان القاء جهش و نوآوری در تولید متابولیتهای جدید
4. امکان تکثیر سلول گیاهی برای تولید متابولیت ویژه
5. افزایش کیفیت پایدار ترکیبها ثانویه با استفاده از لاینهای سلولی مشخص
6. تسهیل فراوری و بازیافت متابولیتها در محیط شیمیایی کنترل شده
7. تولید و بازرگانی مواد با سرعت بالا و هزینه کمتر
8. امکان مطالعه بیوتранسفورماسیون متابولیتهای ثانویه
9. وجود قابلیت زیست استحصالی مواد اولیه کم ارزش به ماده‌ای ارزشمند



Catharanthus roseus



۹

- از گروه ایندول آلکالوئیدها

- شیمی درمانی سرطان خون

- در اندام هوایی و ریشه های گیاه پروانش (0/0005 درصد)

- سنتز مصنوعی بسیار طولانی و پرهزینه

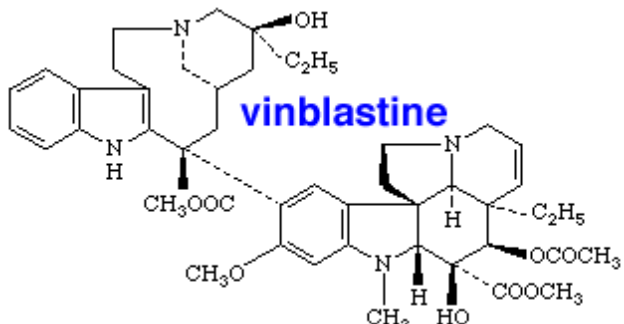
- اولین گزارش کشت سوسپانسیون توسط Carew *et al.* (1966)

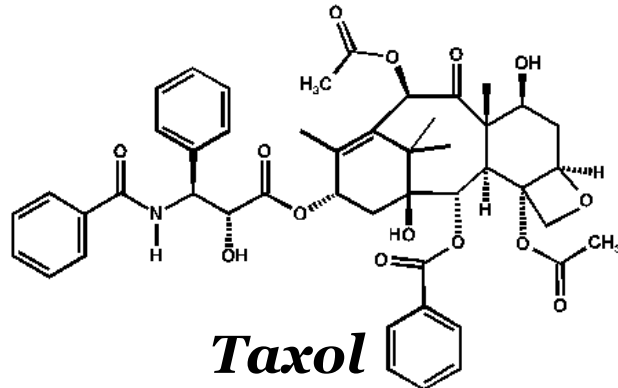
- تولید 2/8 mg/l در شرایط آزمایشگاهی (Smart *et al.* 1986)

- تولید 230 mg/l در هفته را گزارش کردند Fugita *et al.* (1990) -

- شرکت Matsui ژاپن

- قیمت هر کیلوگرم بین 1 تا 5 میلیون یورو





Taxus baccata

Wani *et al.* (1969) –

– تایید اثرات بالینی توسط سازمان غذا و داروی آمریکا (1983)

– در پوست شاخه های درخت سرخدار (0/001 درصد)

– سنتز مصنوعی 20 مرحله ای

Christen *et al.* (1989) اولین گزارش کشت سوسپانسیون توسط

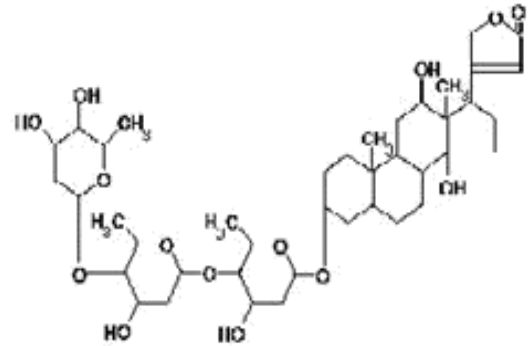
(Srinivasan *et al.* 1995) *Taxus baccata* 1/5 mg/l از گونه

Ketchum and Gibson (1996) – 8 mg/l تولید 14/8 mg/l را گزارش کردند

Mulabaghal *et al.* (2004) – 200 mg/l تولید 6 هفته از کشت سلولی

گونه *T. maieri* گزارش نمودند

قیمت هر کیلوگرم 600 هزار دلار



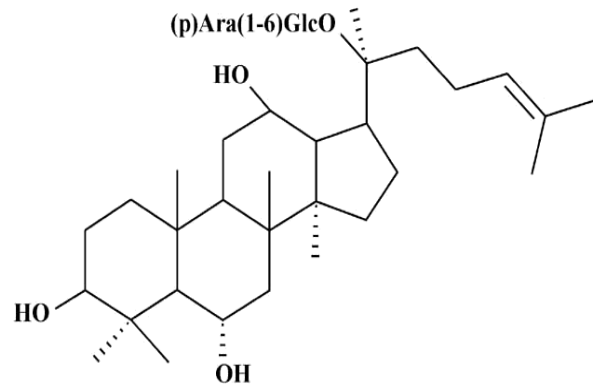
Digoxin



Digitalis lanata

۴

- گلیکوزید قلبی (کاردینولید ها)
- در اندام هوایی گیاه (۰/۴ درصد)
- مصرف سالیانه حدود ۶ تن به ارزش ۵۰ میلیون دلار
- اولین گزارش کشت سوسپانسیون توسط Hildebrant *et al.* (1959) (Hagimori *et al.* 1990) *Digitalis lanata* گونه ۲/۵ mg/l تولید
- تولید ۰/۸ g/l را از طریق بیوتранسفورماسیون گزارش کردند Reinhard *et al.* (1996) -



Ginsenoside



Panax ginseng

Shibata *et al.* (1965) -

- نوعی ساپونین با ساختار گلیکوزیدی

- در ریشه های گیاه (7/0 درصد)

- تاثیر بر روی سیستم عصبی و افزایش نیرو و کارایی

Kim *et al.* (1980) - اولین گزارش کشت سوسپانسیون توسط

Choi *et al.* (1994) - انتخاب لاین سلولی (KGC) توسط

- تولید ۱/۳ g طی ۵/۶ هفته

گروهی از متابولیتهاي ثانويه توليد شده از طریق کشت سوسپانسیون سلولی گیاهان

Phenylpropanoids	Alkaloids	Terpenoids	Quinones
Anthocyanins	Acridines	Carotenes	Antraquinones
Cumarins	Betalaines	Monoterpenes	Benzoquinones
Flavonoids	Quinolizidines	Sesquiterpenes	Naphthaquinones
Lignans	Isoquinolines	Diterpenes	
Phenolenones	Tropan alkaloids	Triterpenes	
Stilbenes	Purines		
Tanins	Indoles		

برخی از شرکت های خارجی پیشرو در تولید صنعتی متابولیت های ثانویه از طریق کشت های سوسپانسیون سلولی

Industrial production in plant cell cultures

Company	Product	Plant source
Japan tobacco and Salt Pu. Co.	Ubiquinone 10	<i>Nicotiana tabacum</i>
Svoda Co., Moscú	Ginsenoside	<i>Panax ginseng</i>
Mitsui Petrochemical Ind. Ltd.	Shikonine	<i>Lithospermum erythrorrhizon</i>
Yamaguchi Co.	Berberine	<i>Coptis japonica</i>
Nattermann, RFA	Rosmarinic acid	<i>Coleus blumei</i>
Nitto Denko Corp.	Ginsenoside	<i>Panax ginseng</i>
Mitsui Petrochemical Ind. Ltd.	Purpurine	<i>Rubia akanae</i>
Mitsui Petrochemical Ind. Ltd.	Taxol®	<i>Taxus media</i>
Phyton Inc.	Taxol®	<i>Taxus brevifolia</i>
Nitto Electric Ind. Co. Ltd.	Anthocyanins	<i>Ipomea batata</i>
Nippon Paint Co. Ltd.	Anthocyanins	<i>Euphorbia milii</i>
Shiseido Co. Ltd.	Pigment	<i>Corydalis ambigua</i>
Mitsui Chemicals Ind.	Berberine	<i>Coptis japonica</i>
Mitsui Chemicals Ind	Arbutine	<i>Datura inoxia</i>

انتخاب نمونه گیاهی برتر

(غربالگری جمعیتهای مختلف بر اساس کمیت و کیفیت متابولیت ثانویه)



گزینش لاین سلولی برتر

(کالوس زایی و غربالگری کلونی های سلولی مختلف بر اساس متابولیت ثانویه)



بهینه سازی شرایط کشت درون شیشه ای

(نوع محیط کشت، ترکیب پیش ماده های غذایی، ویتامینها، تنظیم کننده های رشد و کلیمای کشت)



افزایش راندمان تولید و طراحی بیوراکتور

(انگیزش، غیرمتحرک سازی، بیوتранسفورماسیون و مهندسی متابولیک)

Optimization of the culture system:

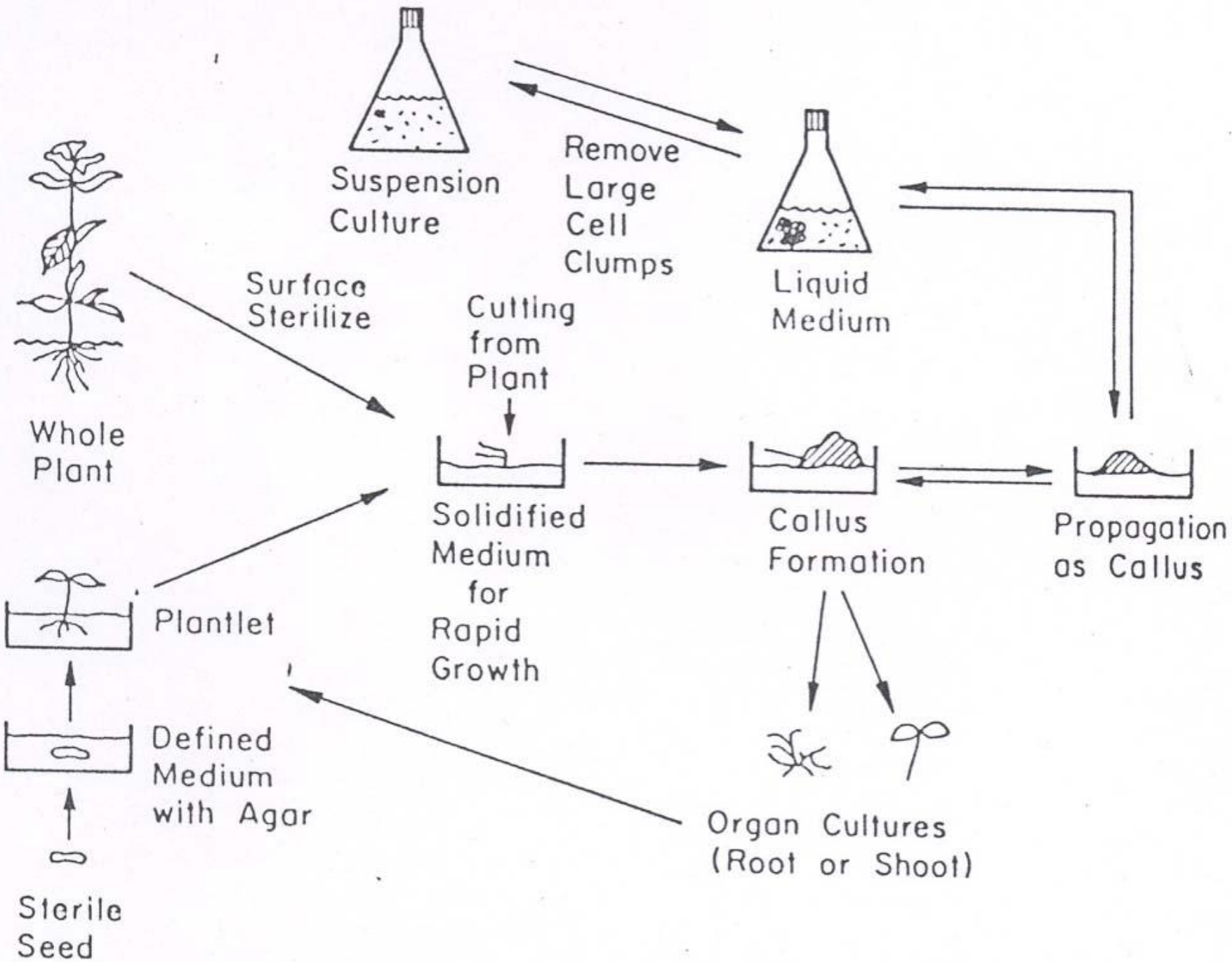


- **Selection** of cell lines with high production
- **Optimization** of growth and production media
- Addition of biosynthetic **precursors**
- Induction of secondary plant metabolic pathways using **elicitors**.
- Increasing the release of secondary compounds from cells

Two examples comparing the metabolite content and productivity between the plant and the cell suspension culture

Species	Compound	Culture	Age (Weeks)	Content %	Content improved	Productivity mg/g/week	Improved productivity
<i>Coptis japonica</i>	Berberine	Plant	260	3	x 4,4	0,083	530
		CS	2	13,2			
<i>Lithospermum erythrorhizon</i>	Shikonin	Plant	312	1,53	x 8	0,048	1250
		CS	2	12			

CS: Cell Suspension





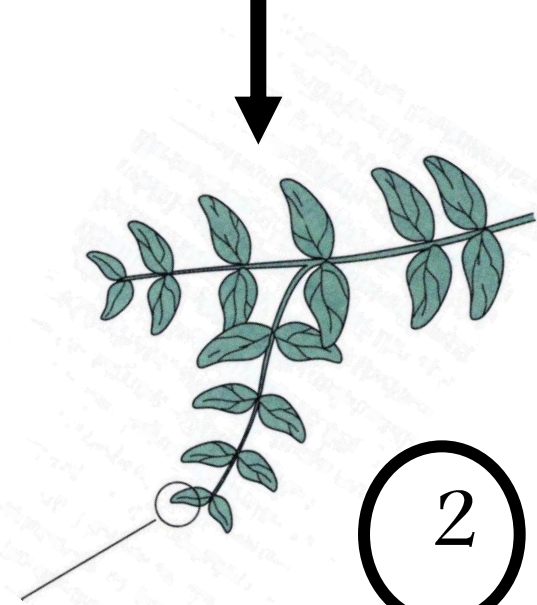
طراحی بیوراکتور (تولید انبوه)



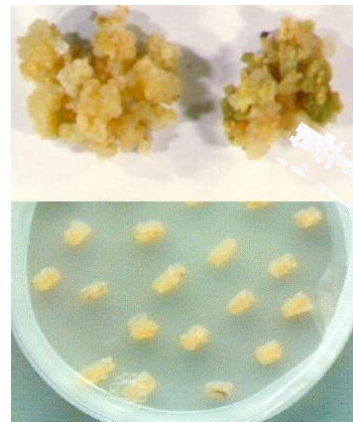
بهینه سازی شرایط کشت سوسپانسیون³⁷



انتخاب نمونه گیاهی برتر



کالوس زایی و غربالگری
کلونیهای سلولی



تهیه ریزنمونه گیاهی

(شستشو و ضد عفونی سطحی با استفاده از انواع مواد ضد عفونی کننده)



بهینه سازی شرایط القای کالوس

(بسته به گونه گیاهی باید انواع محیط های کشت و تنظیم کننده های رشد استفاده شود)



بهینه سازی شرایط رشد و نگهداری توده سلولی

(نوع محیط کشت، ترکیب پیش ماده های غذایی، ویتامینها، تنظیم کننده های رشد و کلیمای کشت)



ارزیابی تولید بیوماس و الگوی تولید متابولیت ثانویه

(نوع محیط کشت، ترکیب پیش ماده های غذایی، ویتامینها، تنظیم کننده های رشد و کلیمای کشت)



مطالعه و انتخاب بهترین شرایط تولید متابولیت ثانویه

(انگیزش، غیرمتحرک سازی، بیوتранسفورماتیون، مهندسی متابولیک و افزایش حجم کشت)

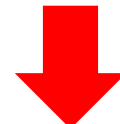
ردیف	ماده استریل کننده	غلظت مورد نیاز (%)	مدت زمان تیمار (دقیقه)	میزان تاثیر
1	هیپوکلریت کلسیم	9-10	5-30	خیلی خوب
2	هیپوکلریت سدیم	0/5-5	5-30	خیلی خوب
3	پراکسید هیدروژن	3-12	5-15	خوب
4	نیترات نقره	1	5-30	خوب
5	کلرید جیوه	0/1-1	2-10	عالی
6	آب برم	1-2	2-10	خیلی خوب
7	الکل اتیلیک	70-95	از چند ثانیه تا چند دقیقه	خوب

ردیف	مواد گیاهی	ساقه های چوبی	مدت زمان تیمار (دقیقه)	غلظت مورد نیاز (%)
1	ساقه های علفی	ساقه های چوبی	30	1
2	برگهای فلس دار	ساقه های علفی	20	1
3	برگهای علفی	برگهای فلس دار	15	1
4	جوانه های گل باز شده	برگهای علفی	10	1
5	جوانه های گل باز نشده	جوانه های گل باز شده	15	1
6	پیاز ها و غده ها	جوانه های گل باز نشده	20	2
7	بدور	پیاز ها و غده ها	15	1
8		بدور	30	1

کشت بافت و سلول گیاهی (مراحل تهیه محیط کشت)

1

Pour 250 ml distilled water into a 2 l beaker



2 Add all heat-stable components (use stock solutions for efficiency, accuracy, and convenience)



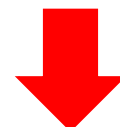
3

Bring total volume to 900 ml



4

Measure and adjust pH



5

Add sugar



Combine heat-sensitive components (all of which should be dissolved in 70% ethanol) in a small vial, cap tightly and shake well

↓
Add to sterile medium

↓
Mix by swirling

↓
Dispense into preautoclaved culture vessels

↓
Cool

↓
Use

Add sugar for solid medium

↓
Autoclave

Liquid medium

Make up volume to 1000 ml and mark level



Heat until solution starts to boil gently



Add agar slowly with stirring



Stir until agar is dissolved completely and becomes amber-colored



Bring level of solution to mark



Dispense into culture vessels

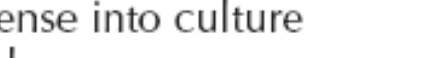
Liquid medium



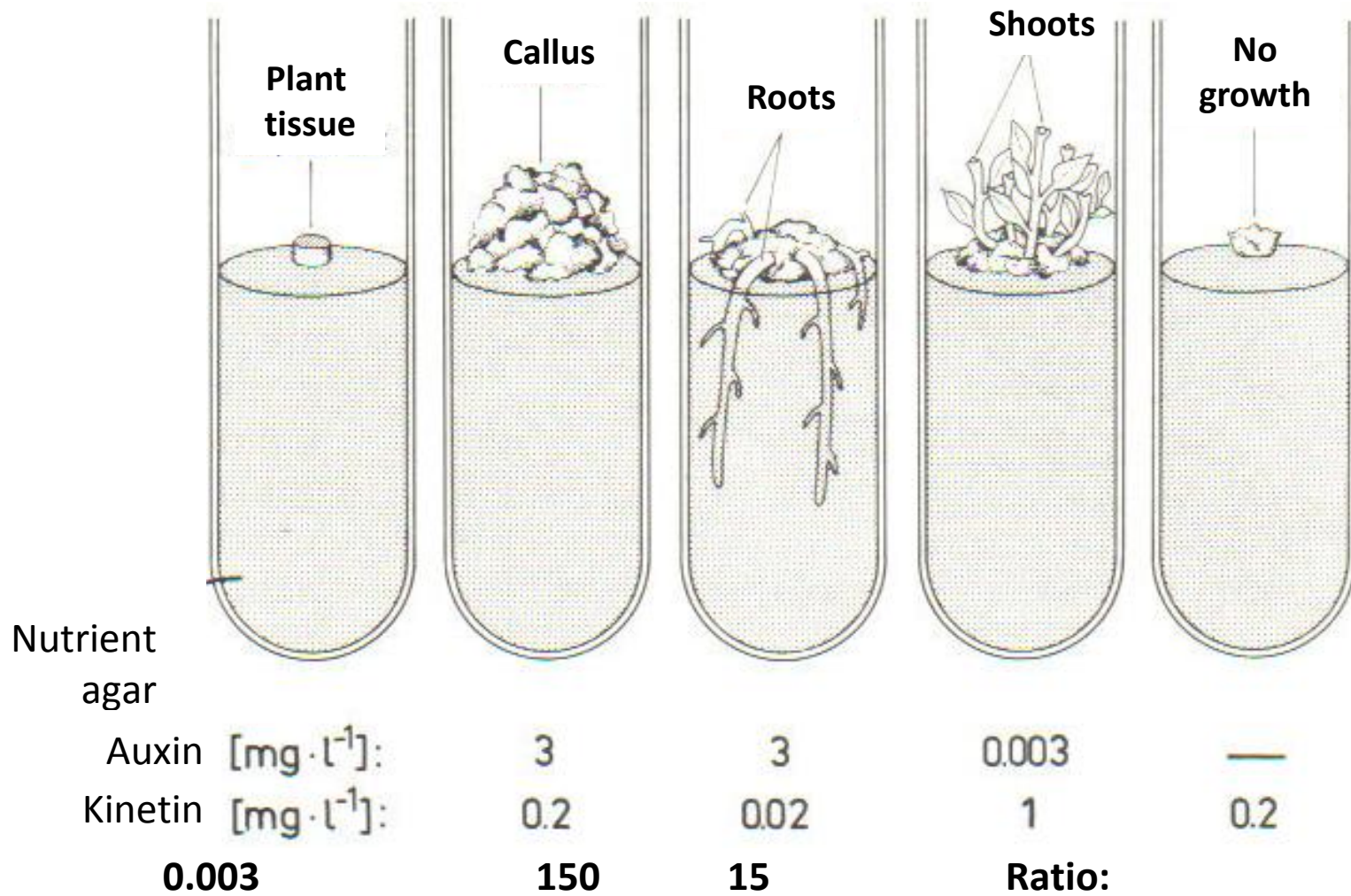
↓
Autoclave



↓
Cool



↓
Use



High auxin:cytokinin ratio: root

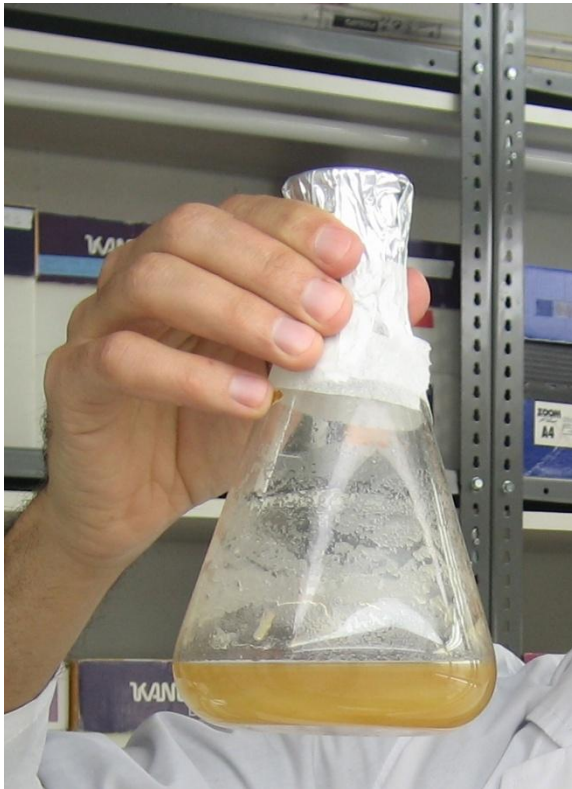
Low auxin/cytokinin ratio: shoot

Intermediate levels: callus

ردیف	نام هورمون	علامت اختصاری	غلظت مورد استفاده (میکرو مولار)	روش استریل کردن
1	کلروفنوكسی استیک اسید	CPA	0/5-50	اتوکلاو
2	2 و 4 دی کلروفنوكسی استیک اسید	2,4-D	0/5-15	اتوکلاو
3	ایندول 3 استیک اسید	IAA	0/5-15	اتوکلاو/صافی
4	ایندول 3 استیل ال آلانین	IAA-L-Al	0/5-25	صافی
5	ایندول 3 استیل ال آسپاراتیک اسید	IAA-L-As	0/5-25	صافی
6	ایندول 3 استیل گلیسین	IAA-Gl	0/5-25	صافی
7	ایندول 3 استیل ال فنیل آلانین	IAA-Ph	0/5-25	صافی
8	ایندول 3 بوتیریک اسید	IBA	0/5-50	اتوکلاو
9	نفتالن استیک اسید	NAA	0/5-50	اتوکلاو
10	نفتونکسی استیک اسید	NOA	0/5-50	اتوکلاو

ردیف	نام هورمون	علامت اختصاری	غلظت مورد استفاده (میکرو مولار)	روش استریل کردن
1	آدنین	-	250-1250	اتوکلاو
2	آدنین همی سولفات	-	250-1250	اتوکلاو
3	6-بنزیل آمینو پورین	BA	0/5-25	صافی
4	6-بنزیل آدنین	BAP	0/5-25	اتوکلاو
5	6-گاما دی متیل آمینو پورین	2ip	5-150	اتوکلاو
6	کیتین	KI	0/5-25	اتوکلاو
7	کیتین ریبوزاید	-	0/5-25	صافی
8	زااتین	-	0/5-25	صافی

تهیه کشت سوپرانسیون سلولی

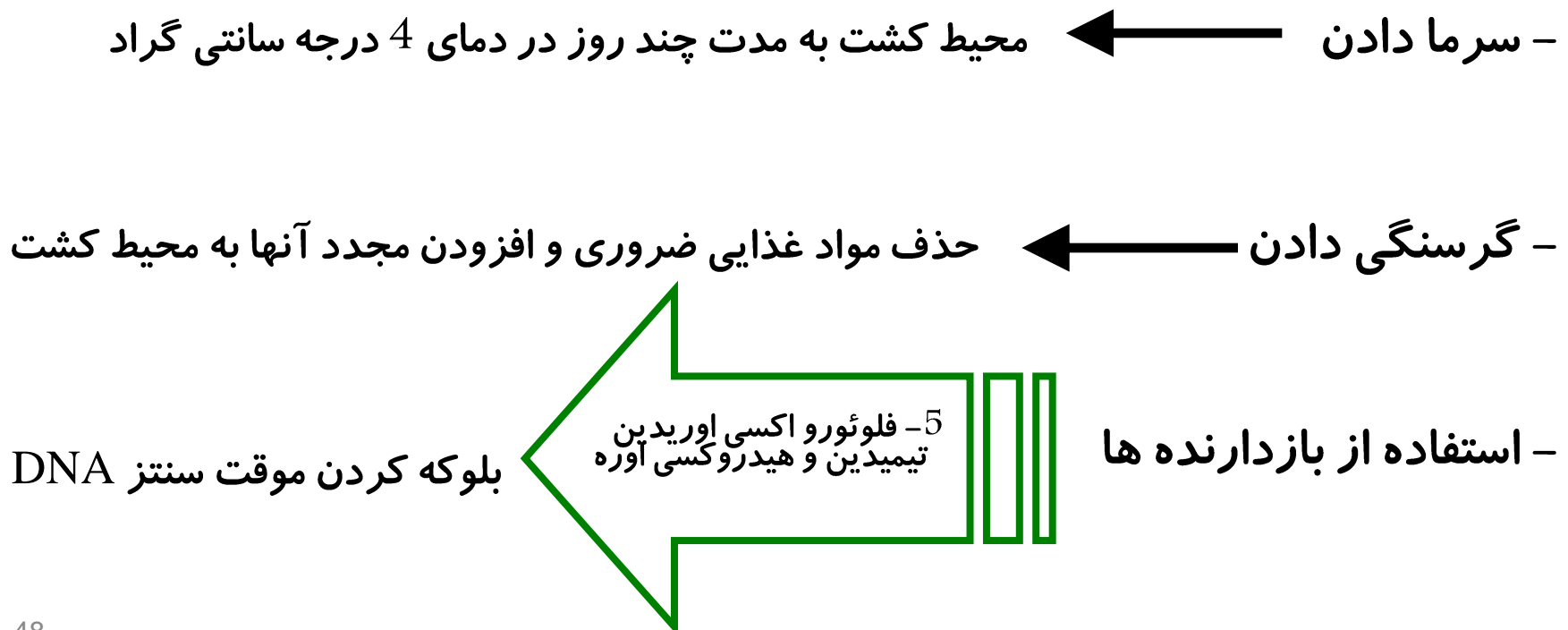


راهکارهای افزایش متابولیتهای ثانویه در کشت سوسپانسیون

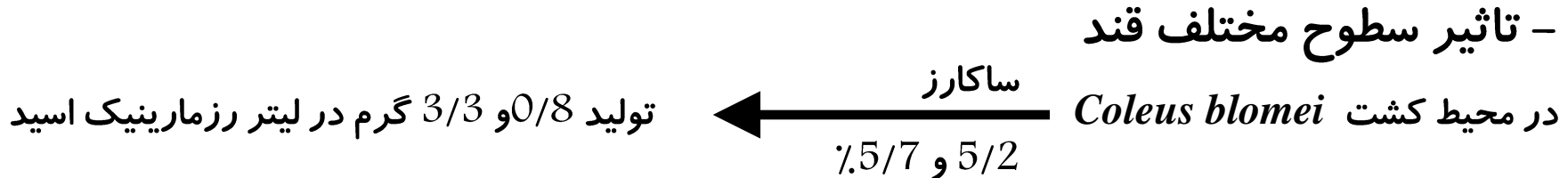
1. همزمان سازی شرایط سلول ها
2. بهینه سازی شرایط کشت
 - نوع محیط کشت (مقدار قند، عناصر غذایی، تنظیم کننده های رشد و pH)
 - پیش ماده غذایی
 - کلیمای کشت (نوع ظروف کشت، درجه حرارت و نور)
3. انگیزش (Elicitation)
4. نفوذ پذیر کردن سلول ها
5. غیر متحرک سازی (Immobilization) سلول های گیاهی
6. بیوتранسفورماتیون (Biotransformation)

همزمان سازی شرایط کشت سلول ها

یک کشت همزمان (Synchronous culture)، نوعی کشت است که در آن چرخه سلولی و یا یک مرحله خاص از چرخه سلولی اکثر سلول ها همزمان است و اکثر سلول ها مراحل چرخه سلولی خود را بطور همزمان طی می کنند.



کاربرد مواد غذایی و تنظیم کننده های رشد



بالاترین تجمع ایندول آلکالوئید در گیاه *Catharanthus roseus* در محیط کشت حاوی 8% ساکارز

– تاثیر سطوح نیتروژن محیط کشت

سطوح مختلف آمونیوم و نیترات در محیط‌های سوسپانسیون سلولی تولید متابولیتهای شیکوئین، بتاسیانین، اوبیکوئین و بربرین را تغییر می‌دهند

کاپسایسین در گیاه *Capsicum frutescens*

آنتراکینون در گیاه *Morinda citrifolia*

آنتوسیانین در گونه‌های *Vitis sp.*

تحریک تولید

سطوح کم نیتروژن محیط کشت

کاهش 2%
پیرترین

حذف کامل نیتروژن در محیط کشت گیاه *Chrysanthemum cinerariaefolium*

- تاثیر سطوح فسفر محیط کشت

مقادیر مختلف فسفر در محیط کشت بر روی رشد سلول ها و تولید متابولیتهاي ثانويه موثر است

Catharanthus roseus آجمالایسین در

Nicotinia tabacum پوترسین در

Beta vulgaris بتاسيانين در

کاهش تولید

سطوح کاهش یافته فسفر در محیط کشت

Digitalis purpurea دیجیتوکسین در

Chenopodium rubrum آنتوسیانین در

افزایش تولید

افزایش مقدار فسفر در محیط کشت

- تاثیر تنظیم کننده های رشد

یک فاکتور حیاتی در تولید و تجمع متابولیتهاي ثانويه در شرایط درون شيشه ای می باشند نوع و مقدار اکسین و سیتوکینین یا نسبت آنها، تشکیل و تجمع متابولیتهاي ثانويه را تغییر می دهد توفر دی (2,4-D) در بسیاری از موارد از تولید متابولیتهاي ثانويه جلوگیری می کند

Daucus carota کارتنوئید در

Oxalis linearis آنتوسیانین در



تحریک مثبت توفر دی در کشت سوسپانسیون سلولی

Daucus carota آنتوسیانین در

Portulaca sp. بتاسیانین در

Nicotinia tabacum نیکوتین در

Morinda citrifolia آنتراکینون در



تحریک مثبت NAA یا IAA در تولید

هورمونهای GA و ABA تولید برخی از متابولیتهاي ثانويه را در کشتهای سوسپانسیون متوقف می کند

– تاثیر پیش ماده غذایی

تولید اسید رزمارینیک در *Salvia* و *Coleus blumei*

فنیل آلانین

officinalis

تولید کاپسایسین در *Capsicum frutescens*
افزایش تولید وانیل

پیش ماده ایزو کاپریک

افزودن اسید فرولیک به محیط کشت سوسپانسیون *Vanilla planifolia*

افزایش تولید آنتو سیانین در کشت سوسپانسیون هویج

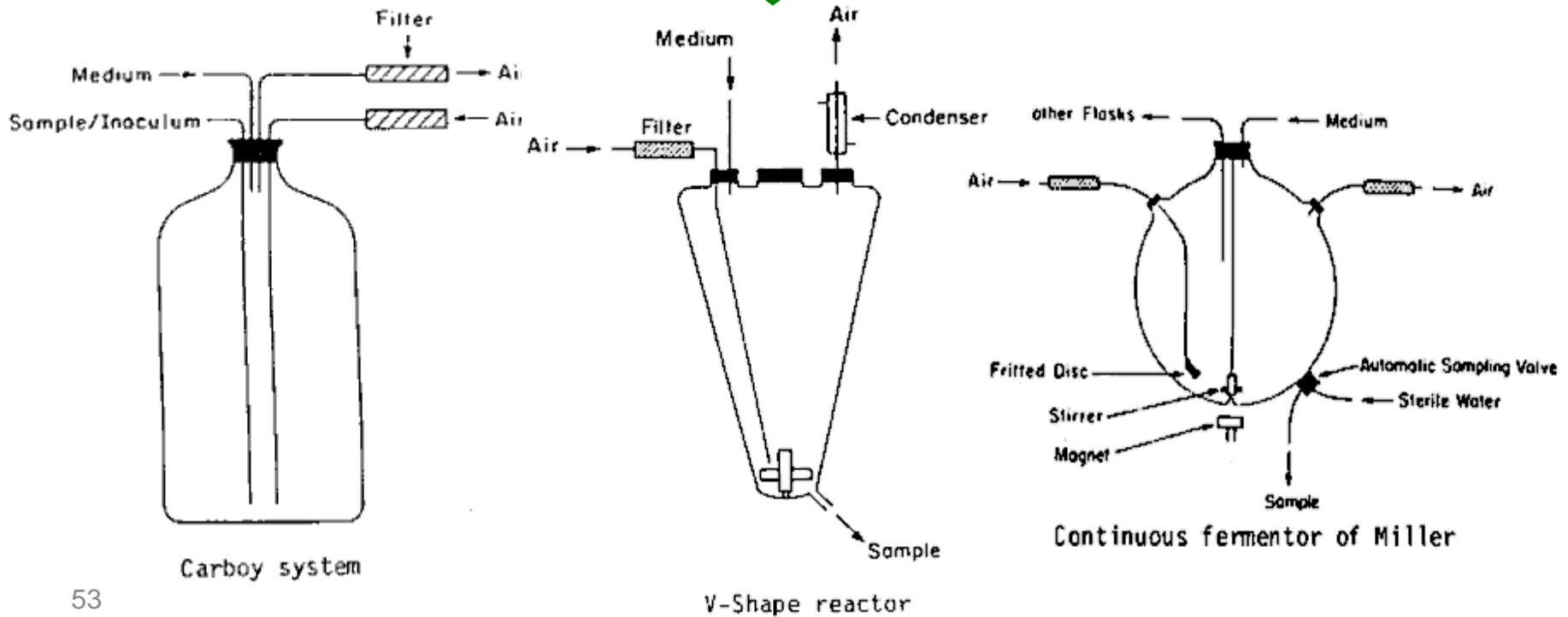
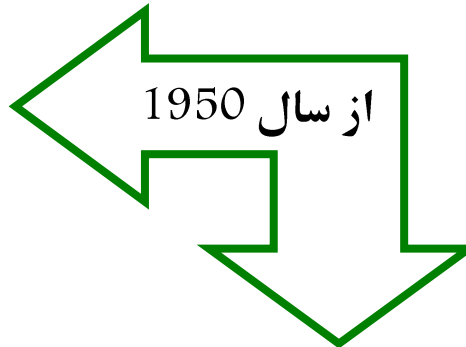
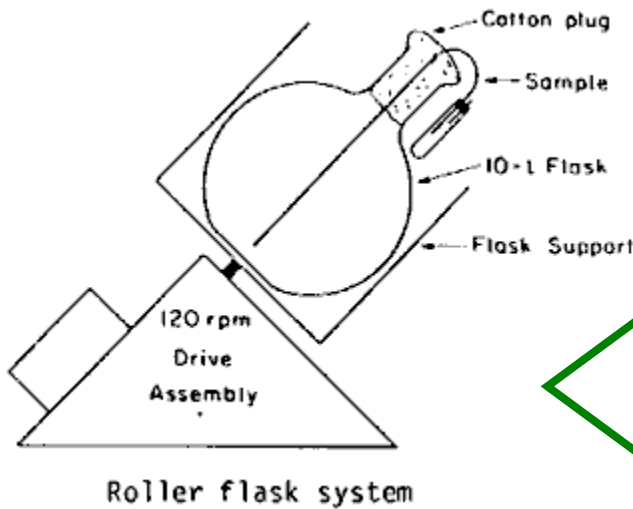
دی هیدرو کوارستین

بهینه سازی کلیمای کشت

- نوع و اندازه ظروف کشت

تغییر تولید آنتراکینون در کشت سوسپانسیون

Morinda citrifolia گیاه سلوی



درجه حرارت

درجه حرارت مناسب برای هرگونه گیاهی در کشت سوسپانسیون متفاوت است

محدوده دمایی 17-25 درجه سانتی گراد برای القاء بافت کالوس و رشد سلولها مناسب است

کاهش دمای محیط کشت، کل مقدار اسید چرب را در سلول از نظر وزن خشک افزایش می دهد

دمای 19 درجه سانتی گراد باعث ترانسفورماتیون طبیعی دیجیتوکسین به دیگوکسین می شود

در دمای 32 درجه تشکیل پورپور آکلیکوزید A در کشت سلولی گیاه *Digitalis lanata* افزایش می یابد

تولید 12 برابری مقدار برخی از آلکالوئیدهای گیاه *Catharanthus roseus* در دمای 16 درجه سانتی گراد

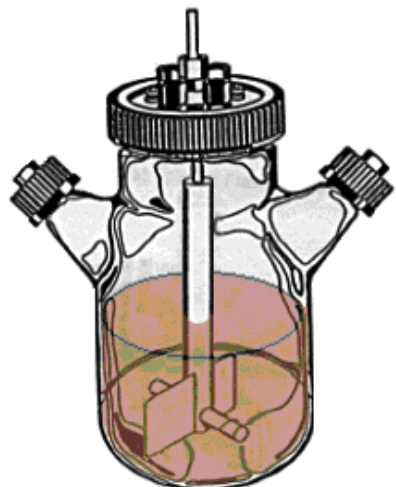
تحریک تجمع آنتوسبیانین به مقدار زیادی در کشت سلولی هویج و هیبریدهای انگور *(Matricaria chamomilla)* تشكیل سزکوئی ترپنها در کشت کالوس گیاه بابونه *Citrus limon* از تجمع مونوترپنها جلوگیری می کند

- تاثیر هوادهی (بهم زدن) محیط کشت

هوادهی سریع در محیط کشت سوسپانسیون باعث افزایش تولید و تجمع آلکالوئیدهای گیاهی می شود.

دی اکسید کربن $\xleftarrow{\text{تحریک تولید}}$ مونوترپنها بویژه ترکیب لینالول در کشت سوسپانسیون سلولی انگور

این گاز در سطح 2٪ برای جلوگیری از تیره شدن سلولها و همچنین تولید ببرین در *Thalictrum minus* در بیوراکتور ضروری است

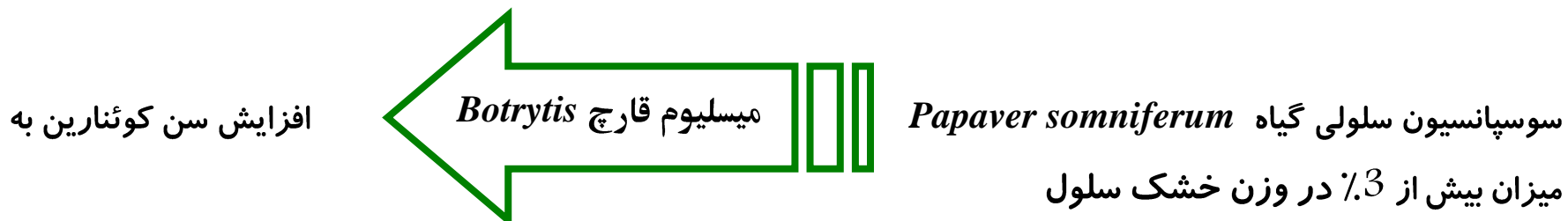


تغییرات pH محیط کشت سوسپانسیون، pH سیتوزول سلول را تغییر می دهد کاهش تولید قند در کشت سوسپانسیون سلولی نیشکر با افزایش مقدار pH

قائیر انگیزش (Elicitation)

تولید متابولیتهاي ثانويه گياهي به عنوان يك مکانيسم دفاعي در برابر حمله عوامل بيماريزي است تركيبيهاي با منشاء بيماريزي (Elicitors) به تحريرک توليد متابوليتها در کشت سوسپانسيون می انجامد اين مواد (زنده و غيرزنده) سيگنالهاي هستند که باعث تشکيل متابوليتهاي ثانويه می شوند

- منشاء قارچي، باكتريائي و مخمری
- نمکهاي سنگين (As, Cu, Cd)
- پلي ساکاريدها (زانثان و چيتوزان)، گلیکوپروتئينها و آنزيمها



تيمار کشت ريشه تاتوره با نمکهاي مس و کادميوم باعث القا تجمع سريع سطوح بالايی از تركيبات دفاعي سزکويي ترپنوكايندها شده است

نفوذ پذیری سلولها در کشت سوسپانسیون

متabolیتهای ثانویه درون واکوئلها ذخیره می شوند

نفوذ پذیری غشاء پلاسمما و تونوپلاست بستگی به ساختار منافذ در سیستمهای غشایی دارد

- حللهای آلی ایزوپروپانول و دی متیل سولفوكساید (DMSO)

- پلی ساکاریدها (چیتوزان)

- الکتروپوریشن و پالسهای الکتریکی قوی و فشارهای فوق العاده زیاد

غیر متحرک سازی (Immobilization) سلولها

یک سلول یا یک آنزیم فعال (از لحاظ کاتالیزوری) تحت یک سیستم ثابت محصور شده و از ورود آن به فاز مایع جلوگیری می‌شود

سلولهای گیاهی غیر متحرک شده برای بیوترانسفورماسیون یک یا چند پیش ماده به محصولات مورد نظر مورد استفاده قرار می‌گیرند

- آلجینات کلسیم، آگار، آگارز، ژلاتین، کاراجینان و پلی اکریل آمید

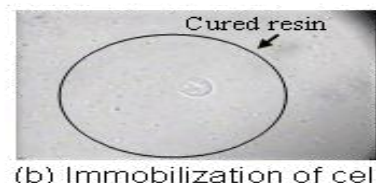
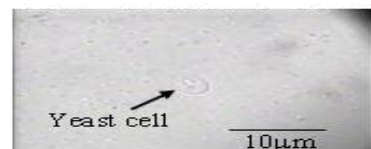
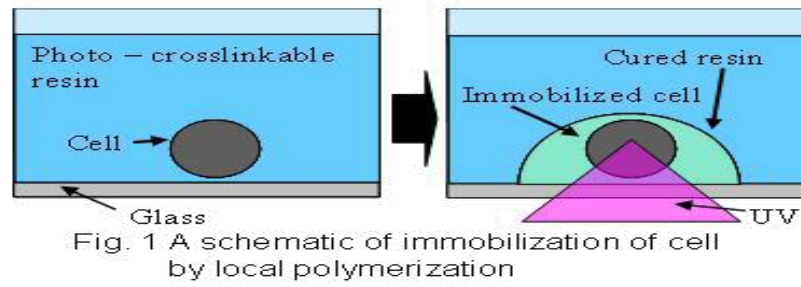


Fig. 3 Experiment result of immobilization of cell

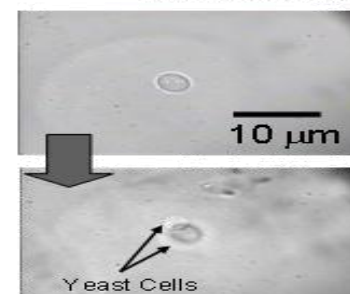
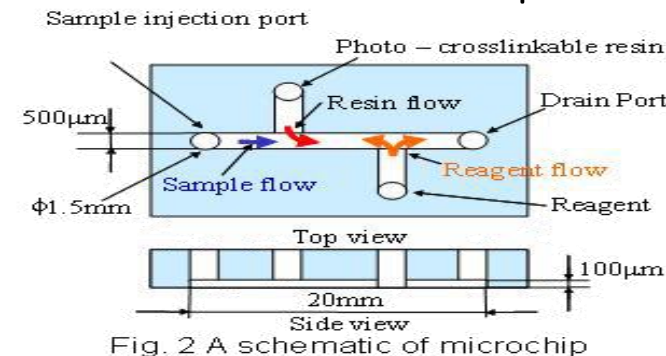


Fig. 4 Single cell experiment using immobilized cell

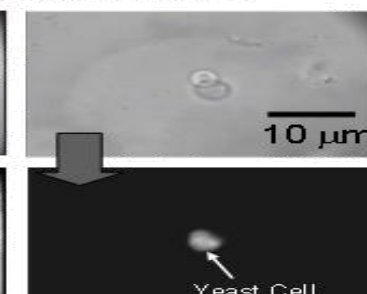
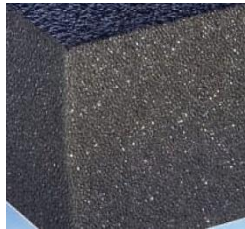


Fig. 4 Single cell experiment using immobilized cell

Immobilization systems

- Inert matrix: { Polyurethane
Glass fiber



- Gelling agents: {
 - Alginate (1-2%)
Composition: Glucuronic acid + Mannuronic acid
Gel with Ca^{2+} (0,2-0,3 M)
 - Carragenins (3%)
Polyssacharide polysulfonate
Gel with K^+ (0,3 M)
 - Agarose (3%) T° gelification 35°C
Agar (2-5%) T° gelification 45°C



غیر متحرک سازی (Immobilization) سلولها



Microencapsulation in alginate of a *Taxus baccata* cell culture

Biotransformation

Thebaine

Vindoline

Digitoxine

Ferulic acid

Isoeugenol

Codeine

Papaver somniferum

Catharanthus roseus

Digitalis lanata

Capsicum frutescens

Capsicum frutescens

Spirulina platensis

Codeine

Vincristine

Digoxine

Capsaicin

Vanillin

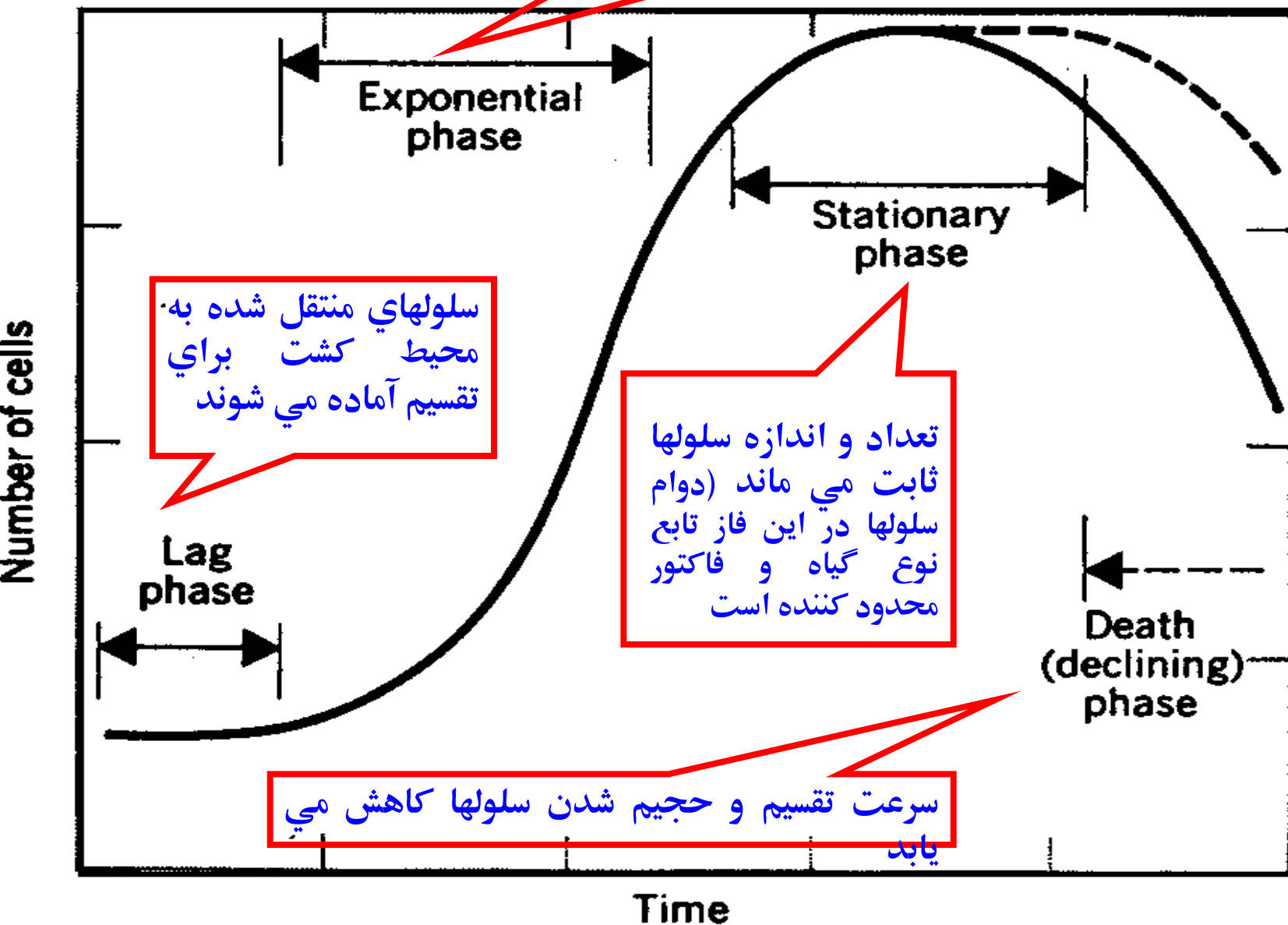
Morphine

Substrate

Plant cell

Product

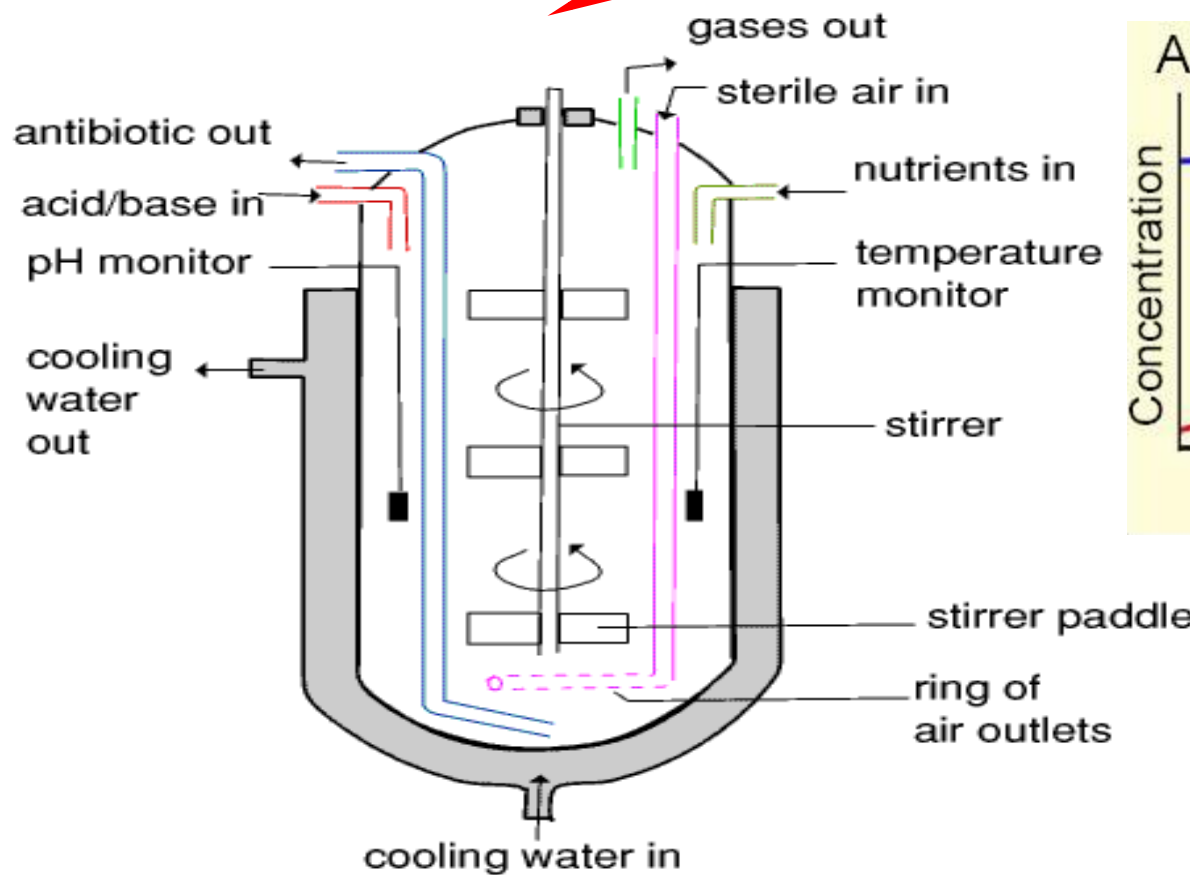
سرعت تقسیم سلولی در بالاترین قرار دارد



کشت بسته (Batch culture)

- حجم محیط کشت ثابت است

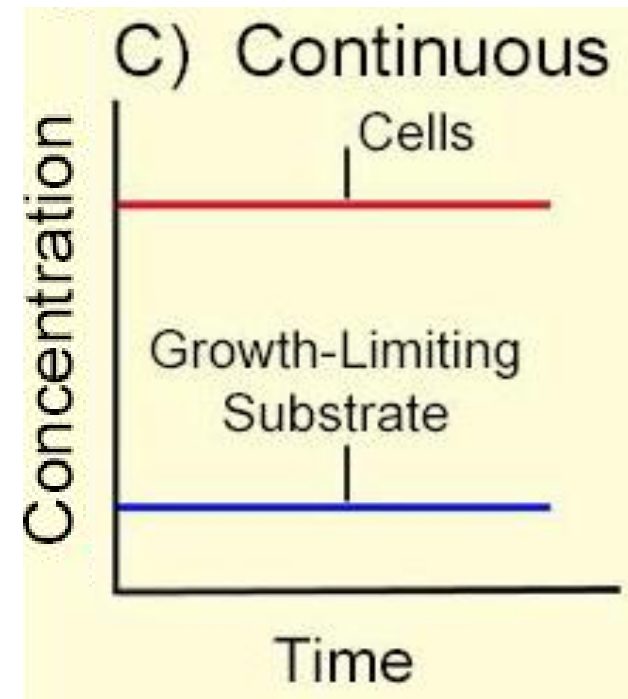
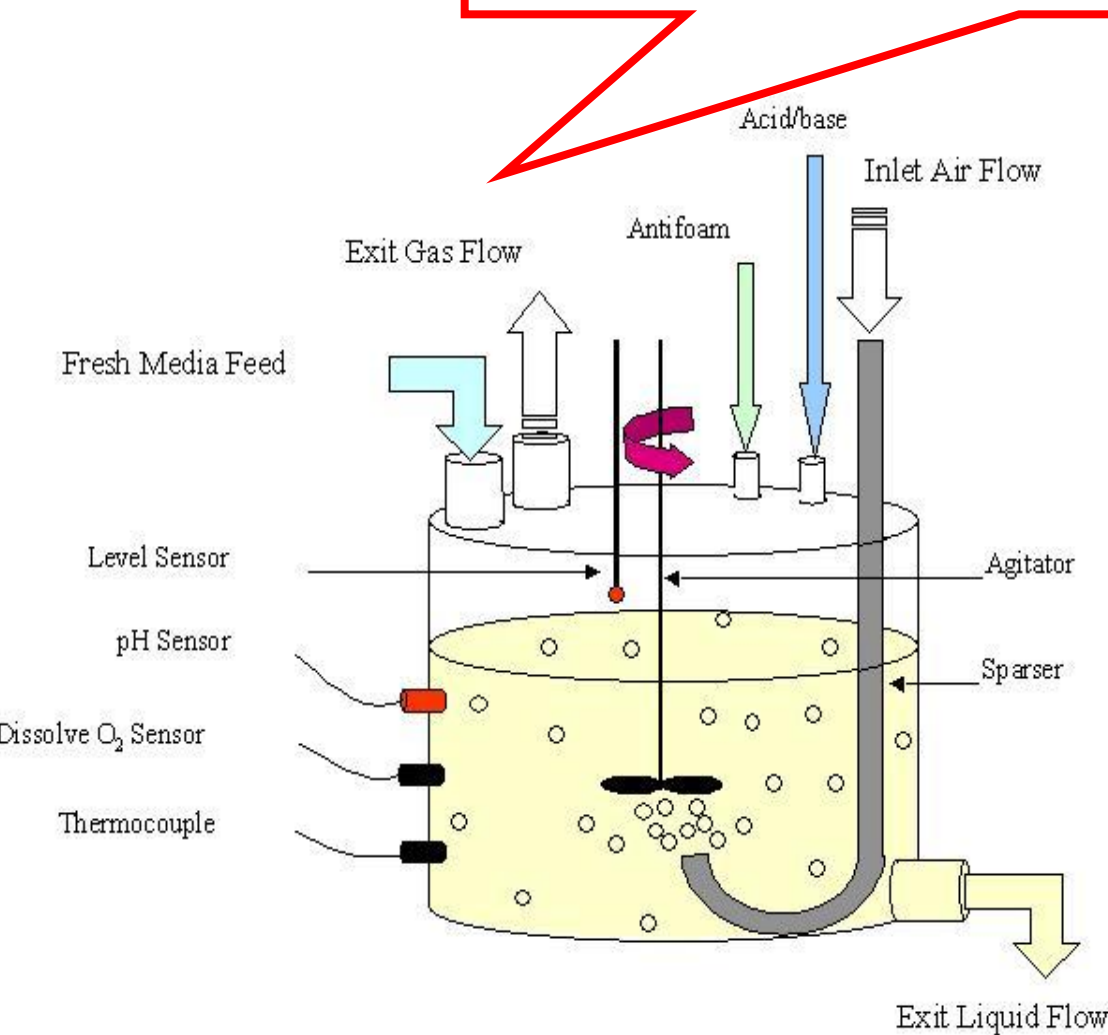
- اکسیژن و مواد غذایی محدود است



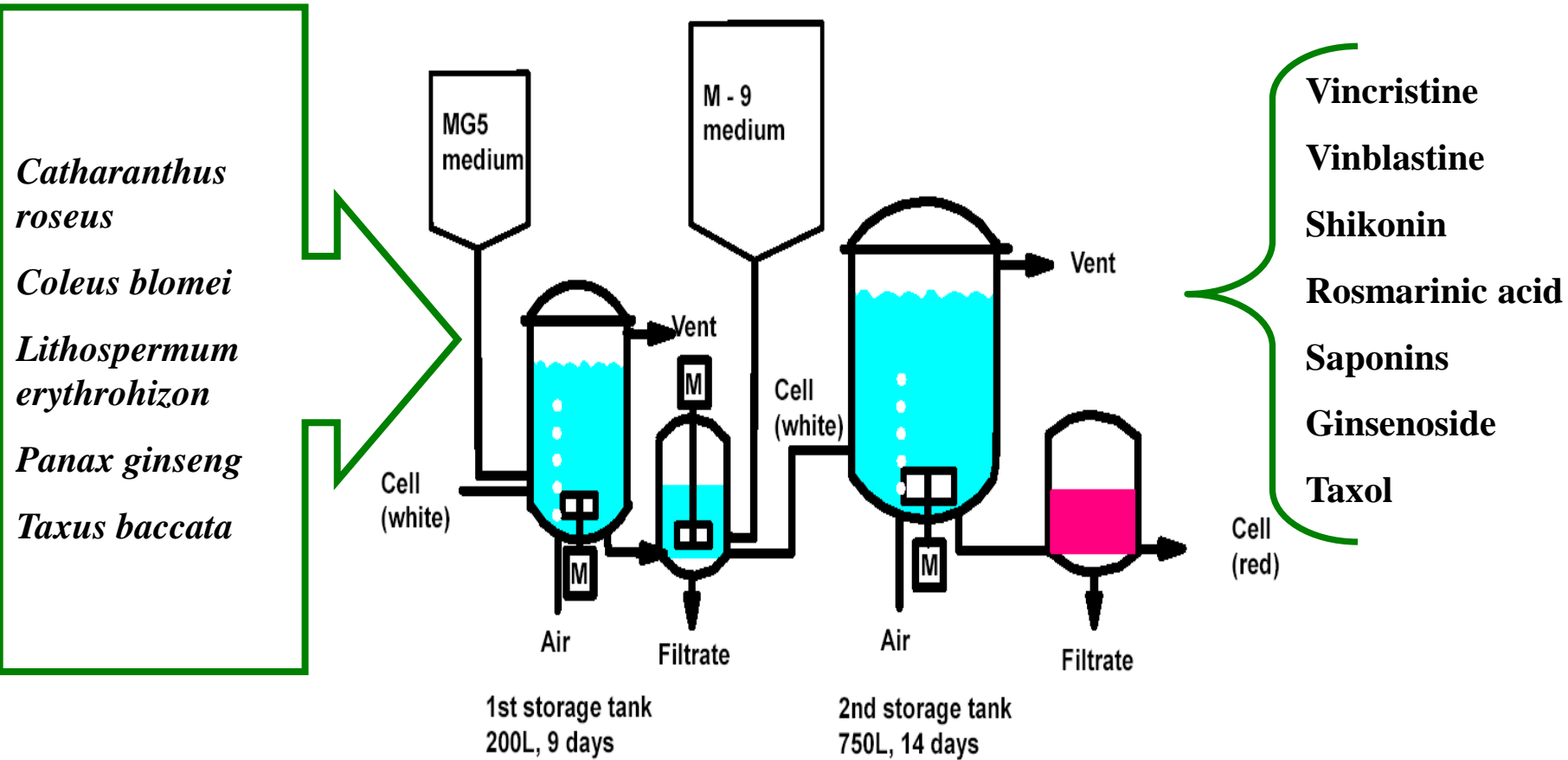
کشت پیوسته (Continuous culture)

- ورود مداوم محیط غذایی تازه

- وجود یک رشد متعادل سلولی (سرعت رشد حداقل و ثابت)



تولید متابولیتهاي ثانويه گياهي در مقیاس انبوه (بیوراکتورهای صنعتی)



محدودیتهای تولید متابولیتهاي ثانويه گياهي در کشتهاي سوسپانسيون

۱



- کاهش راندمان تولید متابولیتهاي ثانويه در بافتهاي تمایز نیافته

- عدم ثبات ژنتيکي سلول به علت وقوع جهش و توليد ترکيبيهاي ناخواسته

- صدهمه ديدن سلولها به علت تکان دادن مداوم محيط کشت (براي جلوگيری از تشکيل توده سلولی)

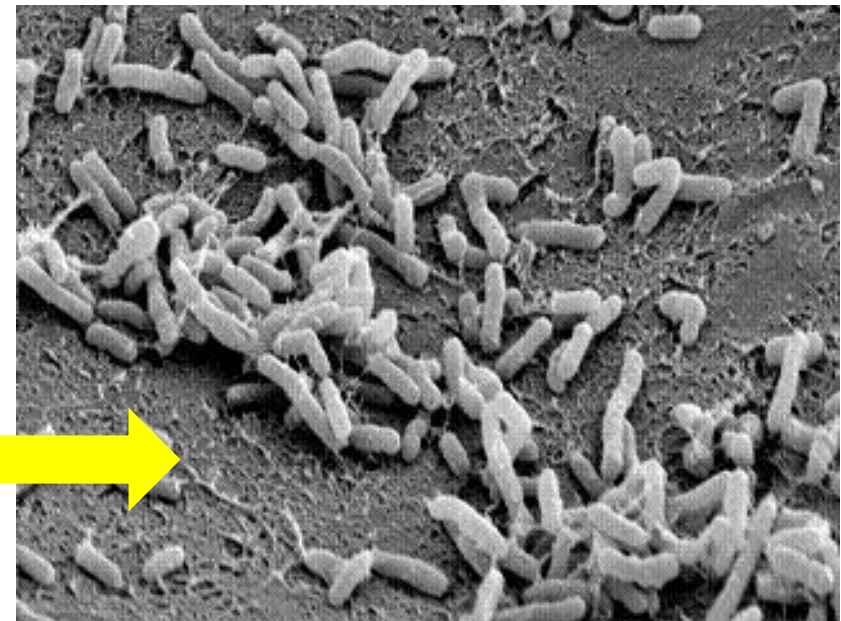
- بالا بودن هزينه توليد به علت مصرف زياد مواد قندی در محيط کشت (تا ۵٪ وزني به حجمی)

- وقوع آلودگی زياد در محيط کشت (تکثیر سريعتر سلولهاي باكتريائي در مقايسه با سلولهاي گياهي)

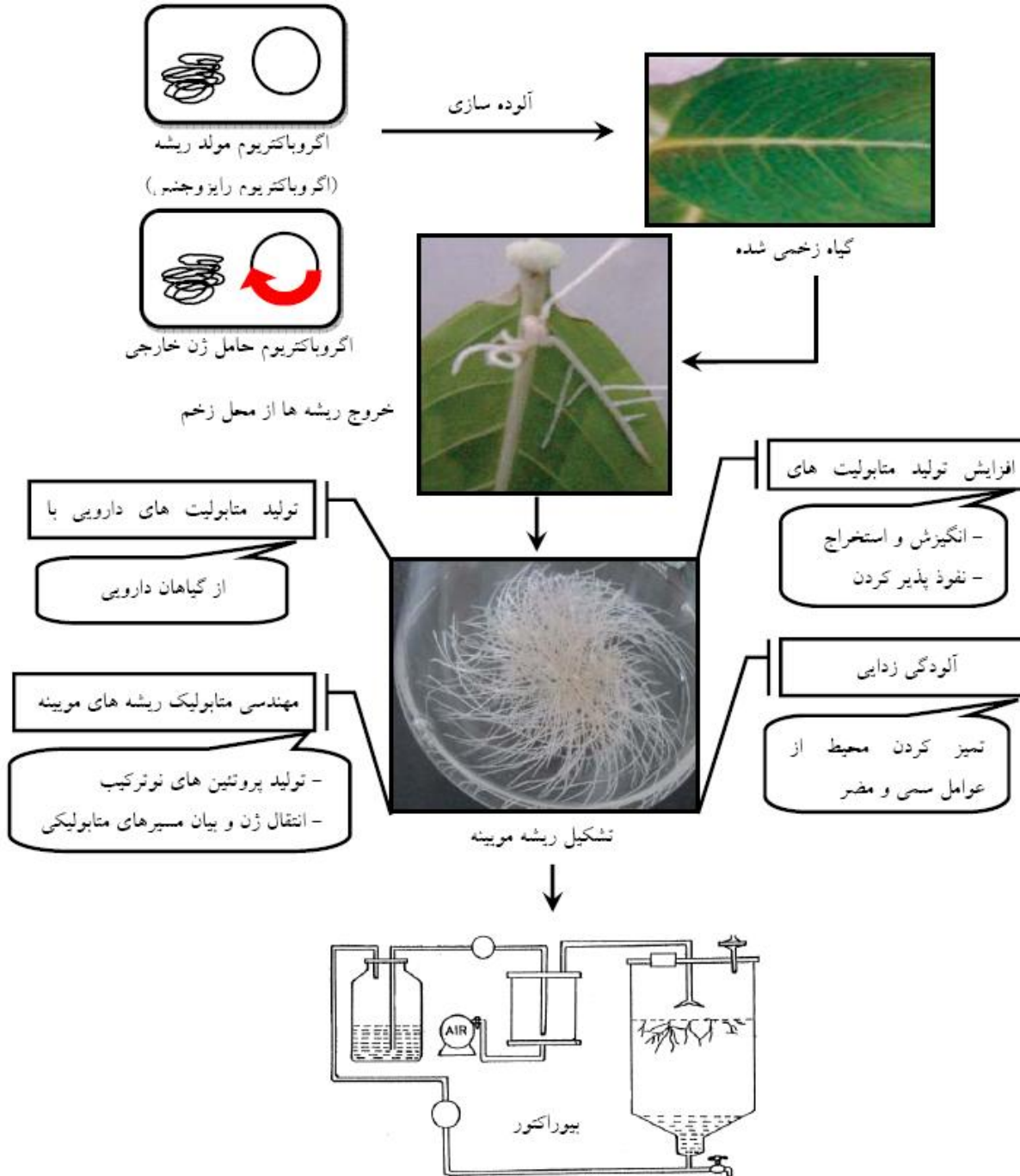
- انجام تحقیقات بسیار گسترده برای بهينه سازی شرایط توليد در بیوراکتورها و جداسازی فراورده نهايی

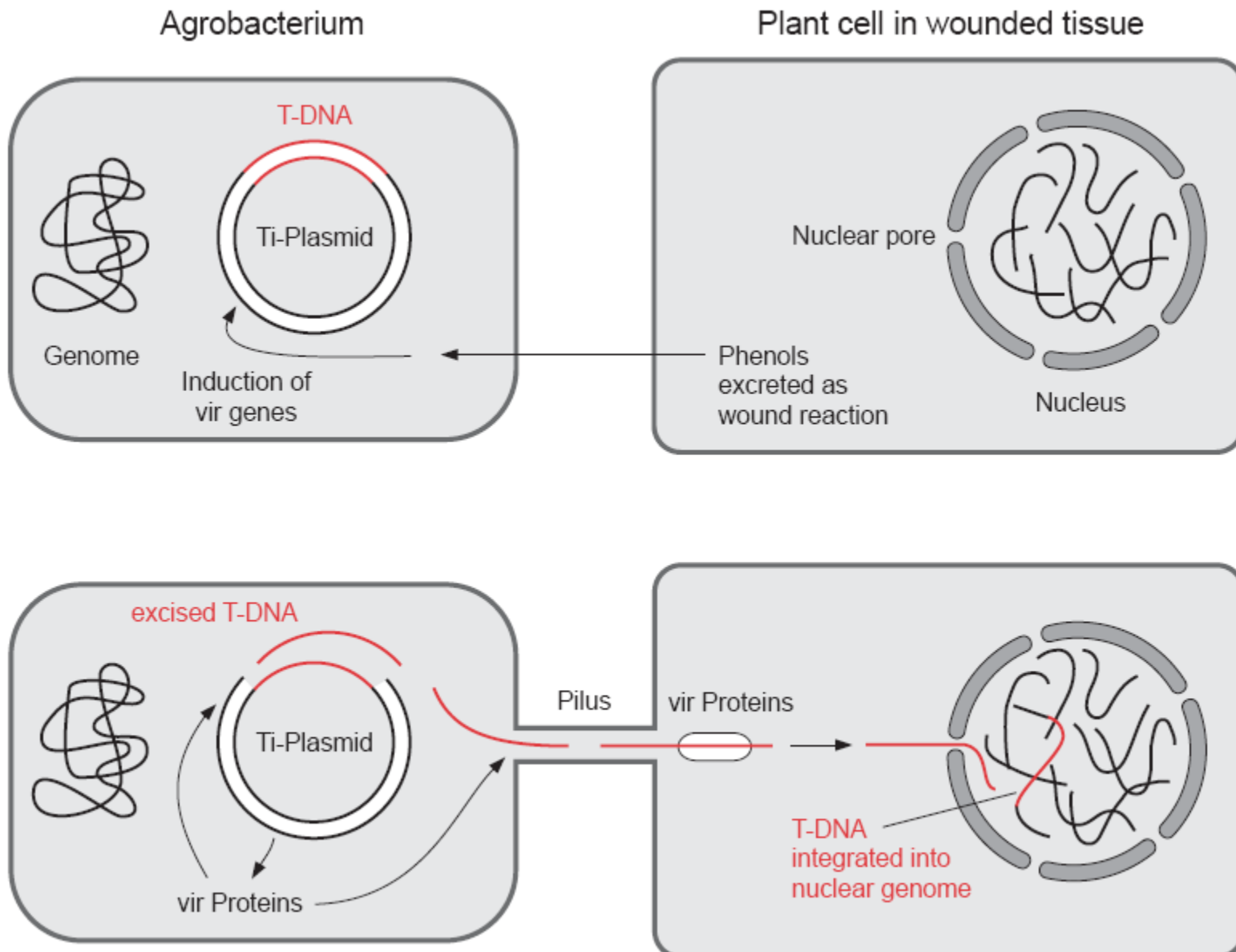
- عدم توسعه اين روش به علت پيچيدگی فرایند رشد سلولهاي گياهي در بیوراکتورها و فرمانتورها

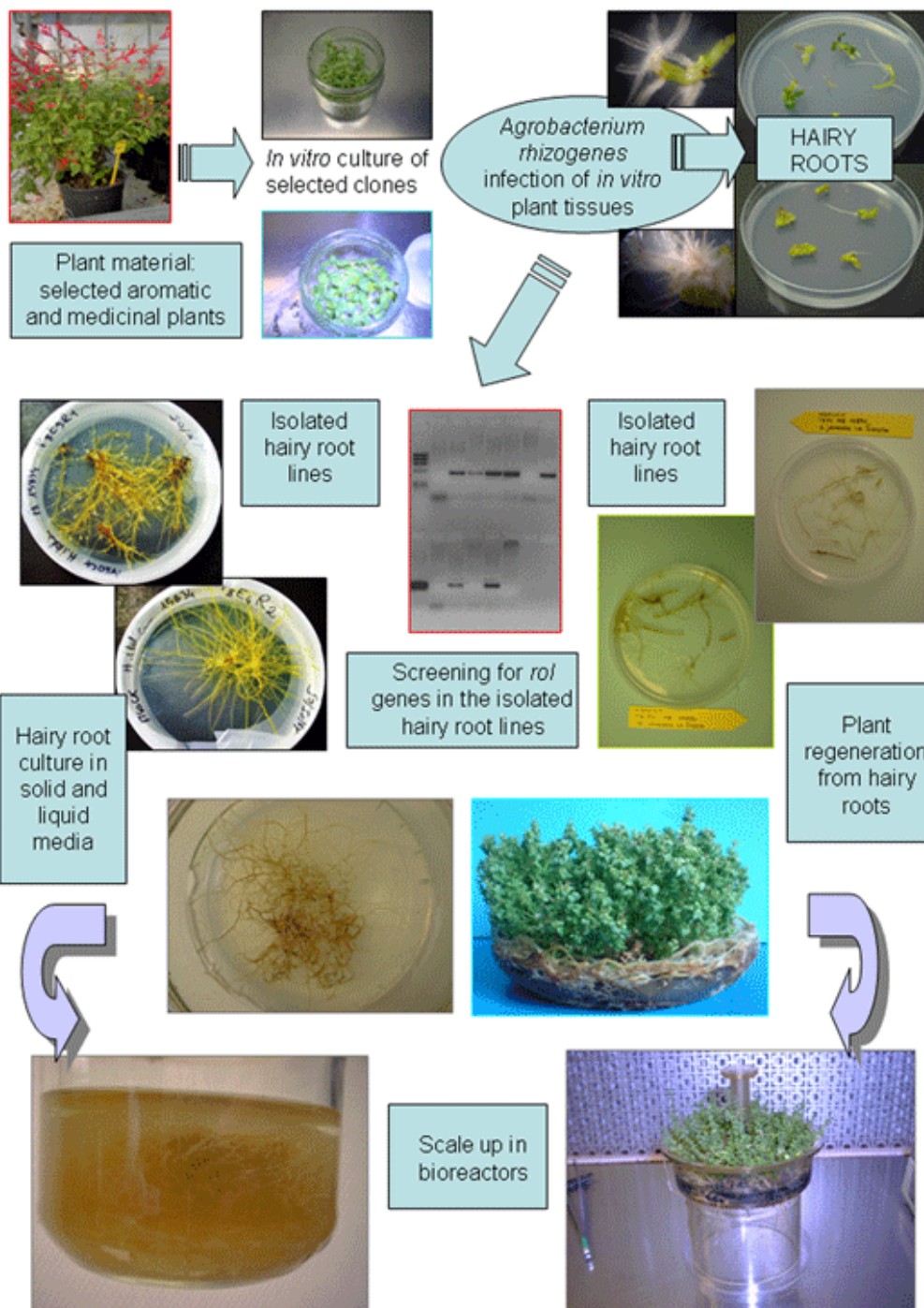
القای ریشه های مویینه



باکتری مولد ریشه (*Agrobacterium rhizogenes*)





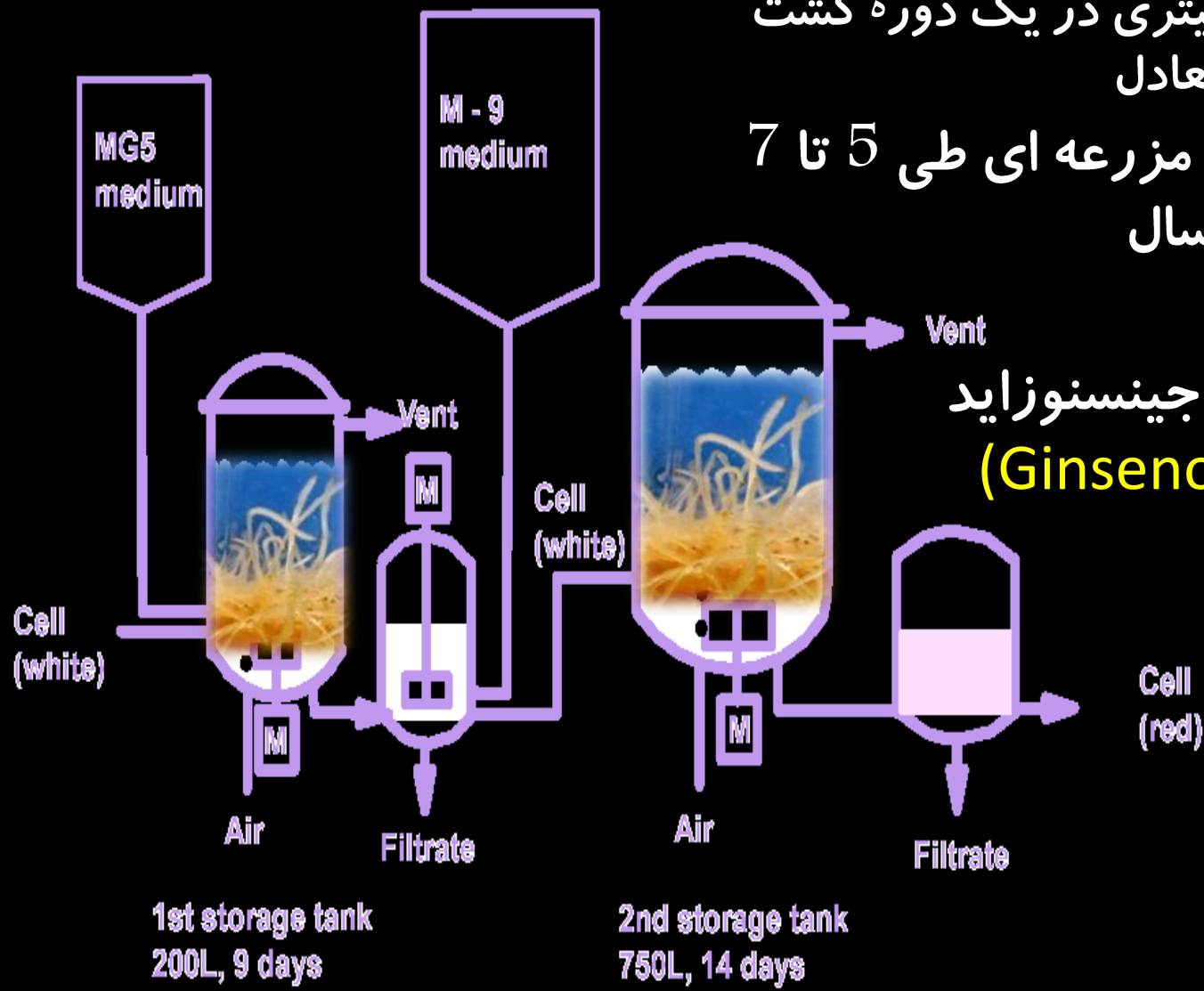


جین سنگ (Panax ginseng)

بیوراکتور 20 هزار لیتری در یک دوره کشت
معادل

600 هکتار کشت مزرعه ای طی 5 تا 7 سال

در تولید جینسنو زاید (Ginsenoside)



Hairy root cultures producing pharmaceutical products of interest

Plant species	Product	Reference
<i>Bidens</i> spp.	Polyacetylenes	McKinley et al. (1993)
<i>Cinchon. ledgeriana</i>	Quinolene alkaloids	Hamill et al. (1987)
<i>Cichorium intybus</i>	Esculetin	Bais et al. (1999)
<i>Datura</i> spp.	Tropane	Rhodes (1989)
<i>Cassia</i> spp.	Anthroquinones	Ko et al. (1988)
<i>Duboisia leichhardtii</i>	Tropane alkaloids	Mano et al. (1989)
<i>Echinacea purpurea</i>	Alkaloids	Trypsteen et al. (1991)
<i>Glycyrrhiza uralensis</i>	Glycyrrhizin	Ko et al. (1989)
<i>Hy. albus</i>	Alkaloids	Shimomura et al. (1991)
<i>Panax ginseng</i>	Saponin	Yoshikawa and Furuya (1987)
<i>Salvia miltorrhiza</i>	Diterpenes	Hu and Alfermann (1993)
<i>Artemi. absynthium</i>	Volatile oil	Kennedy et al. (1993)
<i>L. erythrorhizon</i>	Shikonin	Shimomura et al. (1986)
<i>Ra. serpentina</i>	Ajmaline, serpentine	Benjamin et al. (1994)
<i>Rubia cordifolia</i>	Anthroquinones	Shin and Kim (1996)
<i>Gl. glabra</i>	Isoprenylated flavonoids	Asada et al. (1998)
<i>Panax ginseng</i>	Ginsenoside	Kunshi et al. (1998)
<i>Hy. muticus</i>	Hyoscyamine	Sevon et al. (1998)

Adapted from Ravishankar and Ramachandra Rao (2000).

Biotransformations using hairy root cultures for production of pharmaceuticals

Plant species	Substrate	Product	Reference
<i>Hy. niger</i>	Hyoscyamine	Scopolamine	Hashimoto and Yamada (1983)
<i>Cinchon. ledgeriana</i>	Tryptophan	Quinine	Hay et al. (1986)
<i>Nicotiana</i> spp.	Lysine, cadaverine	Nicotine	Walton and Belshaw (1988)
<i>Duboisia myoporoides</i>	Putrescine, agmatine Putrescine Spermidine Cadaverine	Anabasine Scopolamine Hyoscyamine	Walton et al. (1988) Yoshioka et al. (1989)
<i>Panax ginseng</i>	2-phenylpropanoic acid	Sugar esters	Furuya et al. (1989)
<i>Panax ginseng</i>	Digitoxigenin	Digitoxin	Kawaguchi et al. (1990)
<i>Atro. belladonna</i>	Hyoscyamine	Scopolamine	Subroto et al. (1996)
<i>Dubo. leichhardtii</i>	Hyoscyamine	Scopolamine	Subroto et al. (1996)
<i>Panax ginseng</i>	18 β -glycyrrhetic acid	Glucosides	Asada et al. (1993)
<i>Bidens sulphureus</i>	Butylated hydroxytoluene	Stilbene quinones	Flores et al. (1994)
<i>Panax ginseng</i>	Phenolic acid	Glycosylated phenolic compounds	Ushiyama and Furuya (1989)

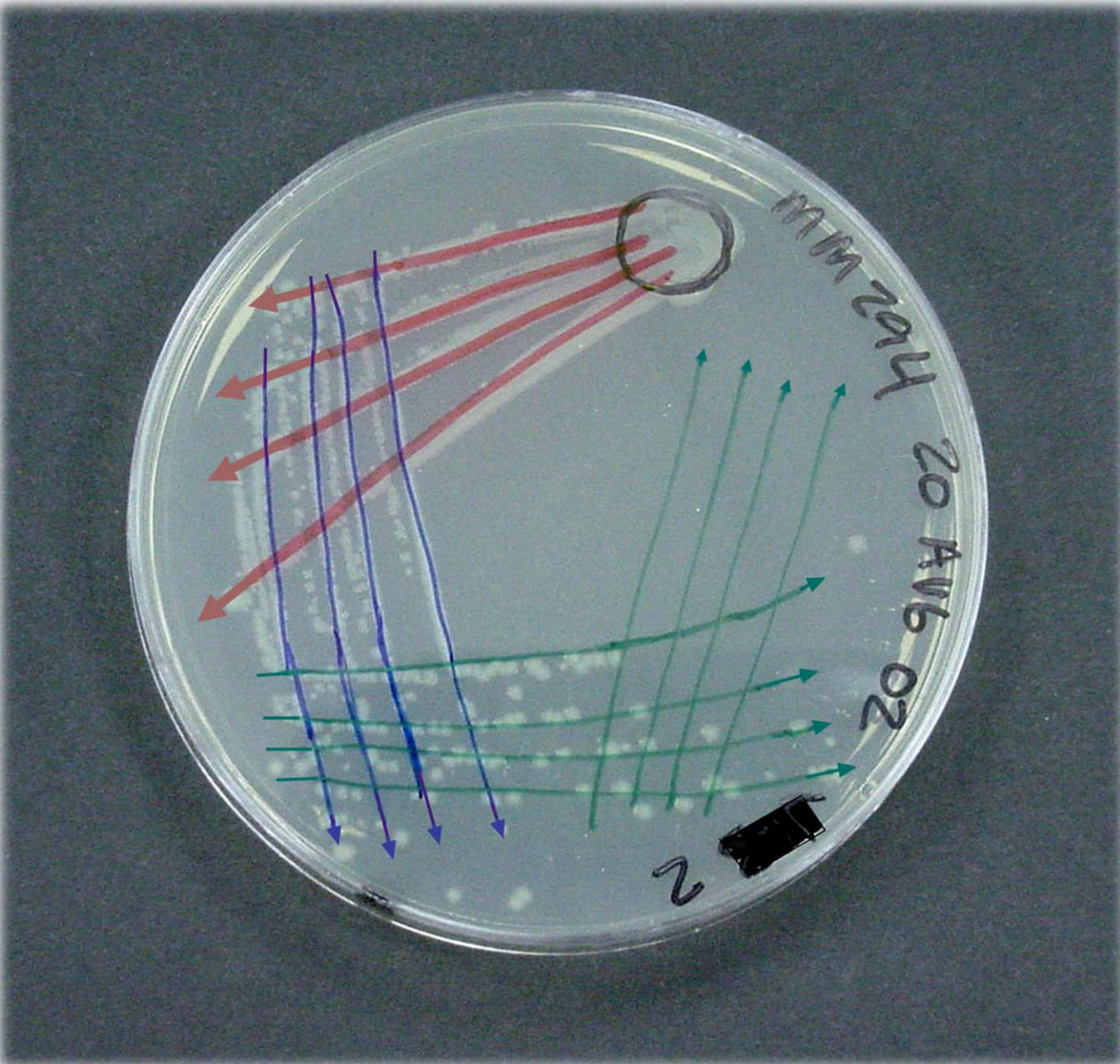


✓ مزایای استفاده از سیستم کشت ر

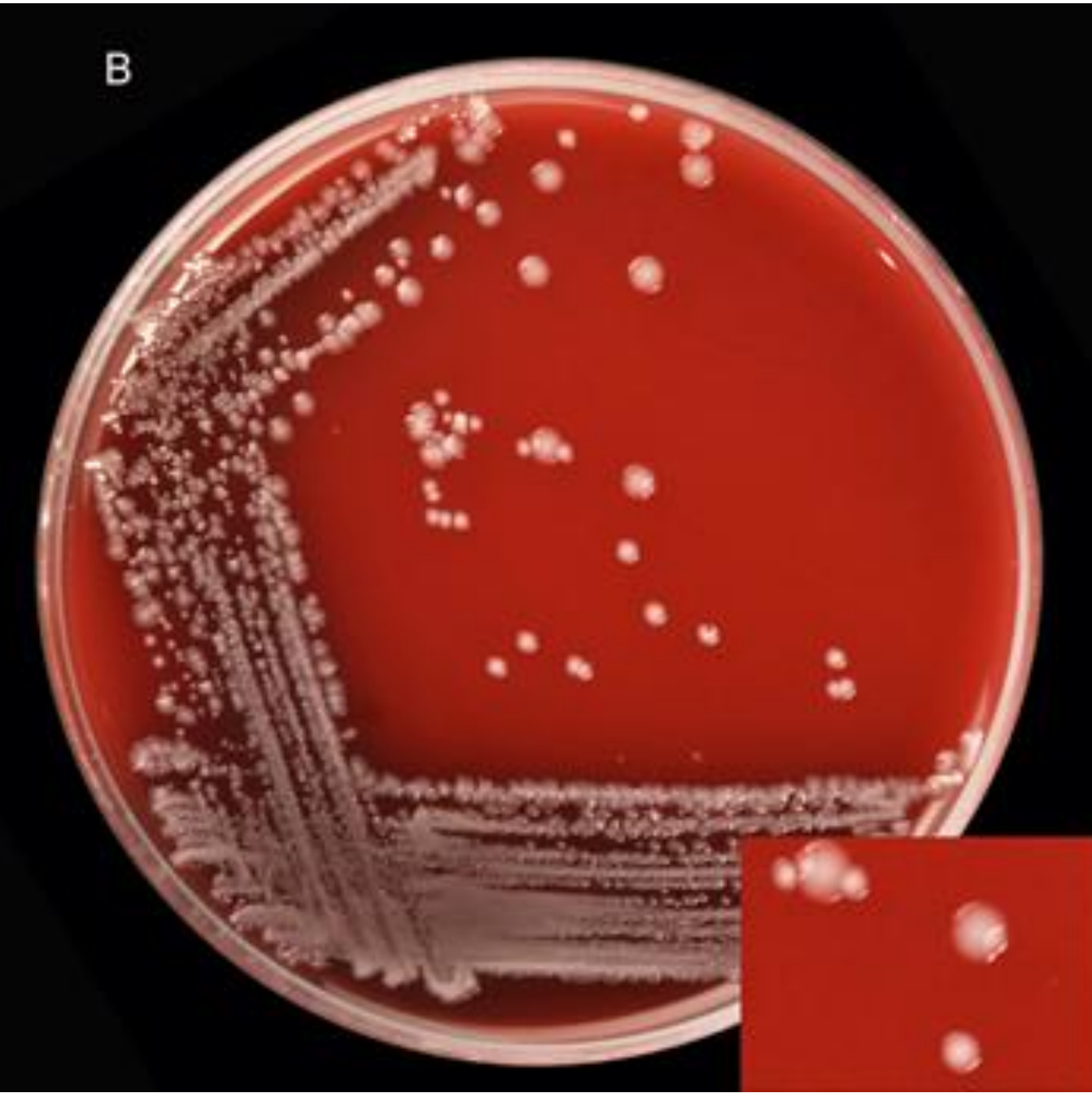
- ◀ عدم نیاز به کاربرد اکسین خارجی
- ◀ فاقد زمین گرایی (دارای شاخه بندی افق گرا هستند)
- ◀ عدم نیاز به تیمار نوری
- ◀ سرعت رشد بالا
- ◀ دارای ثبات ژنتیکی و بیوشیمیایی در تولید ترکیبات دارویی برای مدت زمان طولانی
- ◀ امکان انتقال **زنهای خارجی** برای بهبود متابولیت ثانویه جدید
- ◀ تحقیقات متعدد در ارتباط با کشت ریشه مویینه برای تولید متابولیتهای ثانویه در گیاهان دارویی

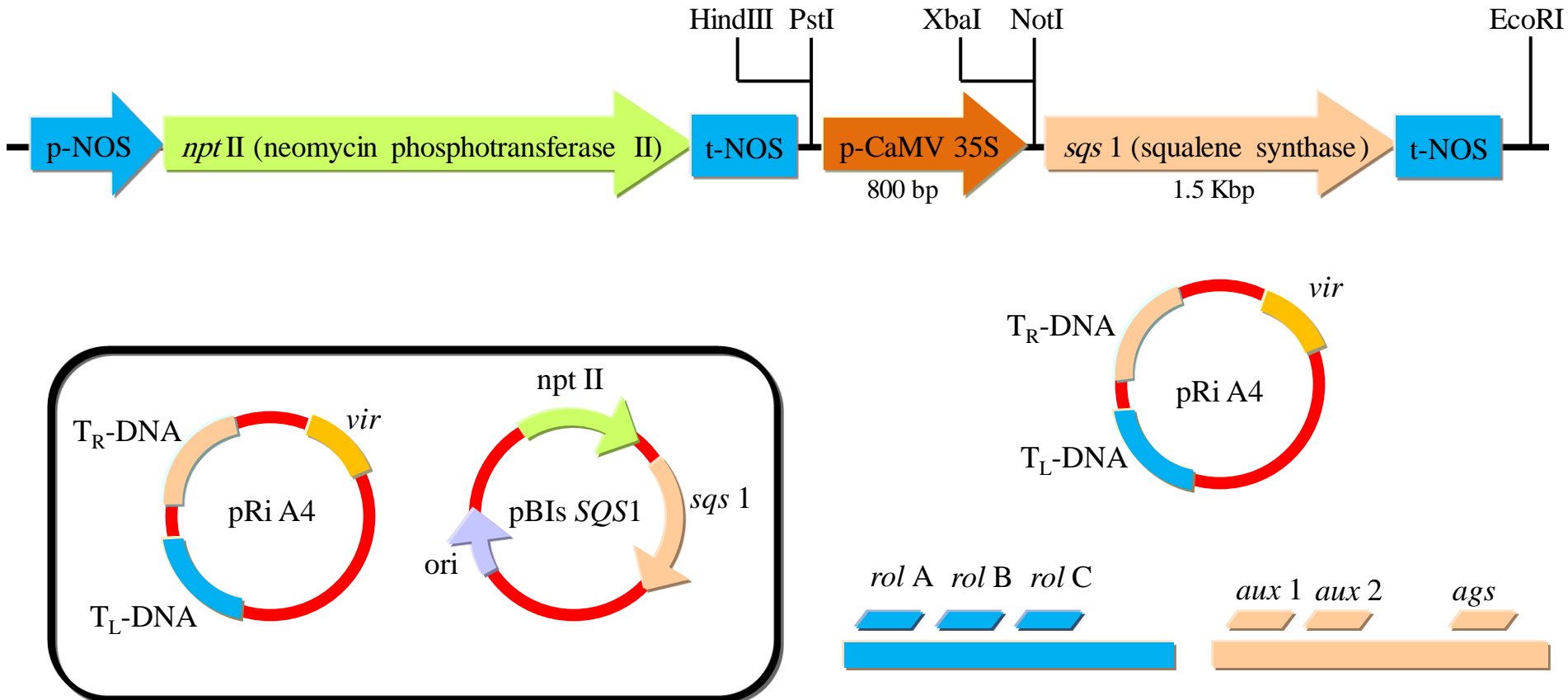
Shimomura et al. (1991); Hashimoto et al. (1993); Rao et al. (1998); Murthy et al (2008)

شماره	ویژگی	کشت ریشه مویینه	کشت سلول
۱	هوادهی	بالا	پایین
۲	زمان دو برابر شدن بیوماس	۲ تا ۷ روز	۰/۷ تا ۱۴ روز
۳	اندازه	۱ تا ۱۰ سانتی متر	۴۰ تا ۲۰۰ میکرومتر
۴	محیط کشت	ساده و فاقد هورمون	پیچیده و نیازمند به هورمون
۵	تراکم ماده اولیه کشت	۵ تا ۱۰ درصد حجمی به حجمی	۵ تا ۱۰ درصد حجمی به حجمی
۶	مورفولوژی	ساختار اندام مانند اما بیوماس پیچیده با سلول های حساس	مخلوطی از سلول های منفرد یا مجتمع با دیواره سلولی حساس
۷	ثبات ژنتیکی	باشبات-اوپلئید تا پلی پلئید هموژن	بی ثبات-آنیوپلئید هتروژن
۸	تجمع تولید	شبیه گیاه والد در برخی موارد بروز ترکیب جدید	اغلب متفاوت و کمتر از گیاه والد
۹	رها سازی تولید	زیاد	اغلب
۱۰	حداکثر تراکم بیوماس تولیدی	۳۰ گرم ماده خشک در لیتر	۲۰۰ گرم ماده خشک در لیتر
۱۲	حساسیت برداشت	خیلی حساس	حساس
۱۳	اداره کشت مداوم	آسان	مشکل و نیازمند به حمایت
۱۴	جابجایی و انتقال بیوماس	مشکل بدون قابلیت پمپاژ	آسان با قابلیت پمپاژ



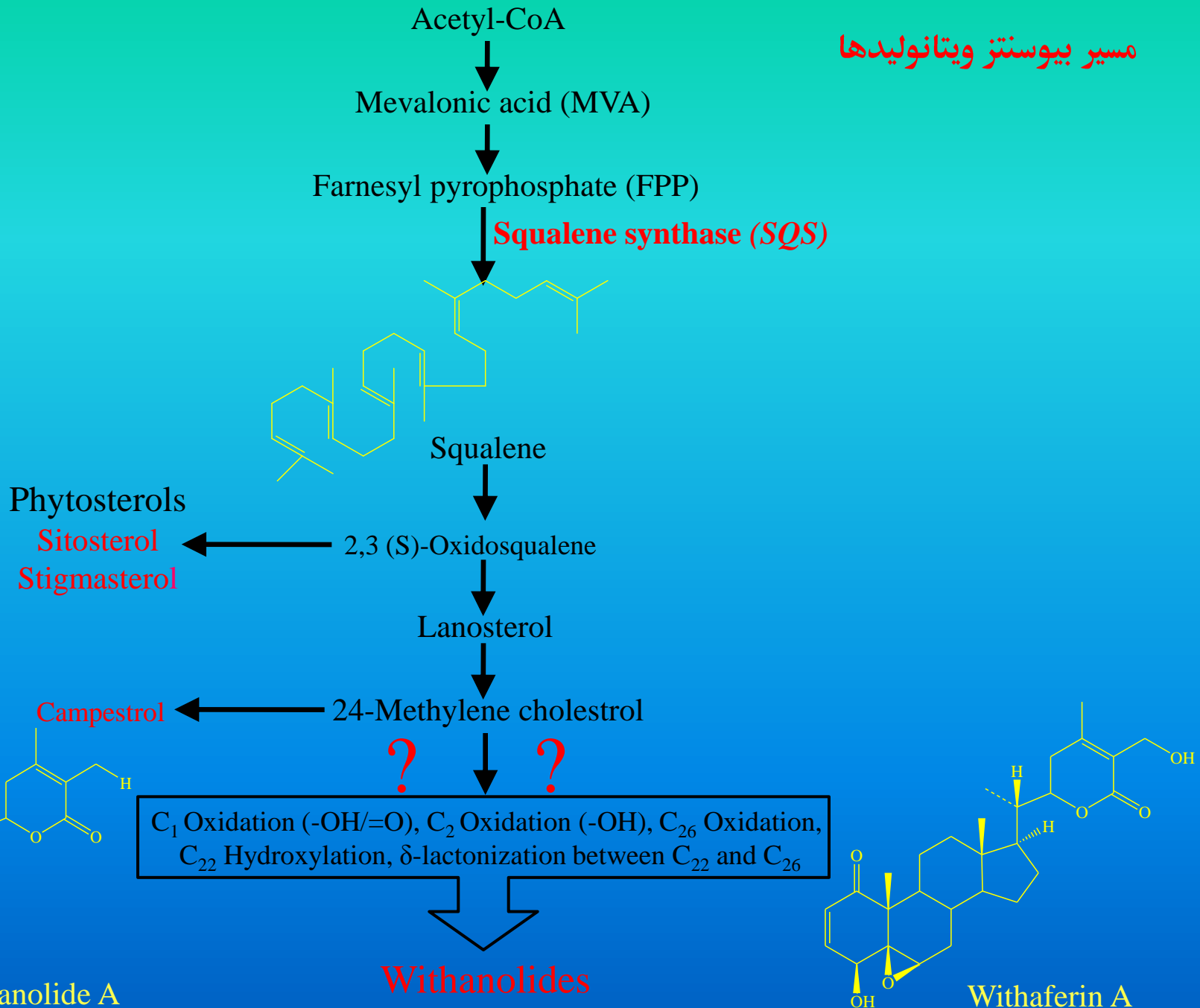
B

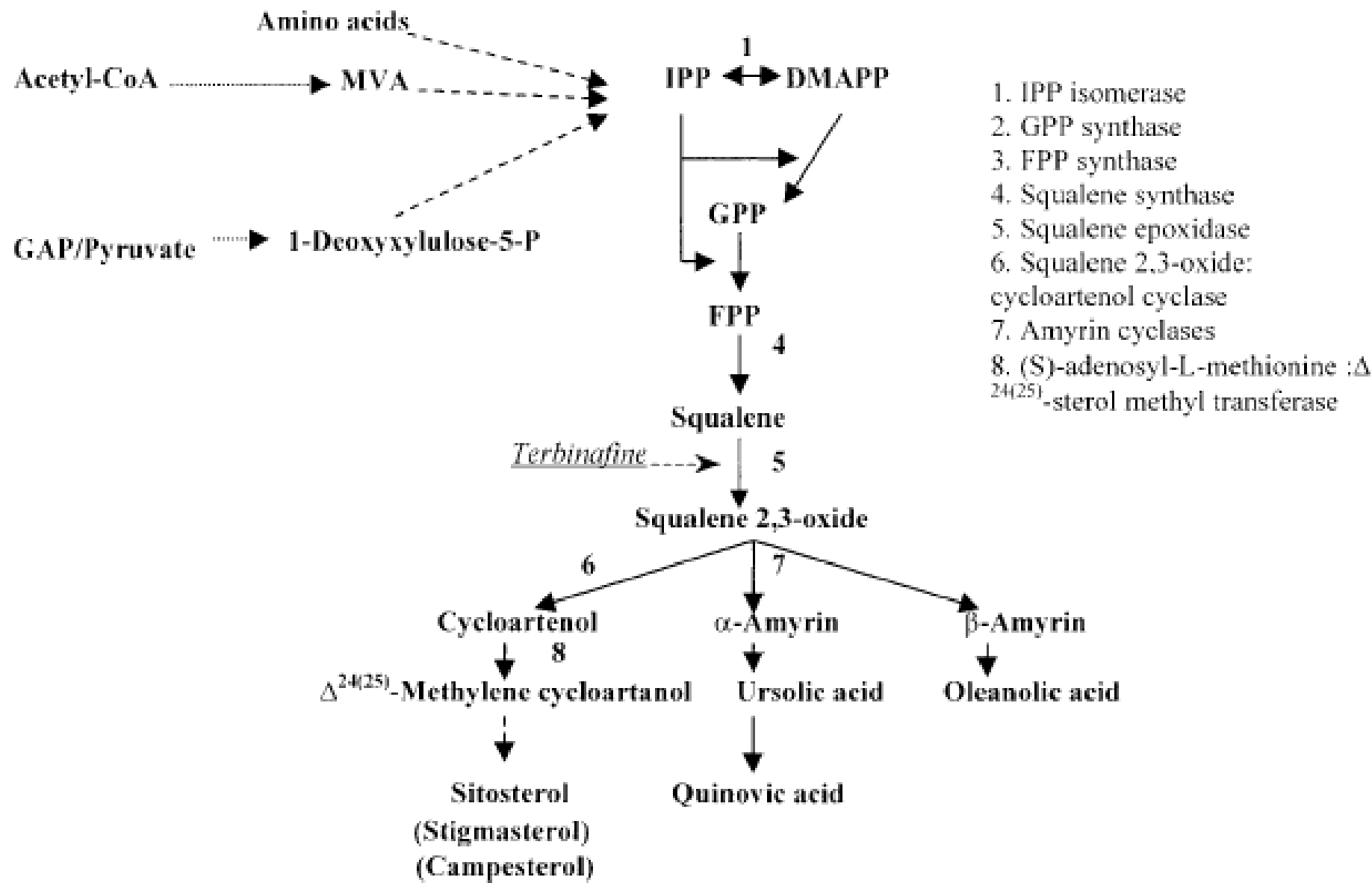




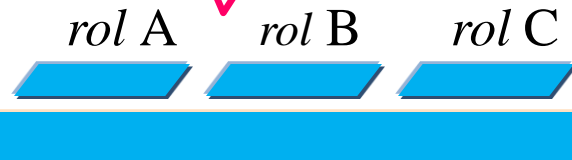
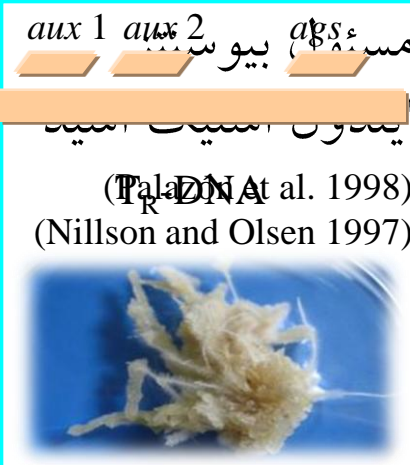
Agrobacterium tumefaciens
strain C58C1 (pRiA4) (pBI SQS 1)
Kribi et al. (1997)

T_L-DNA
Agrobacterium tumefaciens
strain C58C1 (pRiA4)
Van Larebek et al. (1974)





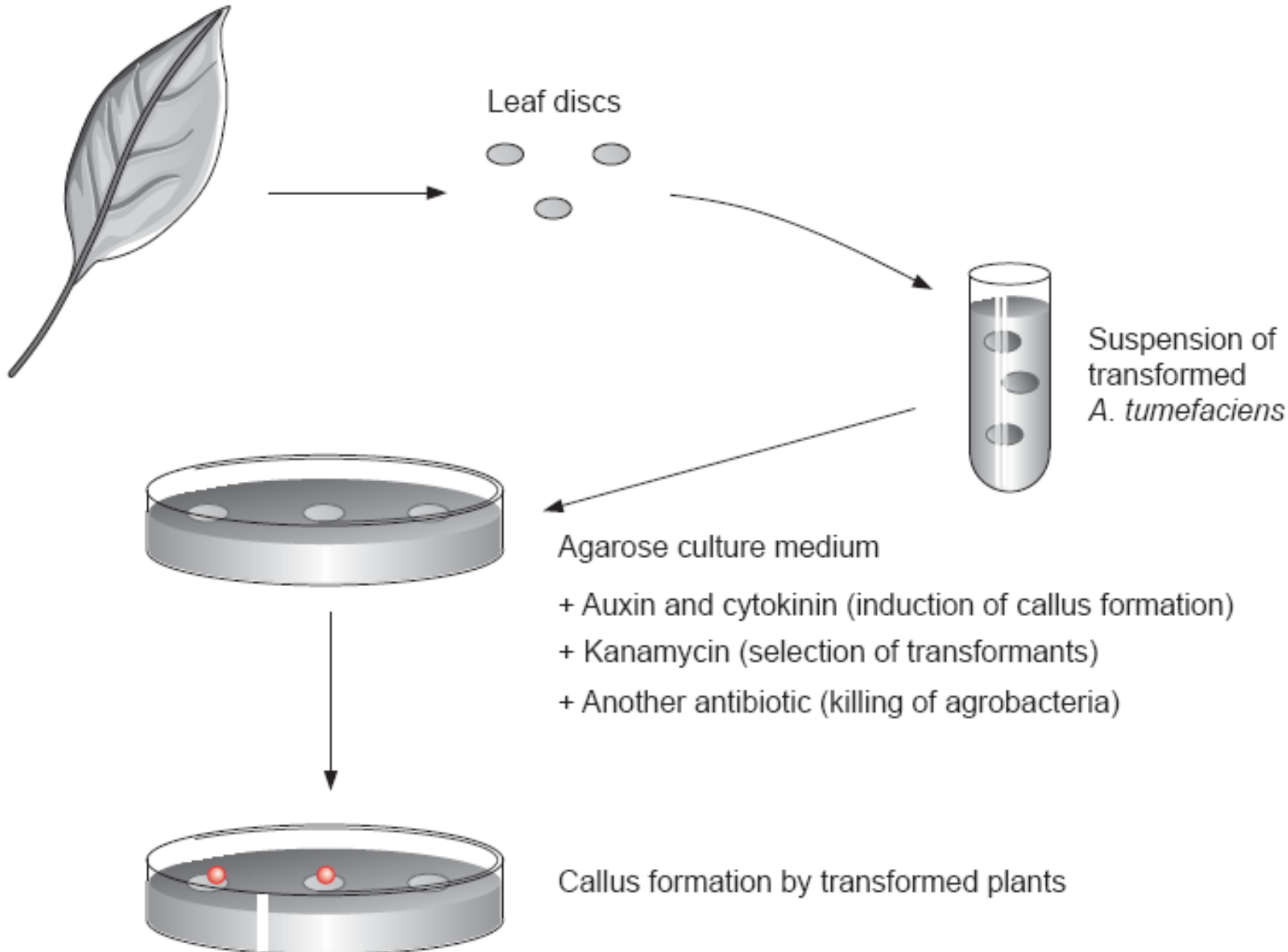
مسئول بیوستز مواد
شبه هورمونی و
تاثیر بر مقدار
متابولیتهای ثانوی
(Chiriquí et al. 1996)
(Nillson and Olsen 1997)



سلول گیاه

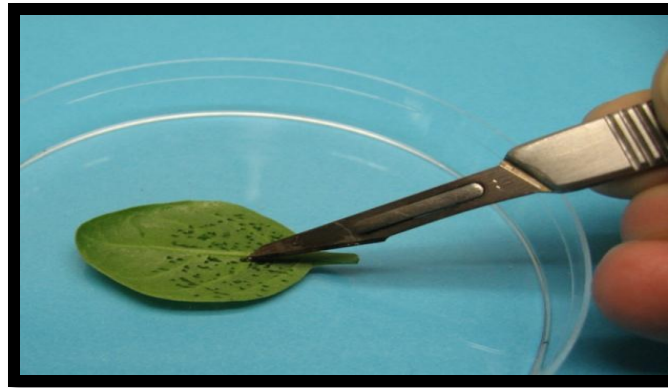








1



2



3



4

Claforan

1g i.m.

Cefotaxima

Polvo para solución
inyectable
i.m.

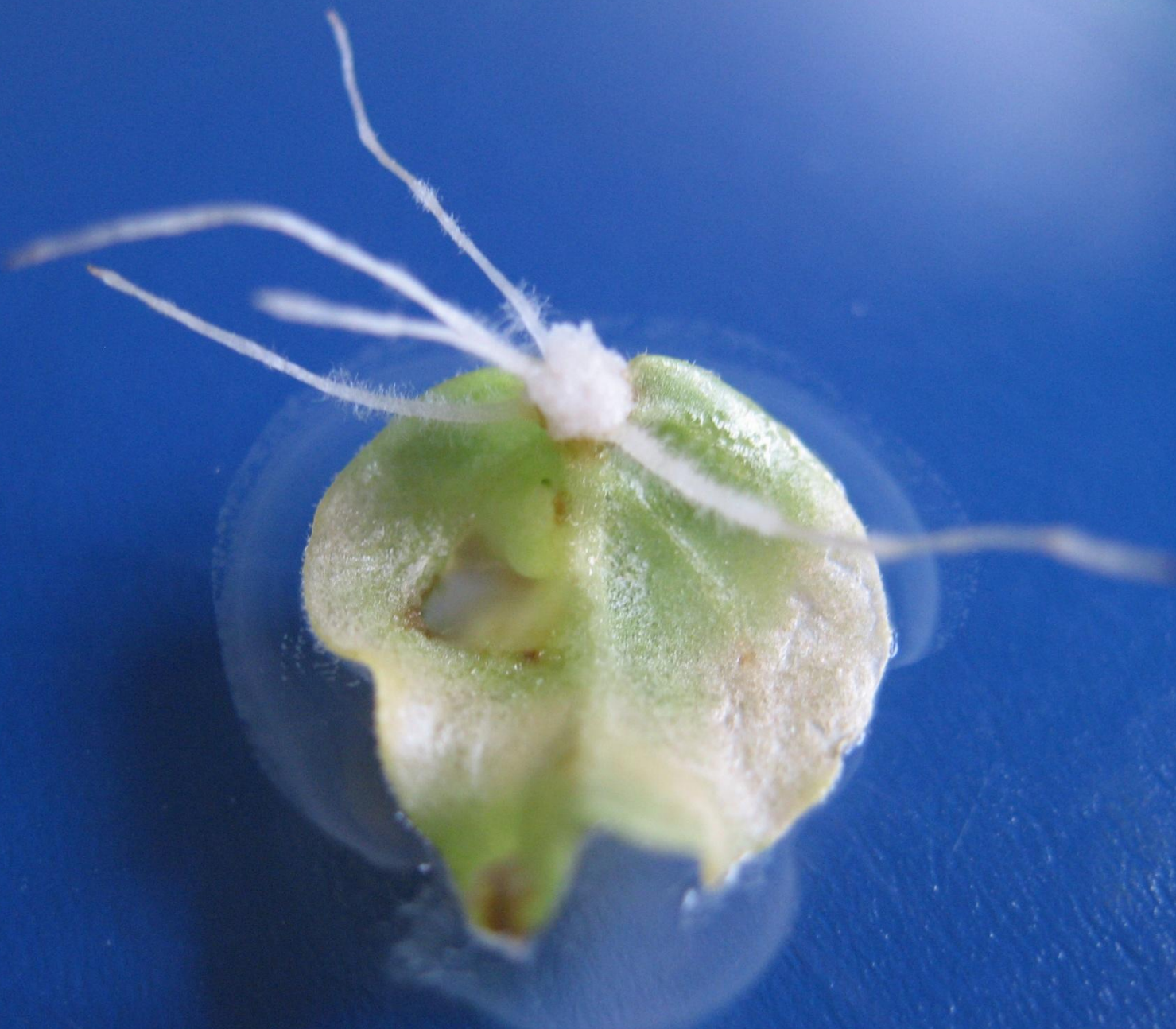
Vía exclusivamente
intramuscular
Diagnóstico hospitalario
E.C.

1 vial +
1 ampolla disolvente

 **Aventis**



کشت ریزنمونه های آلوده شده
محیط کشت MS قادر آنتی بیوتیک (72 ساعت) در شرایط تاریک و دمای 25 درجه سانتی گراد
کشت بر روی محیط کشت حاوی 500 mg/l سفوتاکسیم







1



3



2



4



واکشت ریزنمونه ها و ریشه ها
هر 3 روز یکبار بر روی محیط کشت حاوی 500 mg/l سفوتاکسیم 250 میلی‌لتری خورد

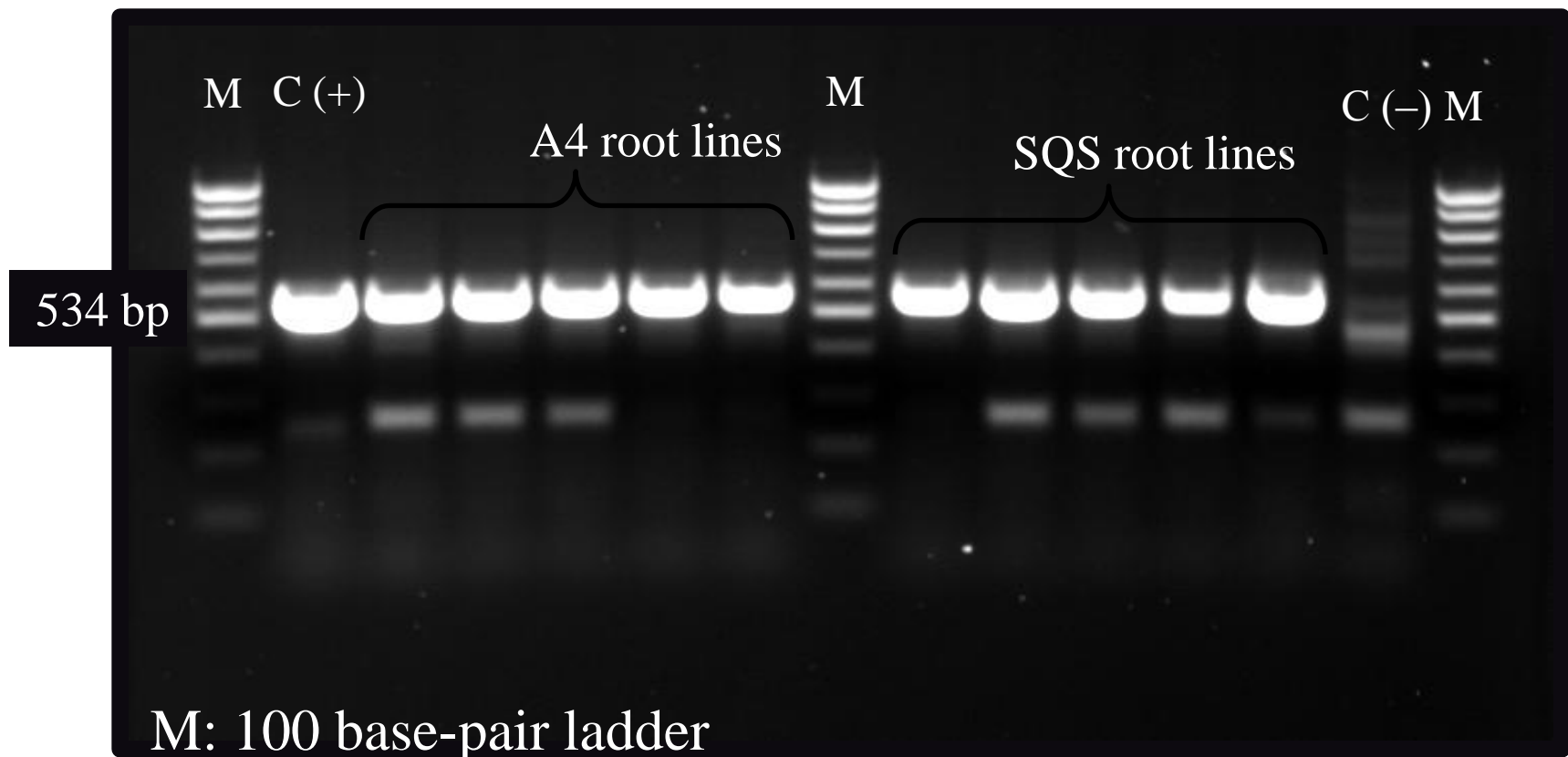
تا حذف کاما، اگ و باکتیوم شش از 15 مار



ردیابی ژن های وارد شده به نمونه میزبان (انجام واکنش

(PCR)

rol C gene



ردیابی ژن های وارد شده به نمونه میزبان (انجام واکنش

(PCR)

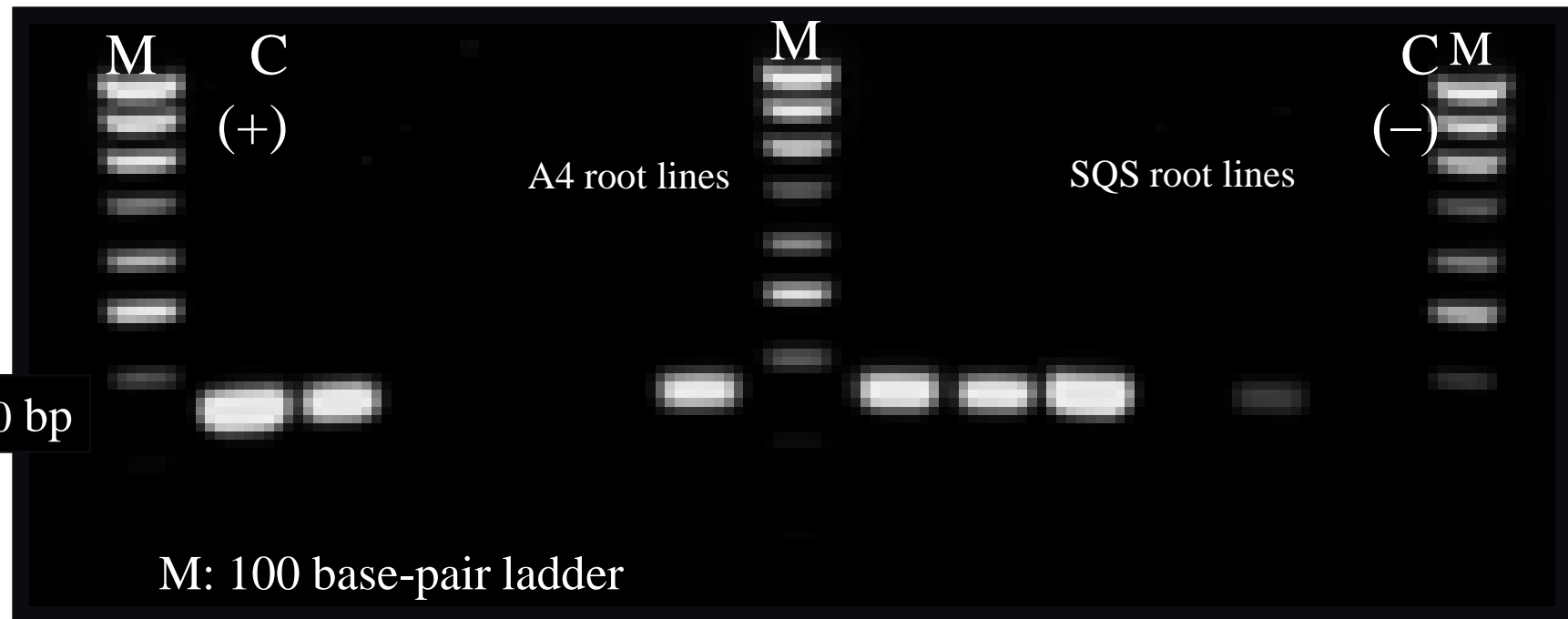
ags gene



ردیابی ژن های وارد شده به نمونه میزبان (انجام واکنش

(PCR)

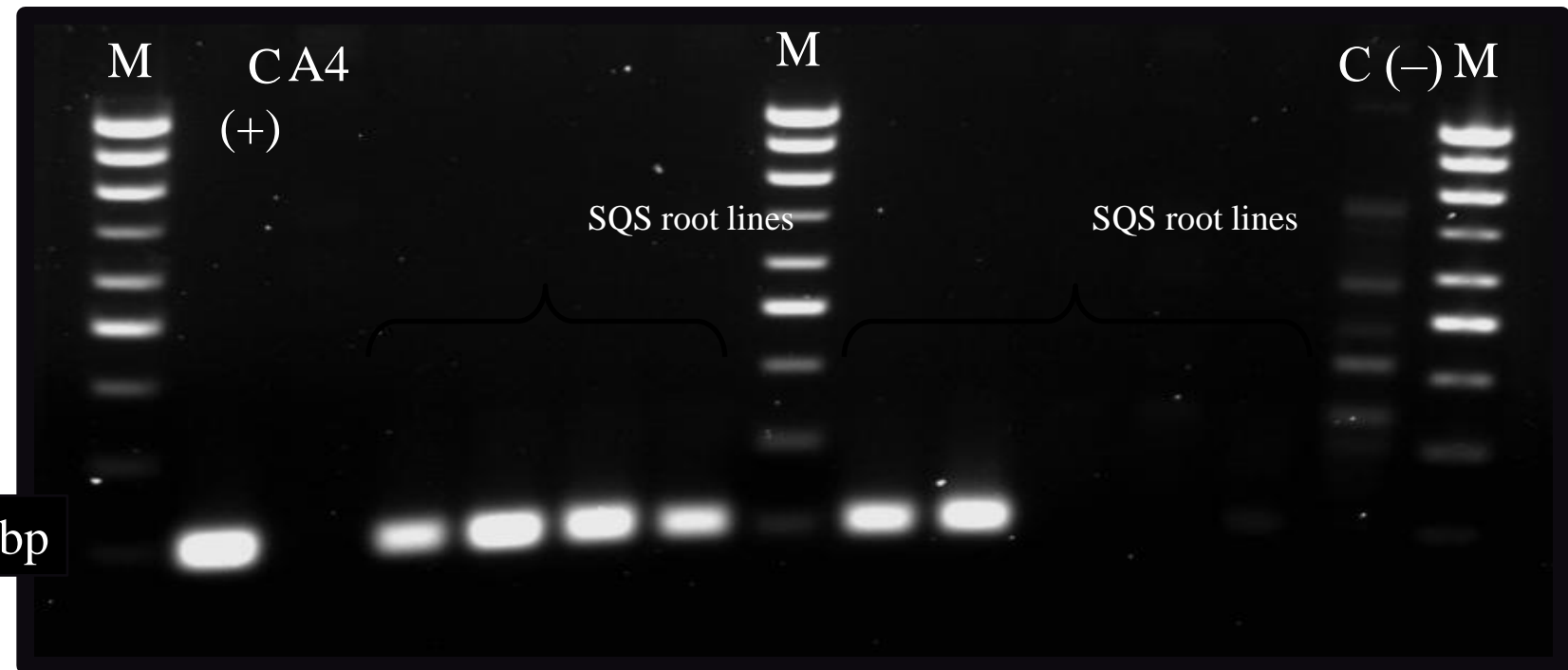
aux gene



ردیابی ژن های وارد شده به نمونه میزبان (انجام واکنش

(PCR)

SQS gene



ردیابی ژن های وارد شده به نمونه میزبان (انجام واکنش

(PCR)

لاین ریشه	مورفولوژی	ژن های وارد شده به ریشه های ترازیخت			
		<i>rol C</i>	<i>aux</i>	<i>sqS</i>	<i>ags</i>
A4L26	کالوس شکل	+	+	-	+
A4L30	خیلی کالوس شکل	+	+	-	+
A4L39	موینه شکل	+	-	-	+
A4L61	خیلی کالوس شکل	+	+	-	+
A4L112	موینه شکل	+	-	-	-
A4L115	موینه شکل	+	-	-	-
A4L144	موینه شکل	+	-	-	+
SQSL27	خیلی کالوس شکل	+	+	+	+
SQSL48	موینه و کمی کالوس شکل	+	-	+	+
SQSL78	خیلی کالوس شکل	+	+	+	+
SQSL84	کالوس شکل و کمی موینه	+	+	+	+
SQSL135	کالوس شکل	+	+	+	+
SQSL139	موینه شکل	+	-	+	+
SQSL143	موینه شکل	+	-	-	+

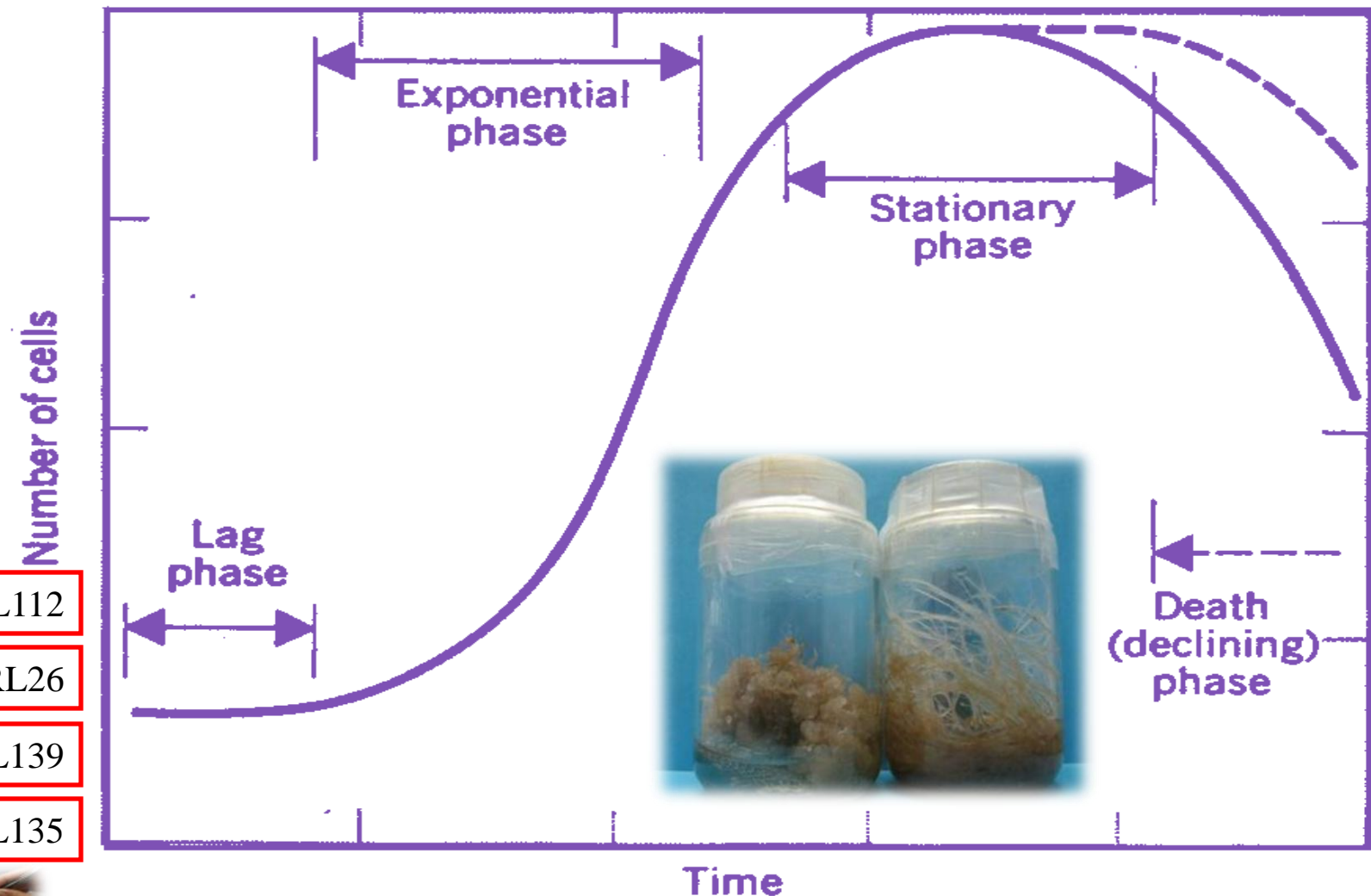
ردیابی ژن های وارد شده به نمونه میزبان (انجام واکنش

(PCR)

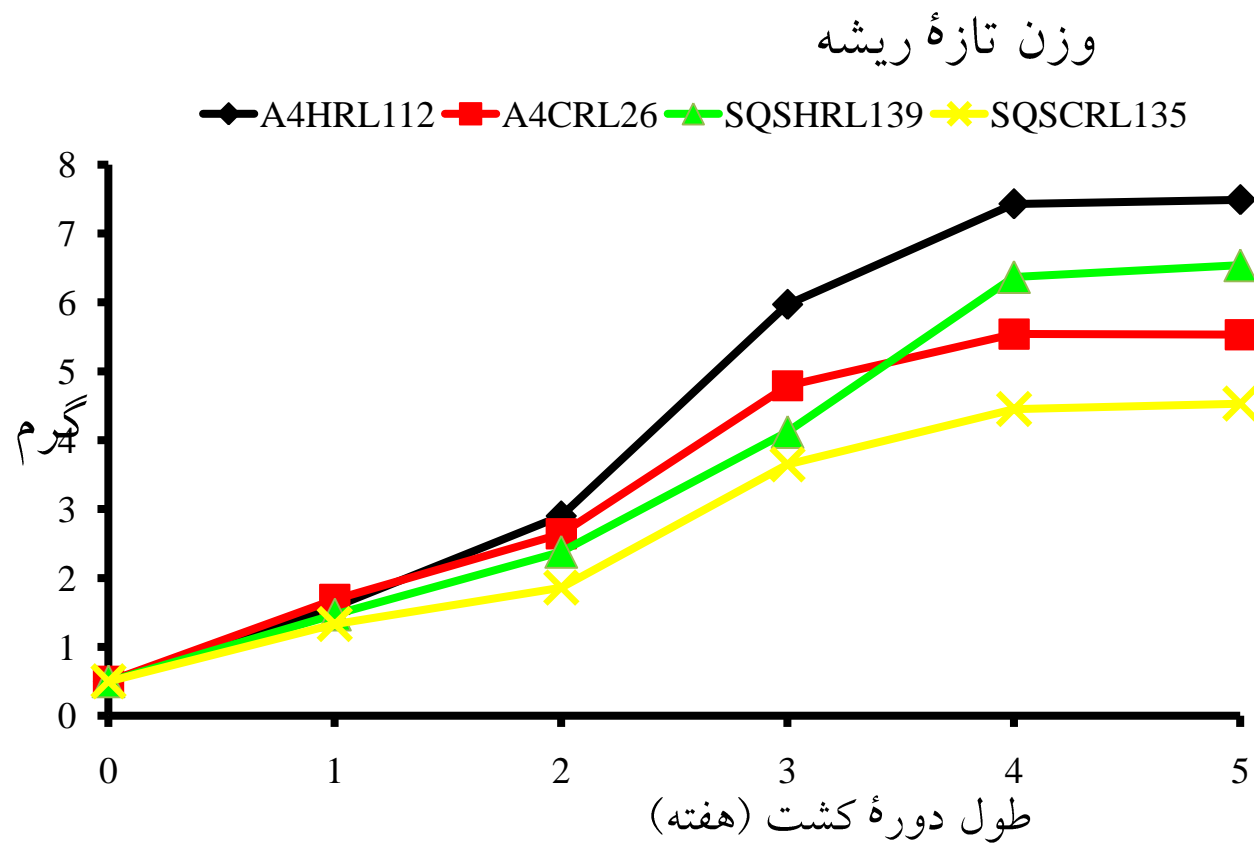
درصد حضور ژن ها در ریشه های تاریخت

<i>rol C</i>	<i>aux</i>	<i>ags</i>	مورفولوژی	نوع لاین ریشه
٪.100	٪.100	٪.100	کالوس شکل	ترانسفورم شده با Ri Plasmid A4
٪.100	٪.12/5	٪.60	مویینه شکل	
٪.100	٪.100	٪.83	کالوس شکل	ترانسفورم شده با نژاد حامل ژن pBIs SQS
٪.100	٪.14/3	٪.51	مویینه شکل	

مطالعه الگوی رشد و تولید ویتانولیدهای ریشه‌های تراریخت

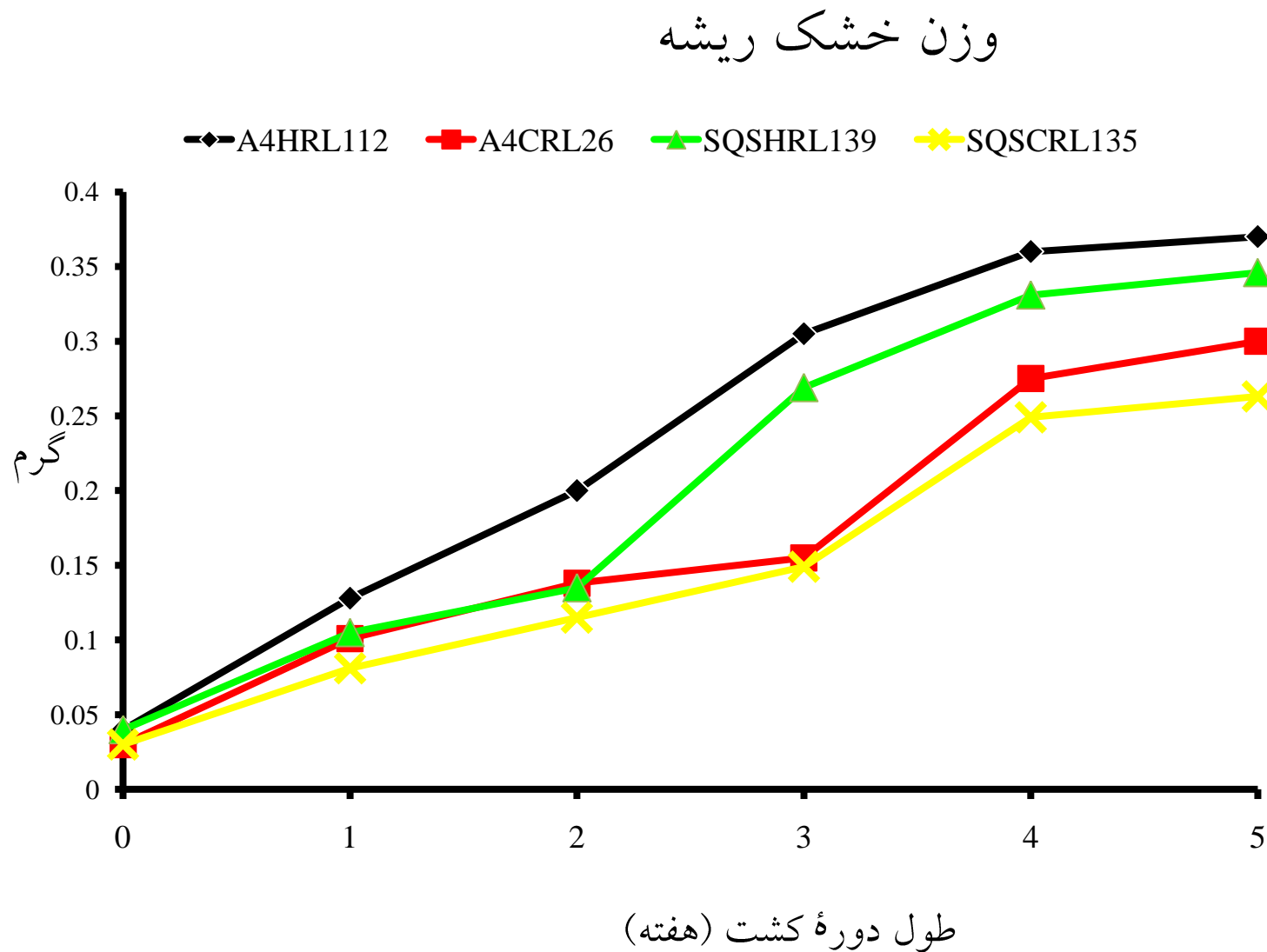


الگوی تولید ماده تازه ریشه های ترا ریخت



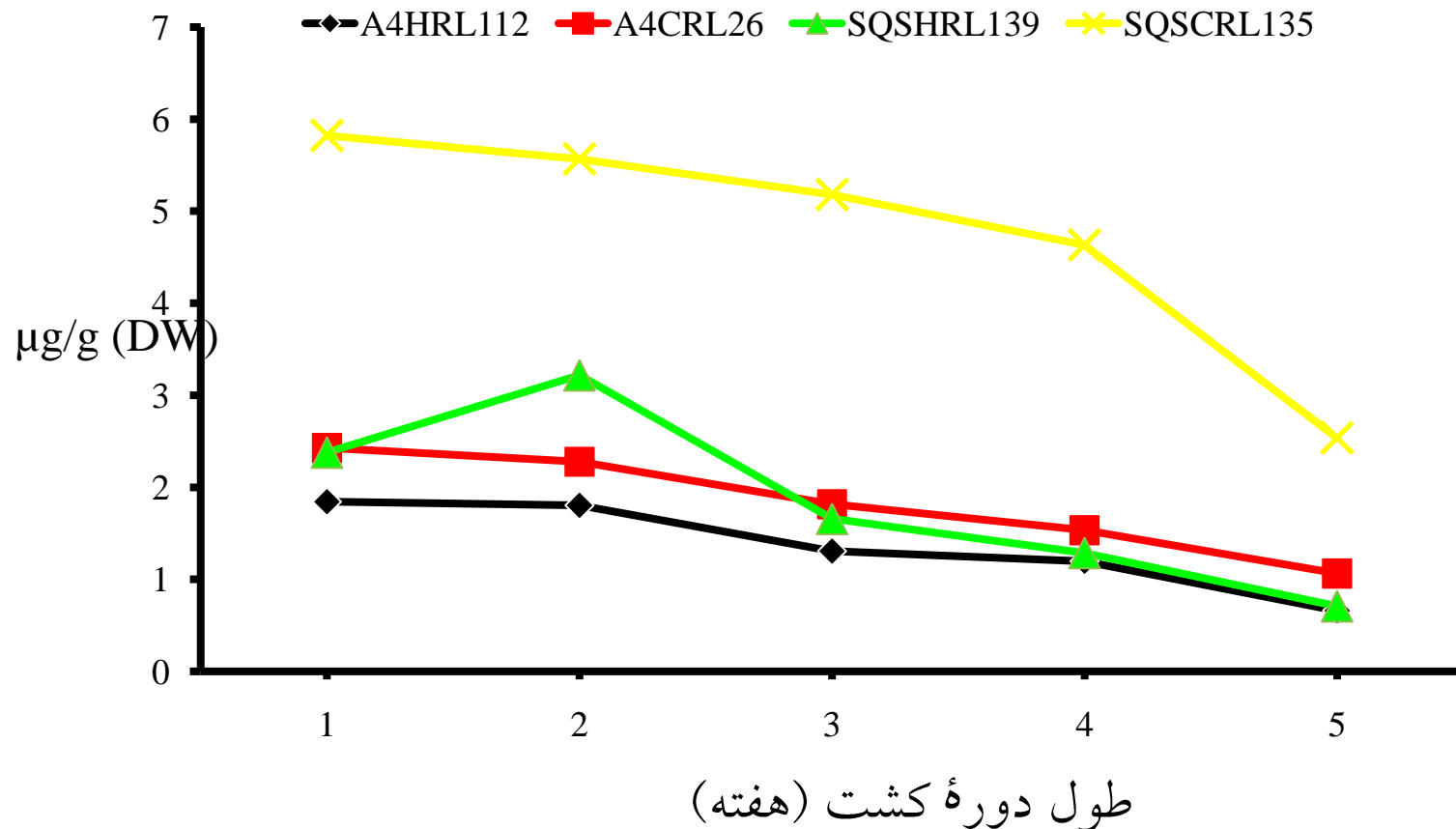
الگوی رشد ریشه های گیاه جین سنگ (Palazón et al. 2003) ریشه های کالوس شکل عدم تفاوت رشد ریشه های ترا ریخت دوبوئیسیا با نژاد وحشی (Palazón et al. 2003) ریشه های مویینه شکل بیش از کالوس شکل ویتانیا سومینیفرا (Bandyopadyay et al. 2007)

الگوی تولید ماده خشک ریشه های تراریخت



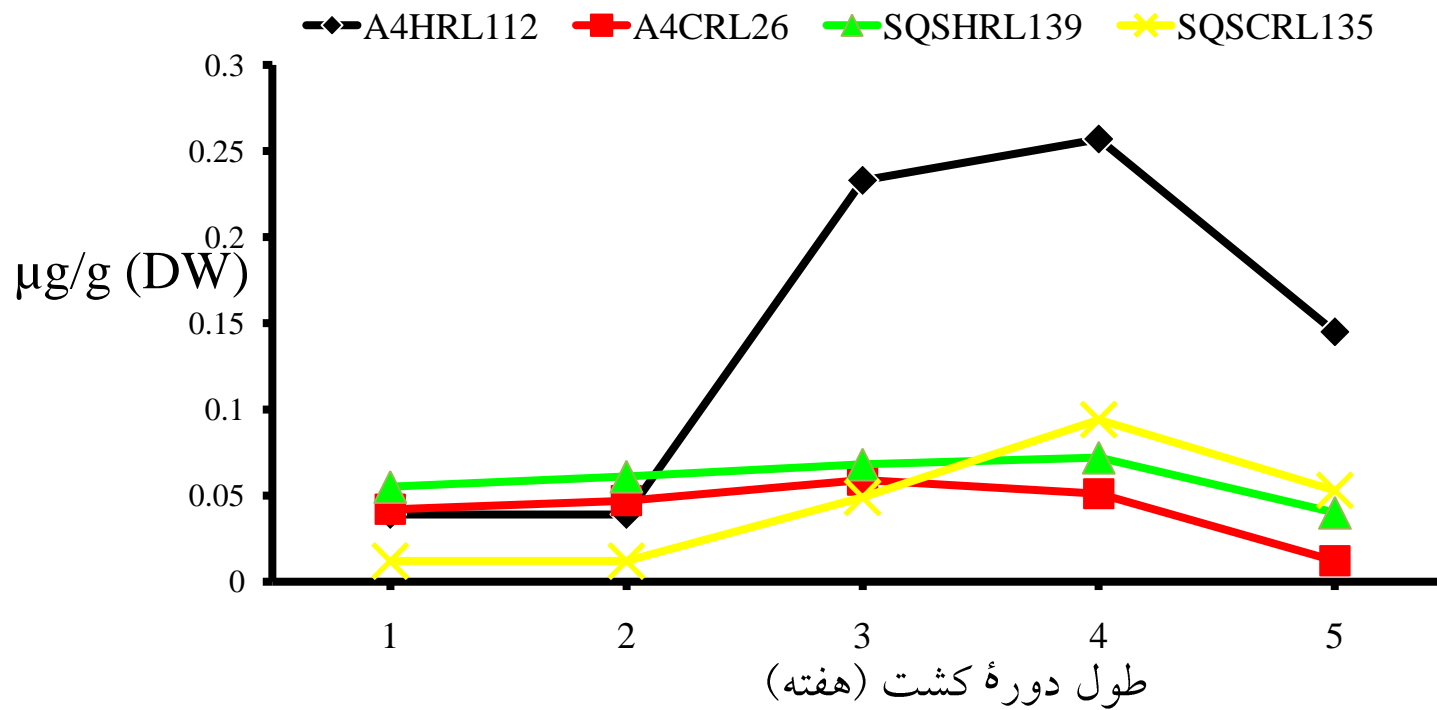
الگوی تجمع و تولید ویتانولید ها در ریشه های ترا ریخت

مقدار ویتانولید A



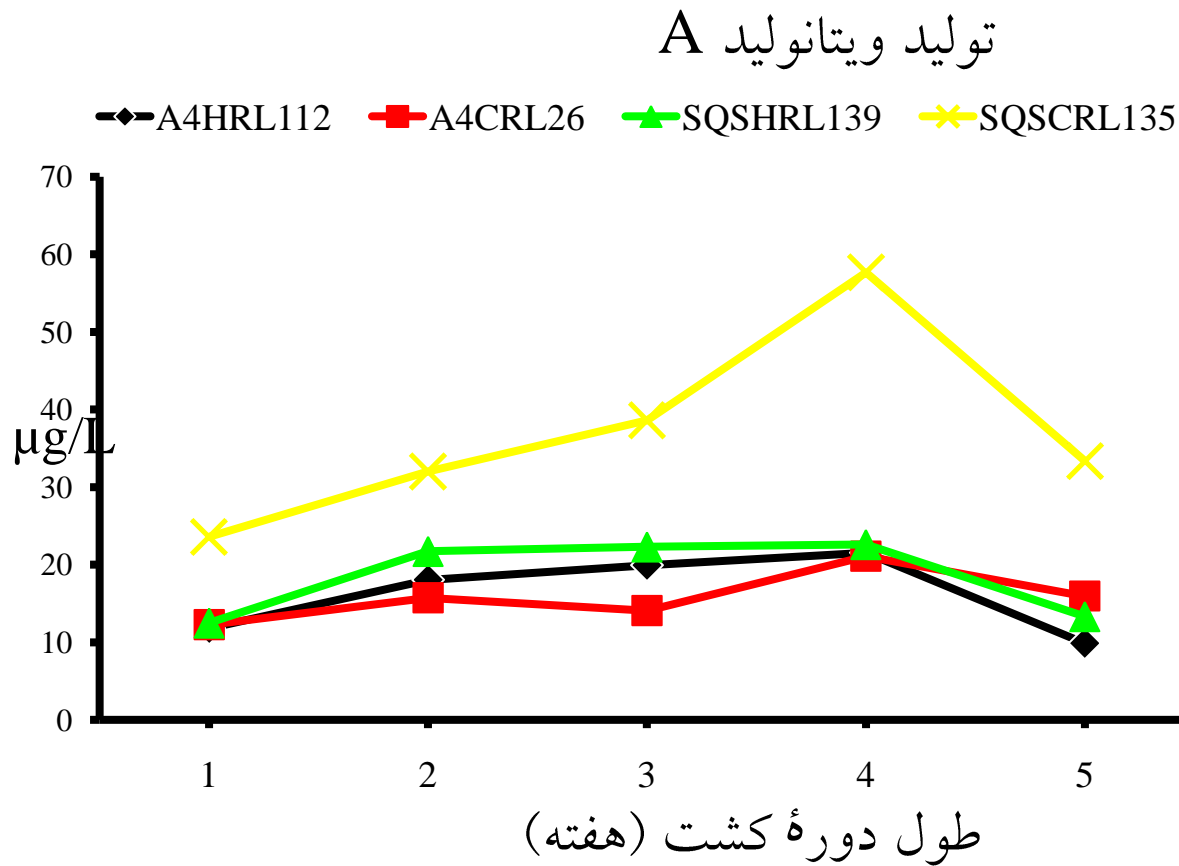
الگوی تجمع و تولید ویتانولید ها در ریشه های تاریخت

مقدار ویتافرین A



الگوی متفاوت تولید جینسنوزایدهای گیاه جین سنگ (Mallol et al. 2001)
تولید گالفیمین A در گیاه *Galphimia glauca* در طول دوره کشت (Osuna et al. 2002)

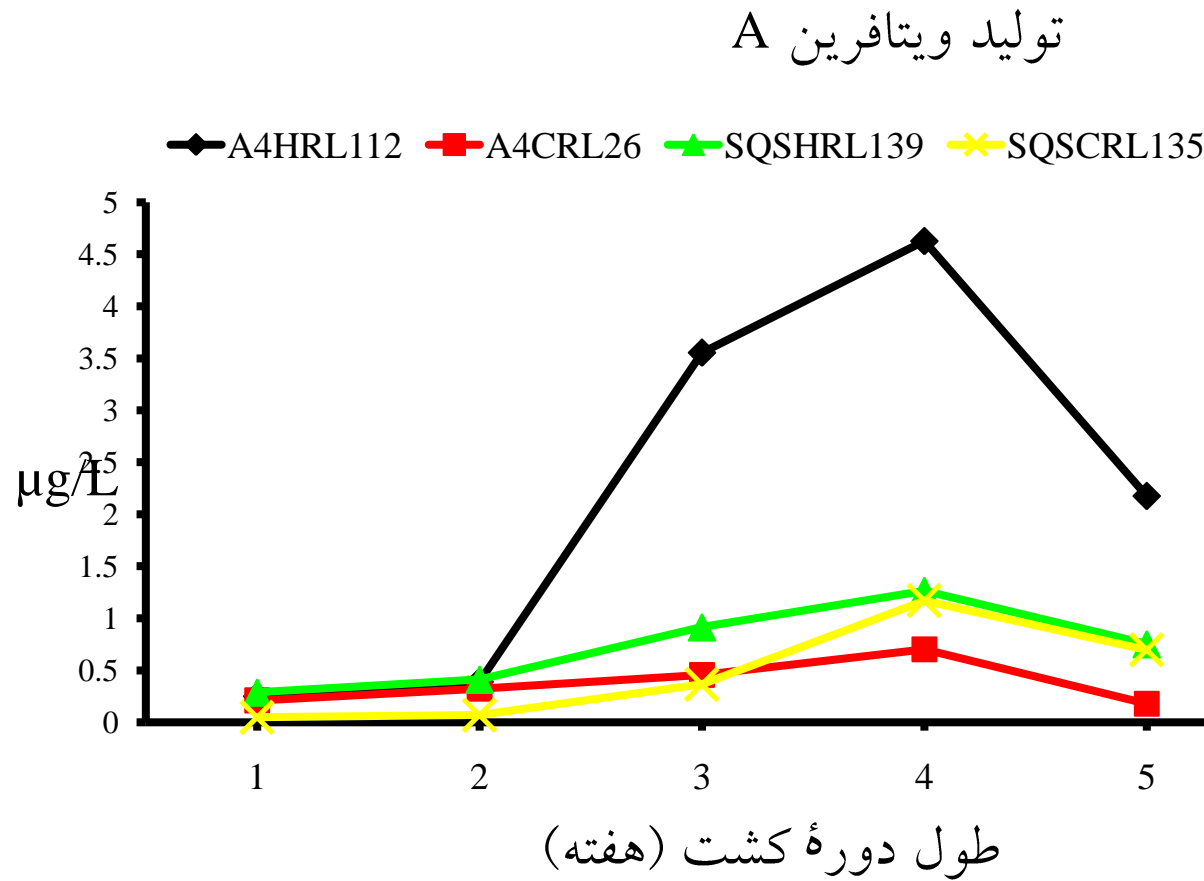
الگوی تجمع و تولید ویتانولید ها در ریشه های تاریخت



انتقال و بیان ژن اسکوالین سینتاز

افزایش تا ۵/۲ برابر تولید گلیسیریزین در ریشه های تاریخت گیاه شیرین بیان (Lu et al. 2008)
تولید تری ترپنوفئیدها در ریشه های تاریخت جین سنگ سیبری تا ۲ برابر (Seo et al. 2005)

الگوی تجمع و تولید ویتانولید ها در ریشه های تراریخت



الگوی متفاوت تاثیر ژن پوترسین متیل ترانسفراز (*pmt*) در کشت ریشه های تراریخت گیاه دوبوئیسیا افزایش تولید آکالولئید ان متیل پوترسین و عدم تاثیر بر تولید سایر آکالولئیدها (Moyano et al. 2002)





a

b

c







افزایش تولید رزمارینیک اسید تا ۳ برابر در گیاه ریحان (*Ocimum basilicum*)
(Bais et al. 2002)

افزایش تولید ساپونین ها تا ۷ برابر در گیاه *Solanum chrysotrichum*
(Caspeta et al. 2005)

افزایش تولید ترکیبات فنلی تا ۲/۵ برابر در گیاه سرخارگل (*Echinacea purpurea*)
(Wang et al. 2006)

افزایش تولید آزادیراختین تا ۵ برابر در گیاه چریش (*Azadirachta indica*)
(Satdive et al. 2006)

انتقال ژن در سیستم کشت ریشه مویینه گیاهان دارویی

انتقال و بیان ژن فارنسیل دی فسفات سینتاز در ریشه های مویینه ترا ریخت گیاه درمنه افزایش تولید آرتمیزین تا ۴ برابر (Chen et al. 1999)

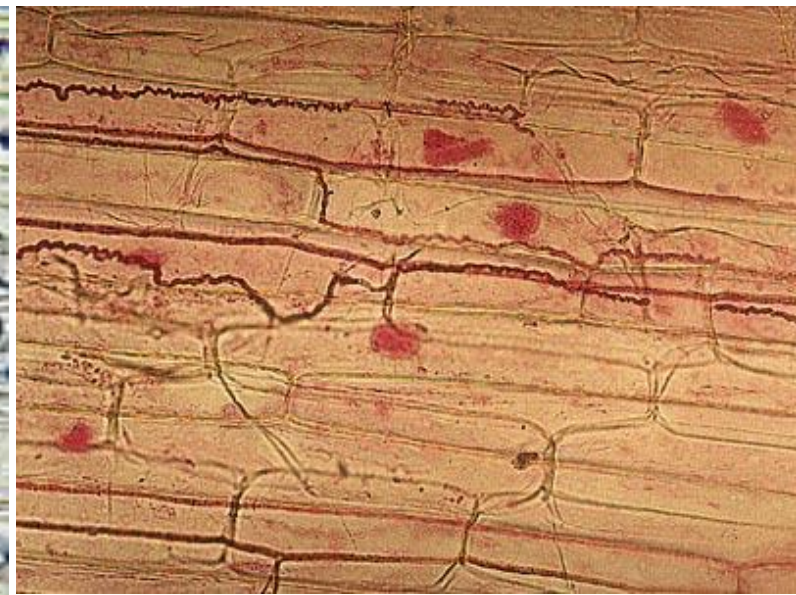
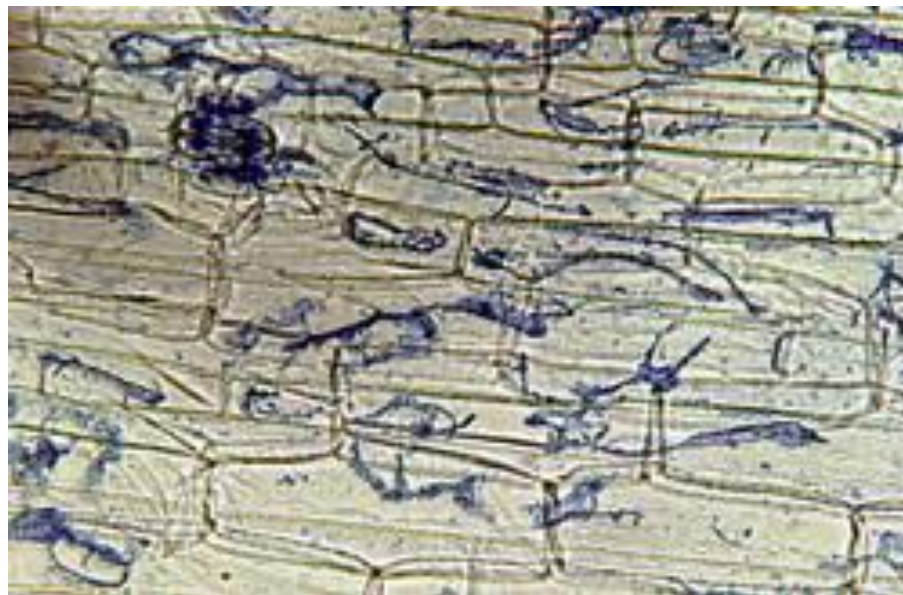
انتقال ژن چالکون ایزو مرماز به گونه ای از گیاه دارویی مریم گلی (*Salvia involucrata*) افزایش بیوسنتز فلاونوئید آپیجنین تا ۱۲ برابر (Lee et al. 2004)

مطالعه بیان ژن اسکوالین سینتاز در ریشه های ترا ریخت جین سنگ سیری افزایش تجمع تری ترپنوهیدها تا ۲/۵ برابر (Seo et al 2005)

انتقال و بیان ژن اسکوالین سینتاز در ریشه های ترا ریخت گونه ای از شیرین بیان افزایش تولید گلیسیریزین در ریشه های ترا ریخت تا ۲/۶ برابر (Lu et al 2008)

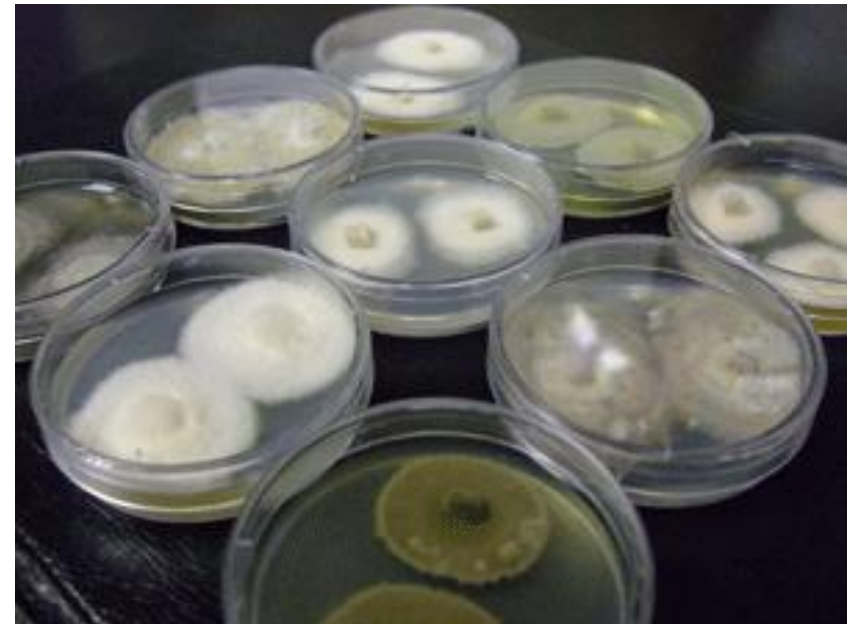
Plant-Associated Microorganisms (**Endophytes**) as a New Source of Bioactive Natural Products

Endophytic microorganisms are to be found in virtually **every higher plant**.



These organisms reside in the **living tissues** of the host plant, and do so in a variety of relationships ranging from **symbiotic** to **pathogenic**.

“Microbes that colonize living, internal tissues of plants without causing any immediate, overt negative effects”.



Endophytes may contribute to their host plant by producing a plethora of substances that provide **protection** and **survival value** to the plant.

These compounds, once isolated and characterized, may also have potential for use in **modern medicine**.

Novel antibiotics, antimycotics, immunosuppressants, and anticancer compounds.



The potential for the discovery of **new drugs** that may be effective candidates for treating newly developing diseases in humans is vast.

Among the approximately **300 000** higher plant species that exist on the Earth, each individual plant of the billions that exist is most likely a host to **one or more endophytes**.

Novel natural products, and the organisms that create them, offer major opportunities for innovation in **drug discovery**.

مثالی از ترکیبات طبیعی جداسازی شده از اندوفیت ها

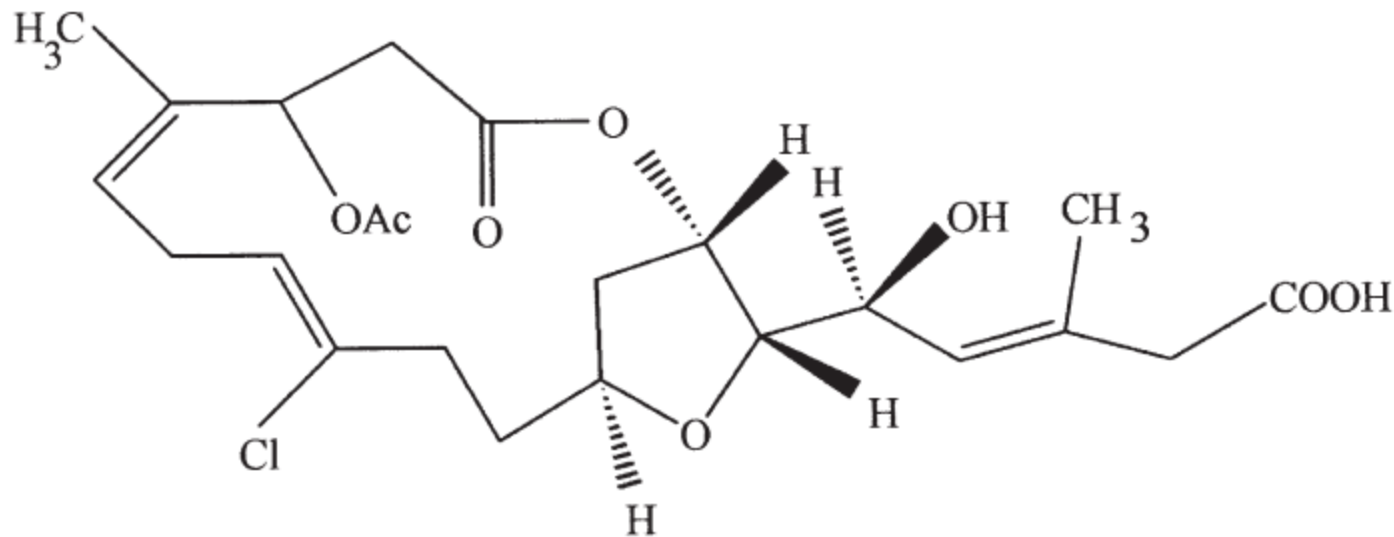


Fig. 4.1 Oocydin A, a chlorinated macrocyclic lactone isolated and characterized from a strain of *Serratia marcescens*, obtained from *Rhynchosciurus penicillata* (stereochemistry unknown).

مثالی از ترکیبات طبیعی جداسازی شده از اندوفیت ها

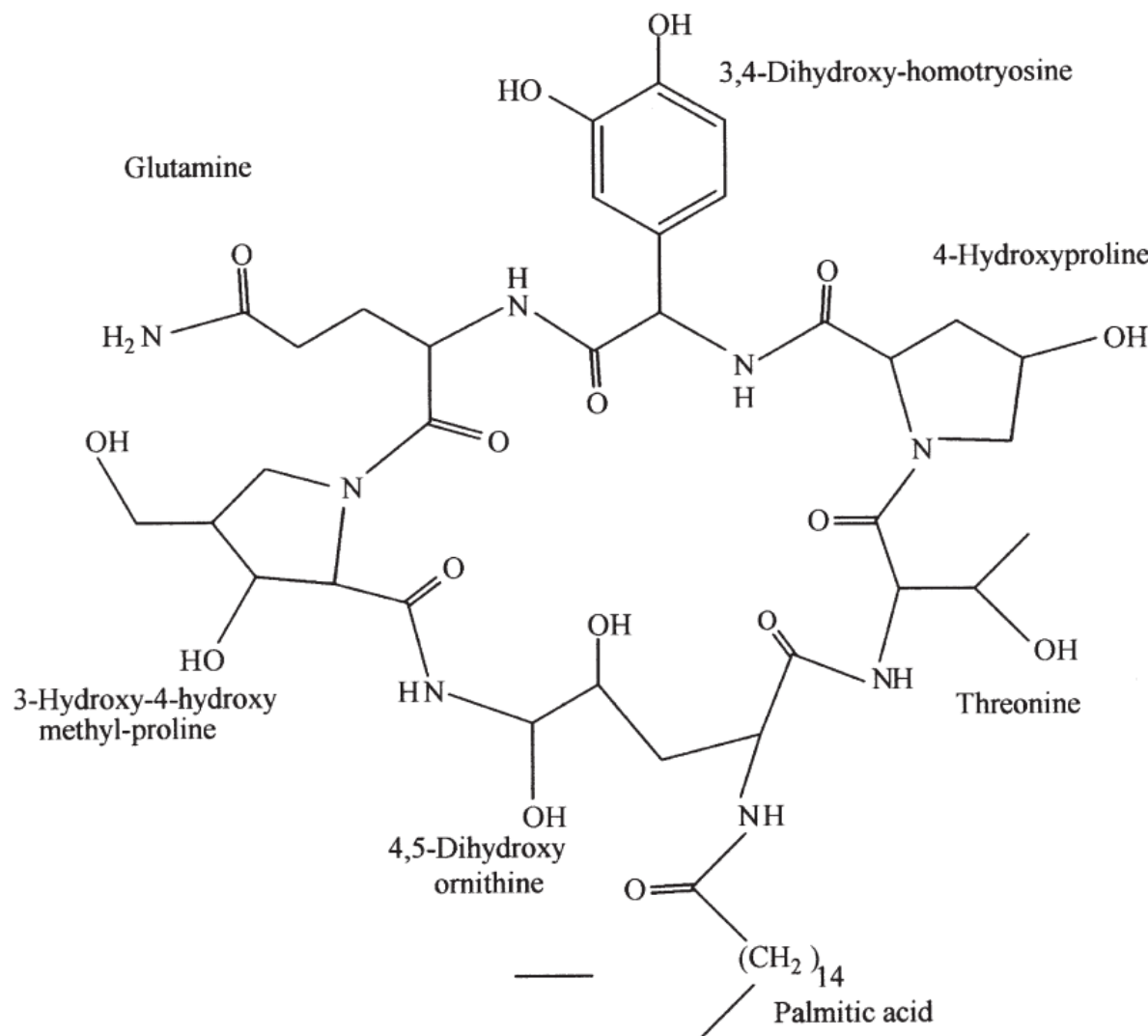


Fig. 4.2 Cryptocandin A, an antifungal lipopeptide obtained from the endophytic fungus, *Cryptosporiopsis cf. quercina*. (No stereochemistry is intended.)

مثالی از ترکیبات طبیعی جداسازی شده از اندوفیت ها

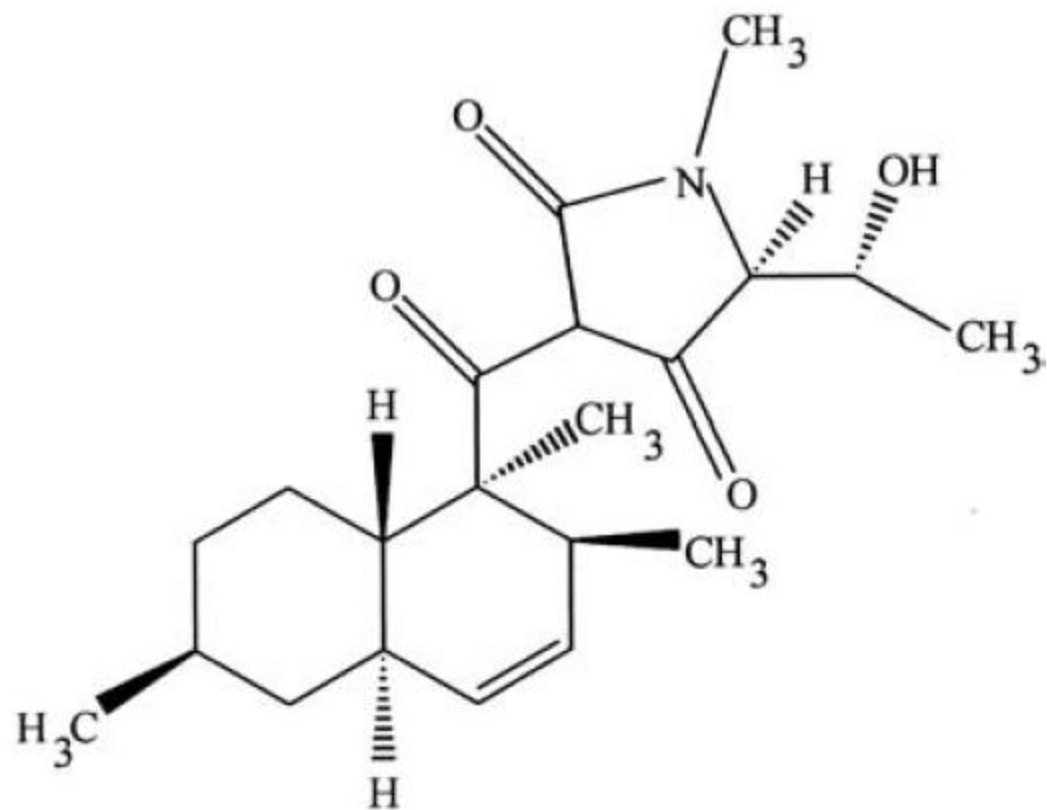


Fig. 4.3 Cryptocin, a tetramic acid antifungal compound found in *Cryptosporiopsis cf. quercina*

مثالی از ترکیبات طبیعی جداسازی شده از اندوفیت ها

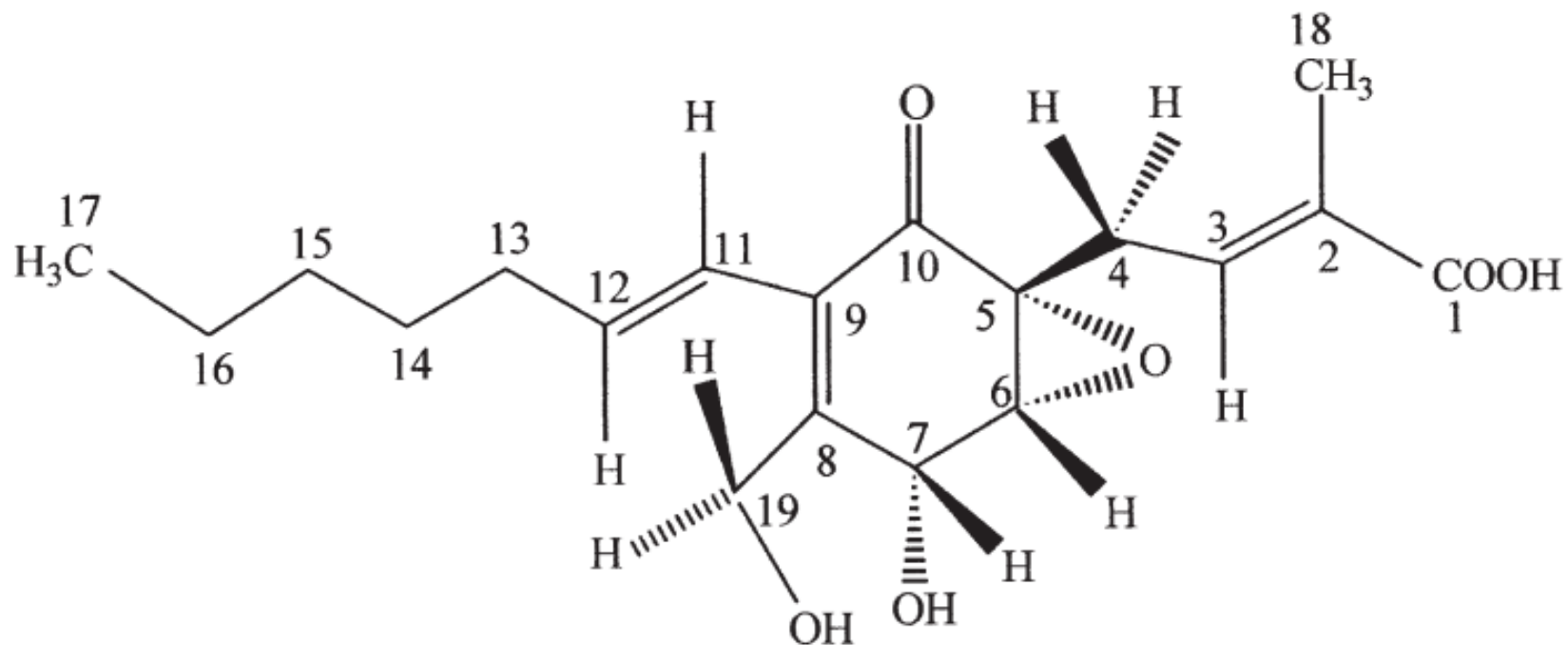


Fig. 4.4 Ambuic acid, a highly functionalized cyclohexenone produced by a number of isolates of *Pestalotiopsis microspora* found in rainforests around the world. This compound possesses antifungal activity and has been used as a model compound for the development of solid-state NMR methods for the structural determination of natural products.

مثالی از ترکیبات طبیعی جداسازی شده از اندوفیت ها

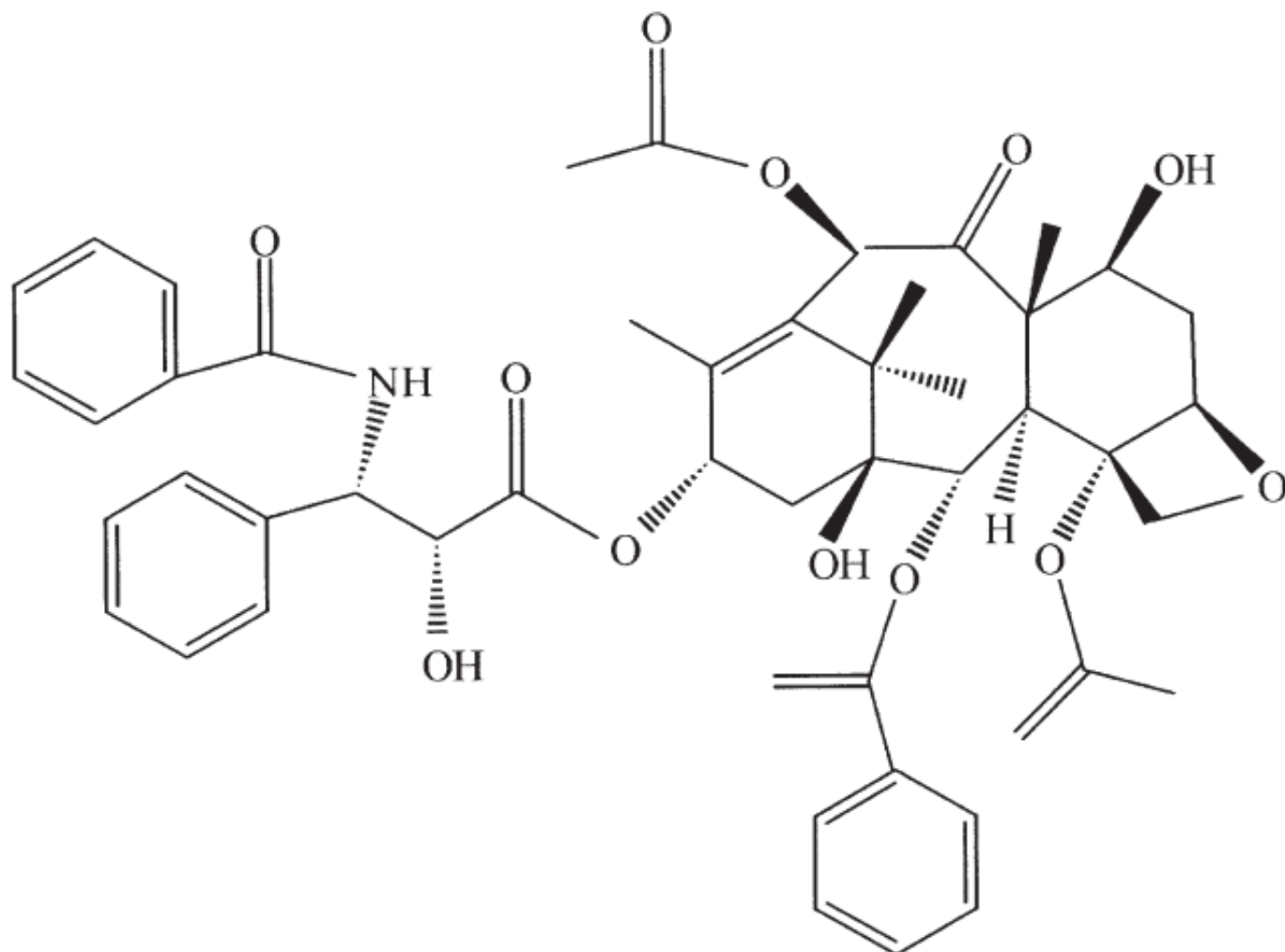
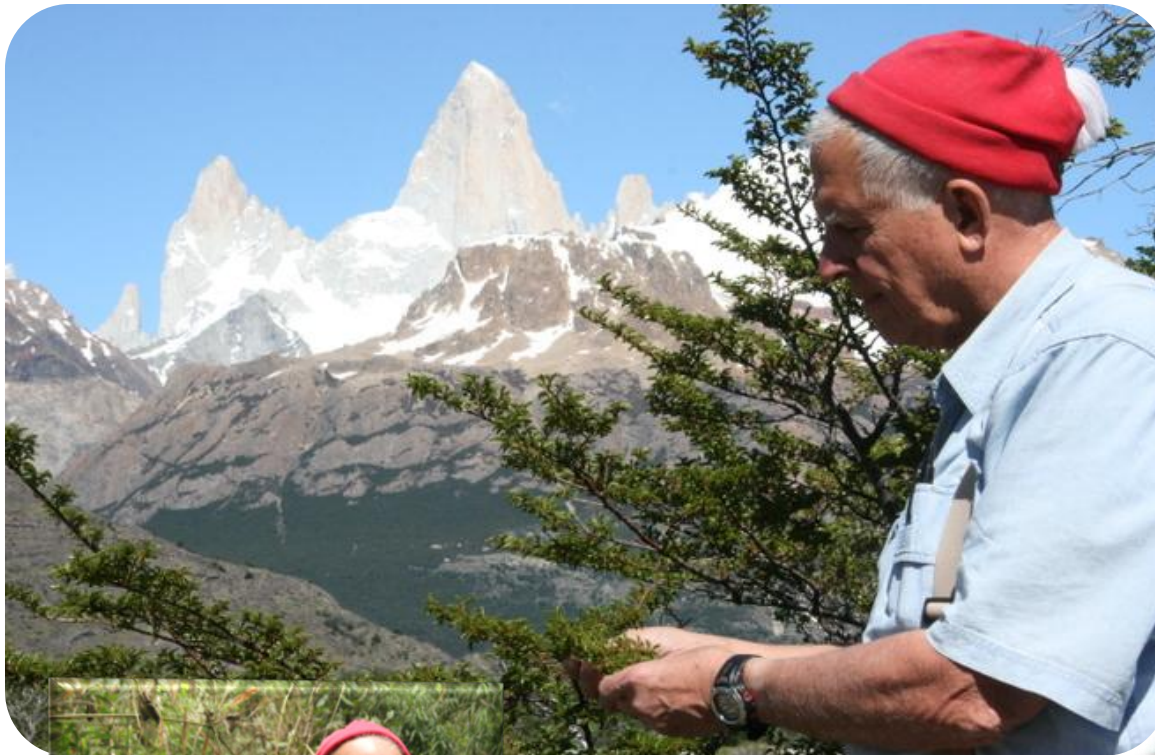


Fig. 4.7 Taxol, the world's first billion-dollar anticancer drug is produced by many endophytic fungi. It too, possesses outstanding antioomycete activity.

اندوفیت ها منبع ترکیبات دارویی ارزشمند



اندوفیت ها منبع ترکیبات دارویی ارزشمند



Gary Strobel



"Mother Nature does not work with single compounds.
It's the family that gets the job done,"



US005322779A

United States Patent [19]
Strobel et al.

[11] **Patent Number:** 5,322,779
[45] **Date of Patent:** Jun. 21, 1994

[54] **TAXOL PRODUCTION BY TAXOMYCES ANDREANAE**

[75] Inventors: **Gary A. Strobel**, Bozeman; **Andrea A. Stierle**; **Donald B. Stierle**, both of Butte, all of Mont.

[73] Assignee: **The Research and Development Institute, Inc. at Montana State University**, Bozeman, Mont.

[21] Appl. No.: 971,508

[22] Filed: Nov. 4, 1992

[58] **Field of Search** 435/123, 117, 132, 147, 435/155, 171, 254.1, 911; 549/510, 511

[56] **References Cited**
U.S. PATENT DOCUMENTS

4,206,221 6/1980 Miller et al. 424/278
4,468,458 8/1984 Sato et al. 435/134
5,019,504 5/1991 Christen et al. 435/123

Primary Examiner—Douglas W. Robinson
Assistant Examiner—L. Blaine Lankford
Attorney, Agent, or Firm—Lowe, Price, LeBlanc & Becker

ORIGINAL ARTICLE

***Aspergillus niger* var. *taxis*, a new species variant of taxol-producing fungus isolated from *Taxus cuspidata* in China**

K. Zhao, W. Ping, Q. Li, S. Hao, L. Zhao, T. Gao and D. Zhou

Key Laboratory of Microbiology, College of Life Science, Heilongjiang University, Harbin, China

R. Senthil Kumaran¹

J. Muthumary²

B. K. Hur¹

¹ Department of Biological Engineering, Inha University, Incheon, South Korea.

² Centre for Advanced Studies in Botany, University of Madras, Guindy Campus, Chennai, India.

Communication

Production of Taxol from *Phyllosticta spinarum*, an Endophytic Fungus of *Cupressus* sp.

Taxol production during the cultivation on a modified liquid and potato dextrose broth medium was indicated for the first time to occur in *Phyllosticta spinarum*, an endophytic fungus isolated from the needles of *Cupressus* sp. The presence of taxol in the fungal culture filtrate was confirmed by chromatographic and spectroscopic methods of analysis. The amount of taxol produced by this fungus was quantified by high performance liquid chromatography. The maximum amount of taxol production was obtained in this fungus when grown on M1D medium (235 µg/L) followed by PDB medium (125 µg/L). The results indicate that *P. spinarum* is an excellent candidate for taxol production. The production rate was 4.7×10^3 -fold higher than that found in the culture broth of an earlier reported fungus, *Taxomyces andreanae*. The fungal taxol extracted also showed a strong cytotoxic activity in the in vitro culture of human cancer cells tested in an apoptotic assay.



FEMS Microbiology Letters 193 (2000) 249–253

FEMS
MICROBIOLOGY
Letters

www.fems-microbiology.org

Taxol from *Tubercularia* sp. strain TF5, an endophytic fungus of *Taxus mairei*

Jianfeng Wang, Guiling Li, Huaying Lu, Zhonghui Zheng, Yaojian Huang, Wenjin Su *

*The Key Laboratory of Ministry of Education for Cell Biology and Tumor Cell Engineering and School of Life Sciences, Xiamen University,
Xiamen 361005, PR China*

Received 4 May 2000; received in revised form 16 October 2000; accepted 16 October 2000

A New Endophytic Taxane Production Fungus from *Taxus Chinensis*¹

Z. Miao*, Y. Wang, X. Yu, B. Guo, and K. Tang

Plant Biotechnology Research Center, School of Agriculture and Biology,
Shanghai Jiao Tong University, Shanghai, 200240, P.R. China

*e-mail: zm46@cornell.edu

Received June 24, 2007

Abstract—More than 50 kinds of endophytic fungi associated with *Taxus chinensis* were isolated and examined as a potential source of the imposing anticancer drug taxol. Of these, four isolates show ability to produce taxane when measured with the competitive inhibition enzyme immunoassay method. The most promising clone, DA10, identified as *Mucor rouxianus* sp., is the first rouxianus reported as taxol production fungus. The presence of taxol and its important precursors, such as 10-diacetyl baccatinIII (**10-DAB**) and baccatinIII, in the culture of this fungus was confirmed by reactivity with a taxane-specific monoclonal antibody, comparative chromatographic and mass spectrometric behavior, cytotoxicity to liver carcinoma 7402, and molecular cloning of kernel fragment of taxadiene synthase gene.



<http://mc.manuscriptcentral.com/fems>

**Isolation and characterization of *Stemphylium sedicola*
SBU-16 as a new endophytic taxol-producing fungus from
Taxus baccata grown in Iran**

Mirjalili, Mohammad Hossein; Medicinal Plants and Drugs Research Institute, Agriculture

Farzaneh, Mohsen; Medicinal Plants and Drugs Research Institute, Agriculture

Bonfill, Mercedes; Faculty of Pharmacy, Plant physiology and Edaphology
Ghassempour, Alireza; Medicinal Plants and Drugs Research Institute,
Phytochemistry

It is **important** to understand that the **methods** and **rationale** used seem to provide the best opportunities to isolate **novel endophytic microorganisms** at the genus, species, or biotype levels.

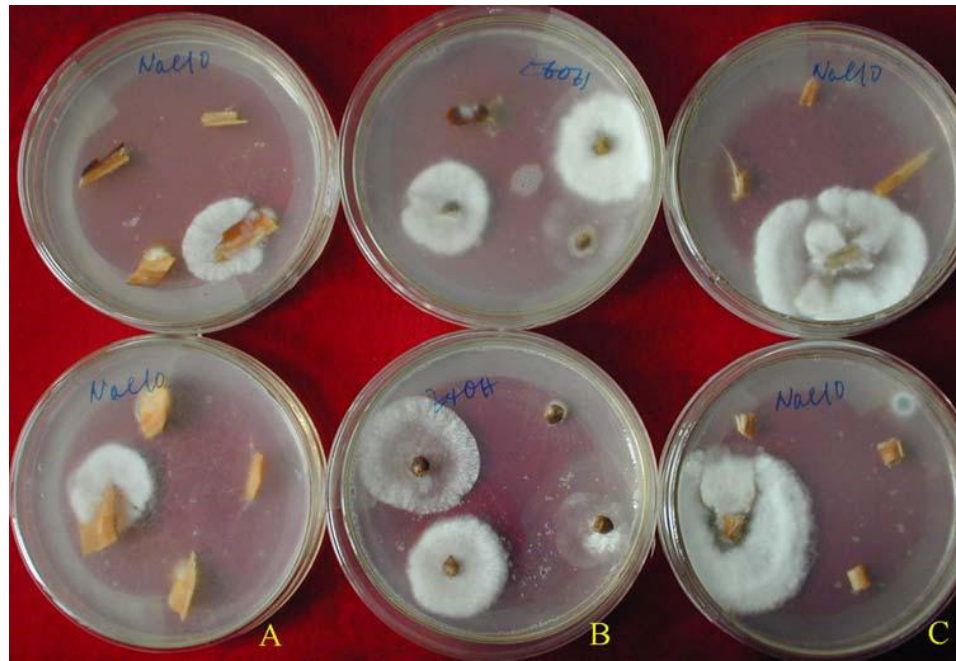
- ✓ Plants from **unique environmental** settings, especially those with an **unusual biology**, and possessing novel strategies for survival, are seriously considered for study.

- ✓ Plants that have an **ethnobotanical history** (used by indigenous peoples) and are related to the **specific uses** or applications of interest are selected for study.
- ❑ These plants are chosen either by direct contact with **local** peoples, or via local literature.
- ❑ Ultimately, it may be learned that the healing powers of the botanical source may in fact not be related to the natural products of the plant, but rather to **the endophyte** inhabiting the plant.

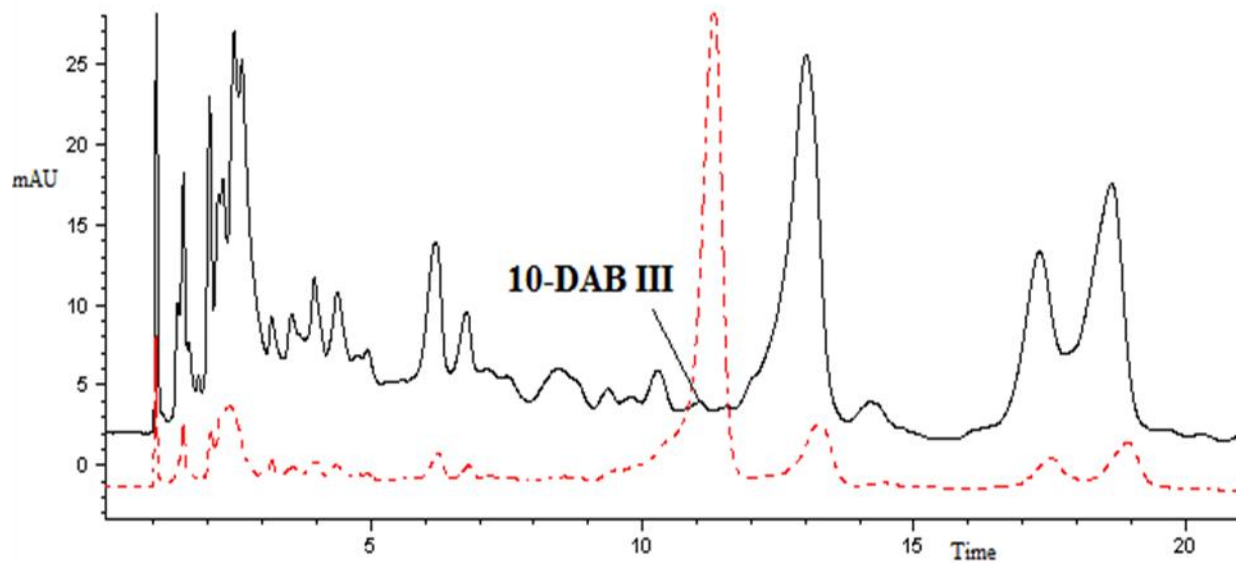
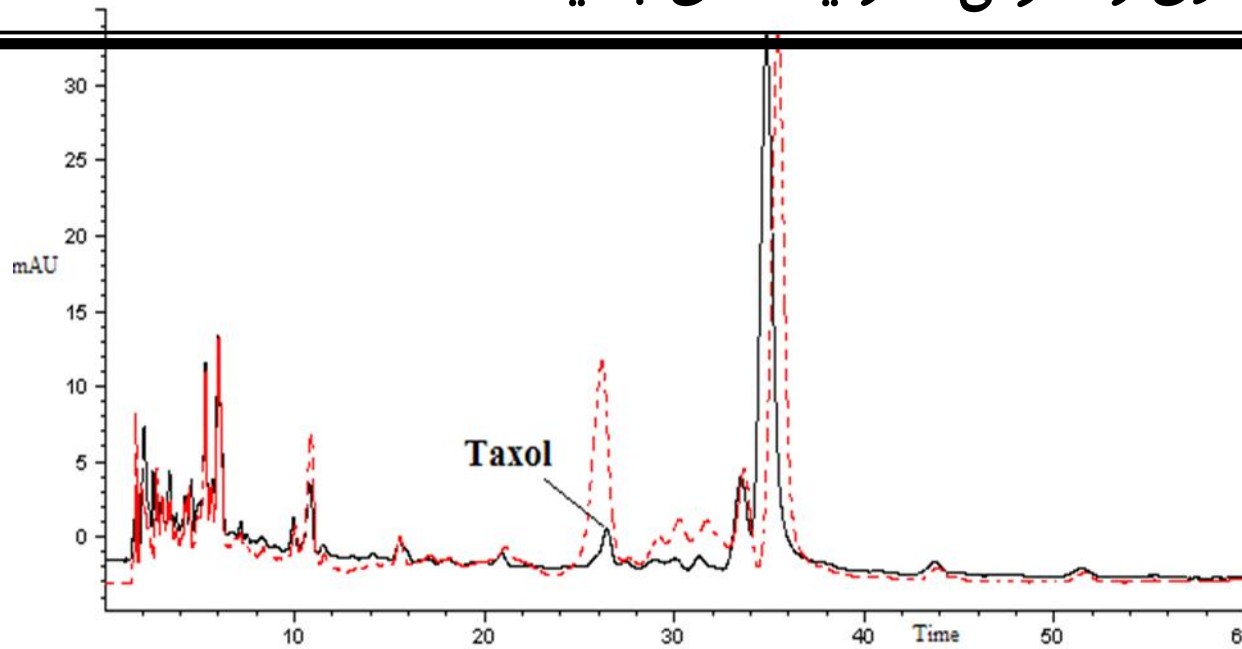
- ✓ Plants that are **endemic**, having an unusual longevity, or have occupied a certain ancient land mass are also more likely to lodge endophytes with active natural products than other plants.

- ✓ Plants growing in areas of **great biodiversity**, it follows, also have the prospect of housing endophytes with great biodiversity.

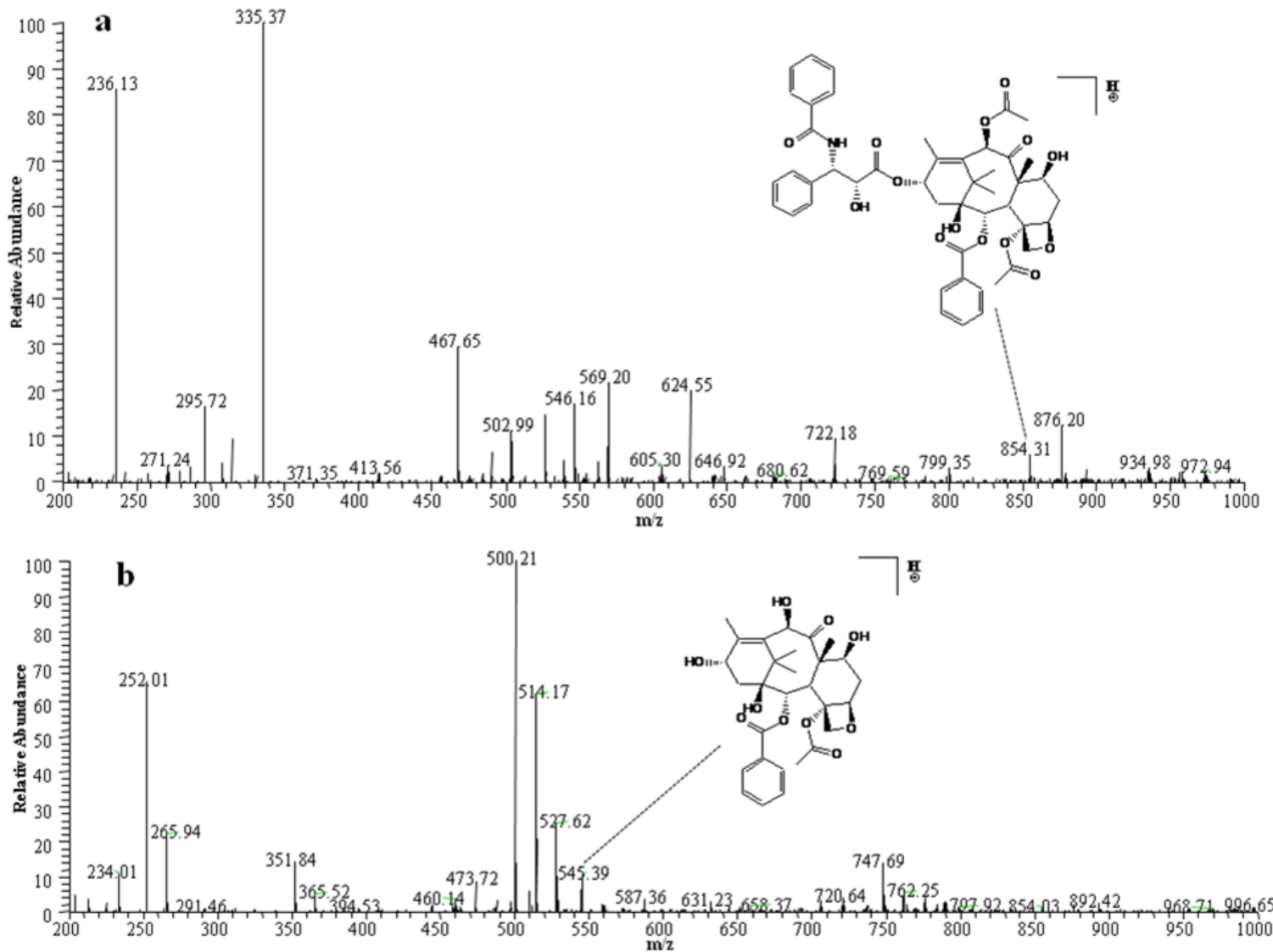
مراحل جداسازی و معرفی اندوفیت های جدید



مراحل جداسازی و معرفی اندوفیت های جدید



مراحل جداسازی و معرفی اندوفیت های جدید



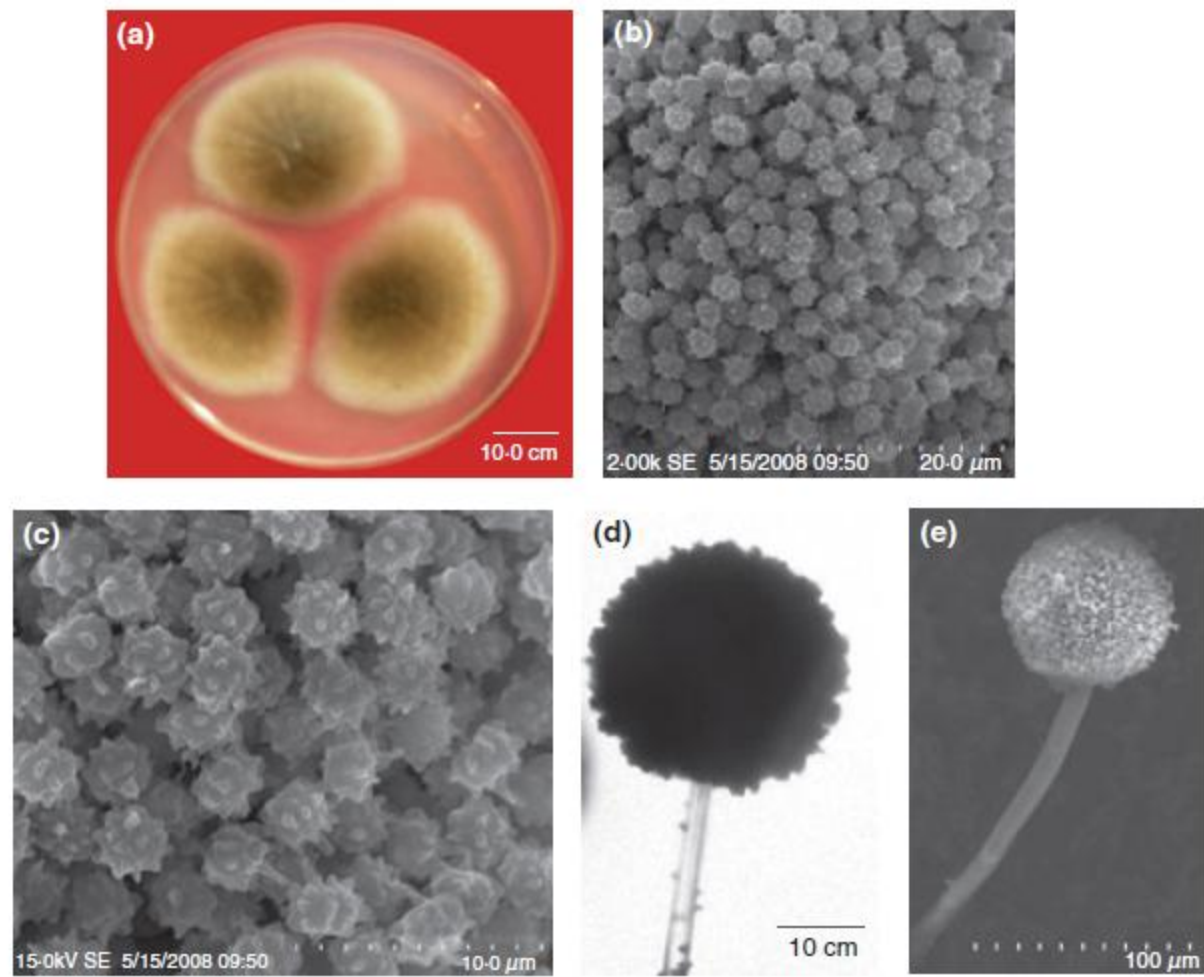
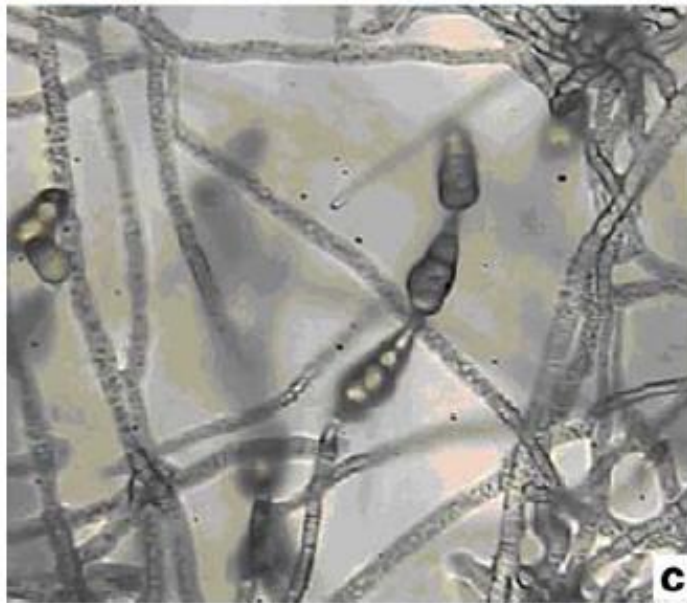
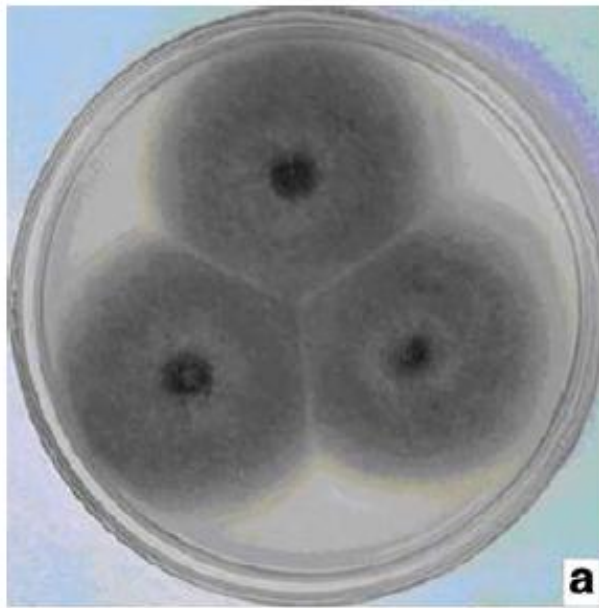
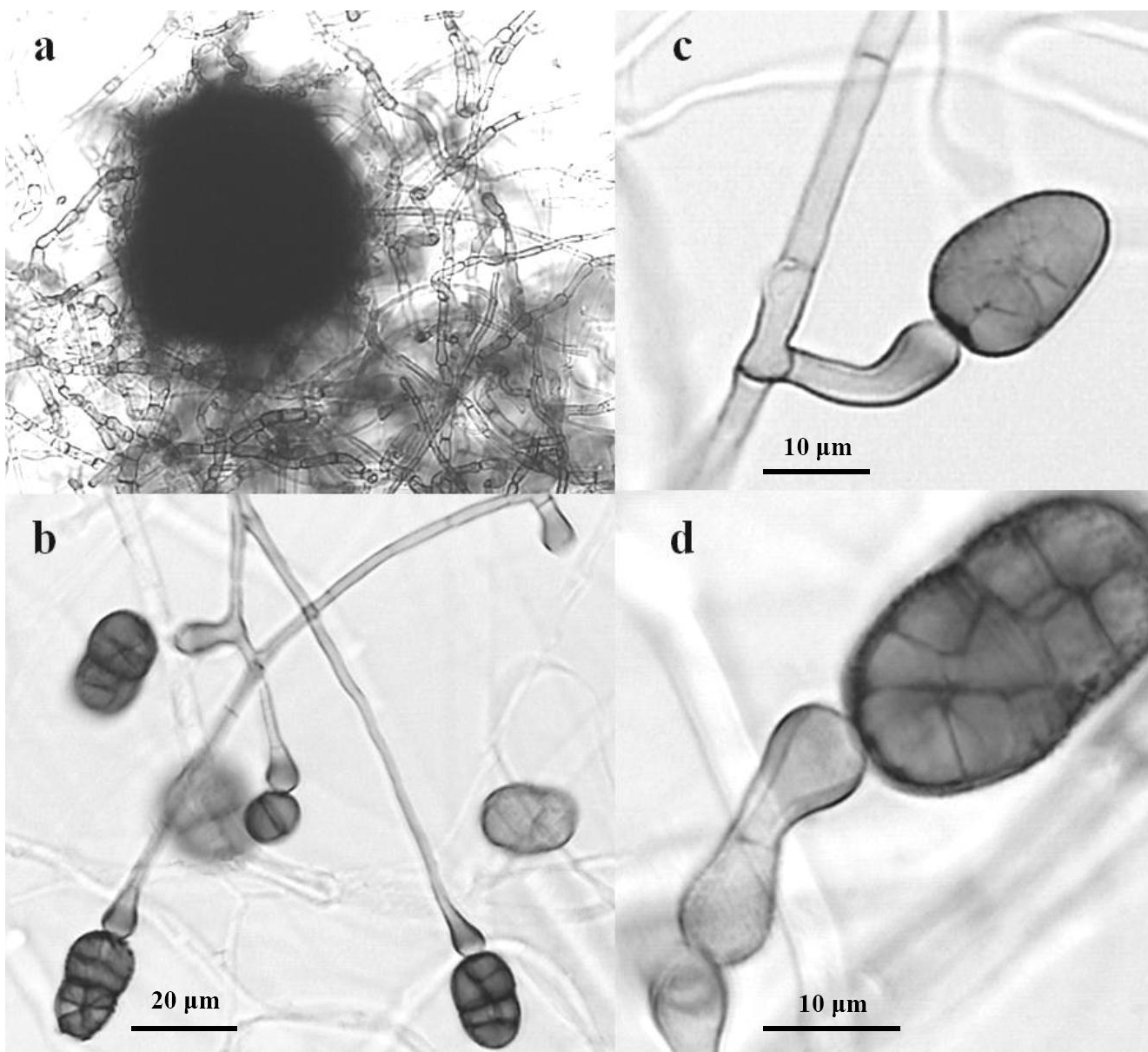


Figure 3 Morphology of taxol-producing endophytic fungus HD86-9. (a) Colony growing on PDA medium at 28°C for 3 days; (b, c) conidia viewed under a scanning electron microscope at the magnitudes of 2000 (b) and 5000 (c); (d, e) conidiophores viewed under a light microscope at the magnitudes of 1000 (d) and 370 (e).

مراحل جداسازی و معرفی اندوفیت های جدید



مراحل جداسازی و معرفی اندوفیت های جدید



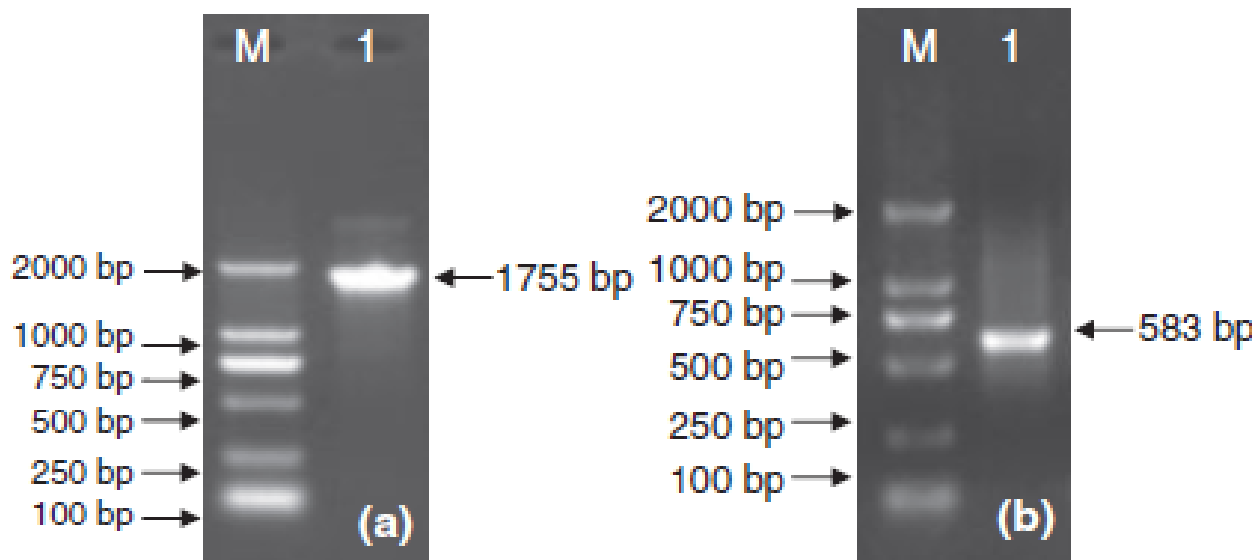


Figure 4 Agarose gel electrophoresis for PCR products of the 18S rDNA and ITS region including the 5·8S rDNA amplified from strain HD86-9. (a) The 18S rDNA; (b) The ITS region. Lane M: DNA molecular weight marker DL2000.

مراحل جداسازی و معرفی اندوفیت های جدید

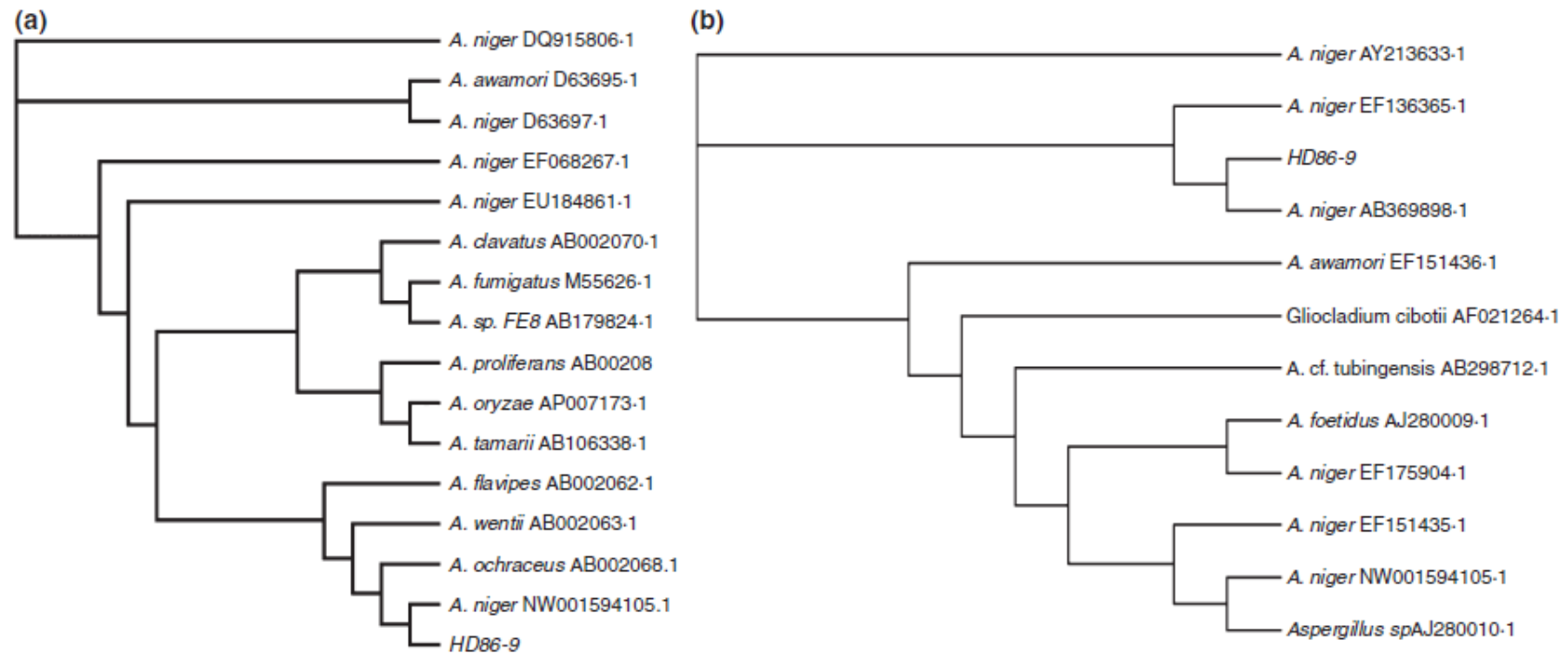
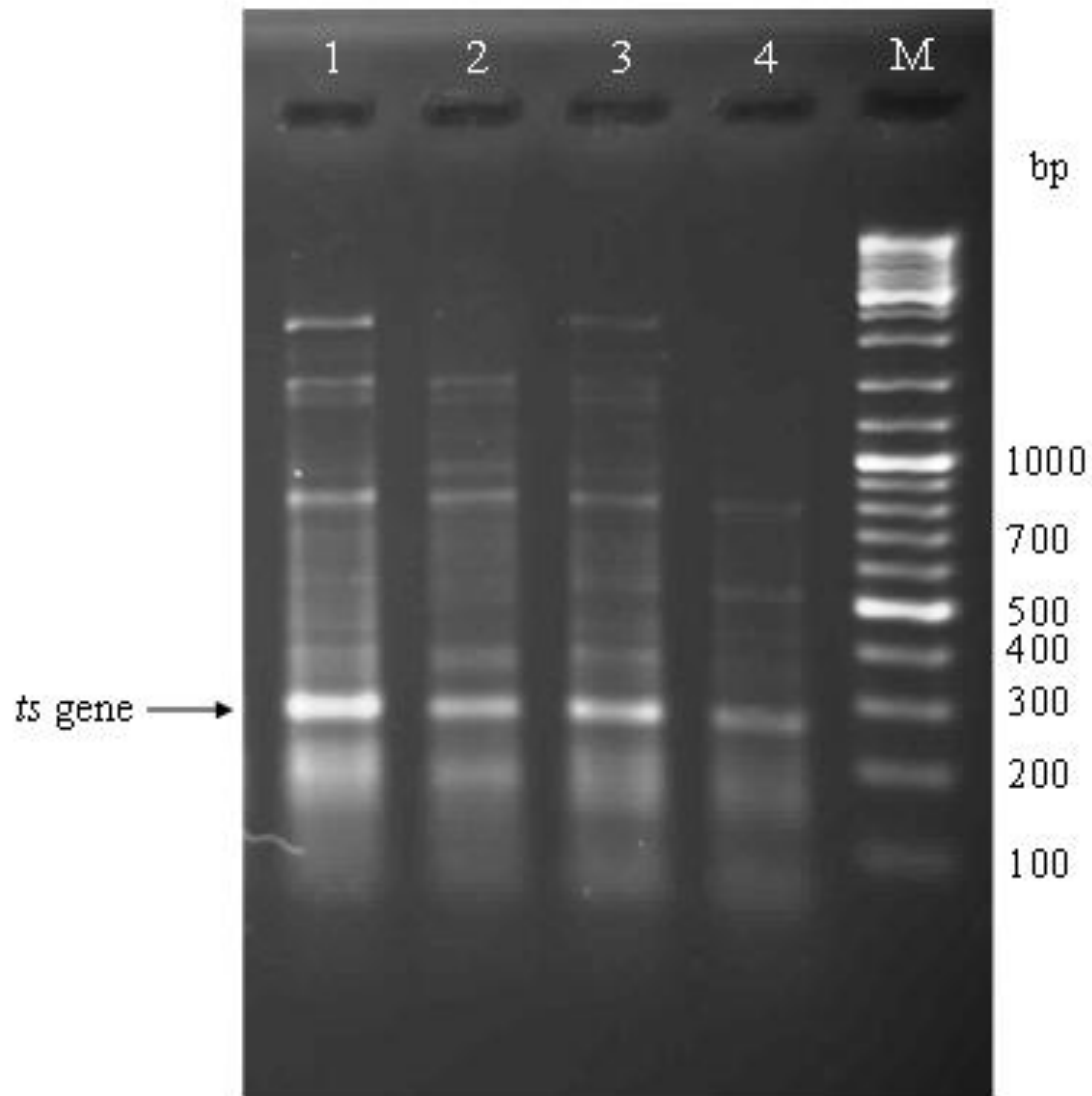
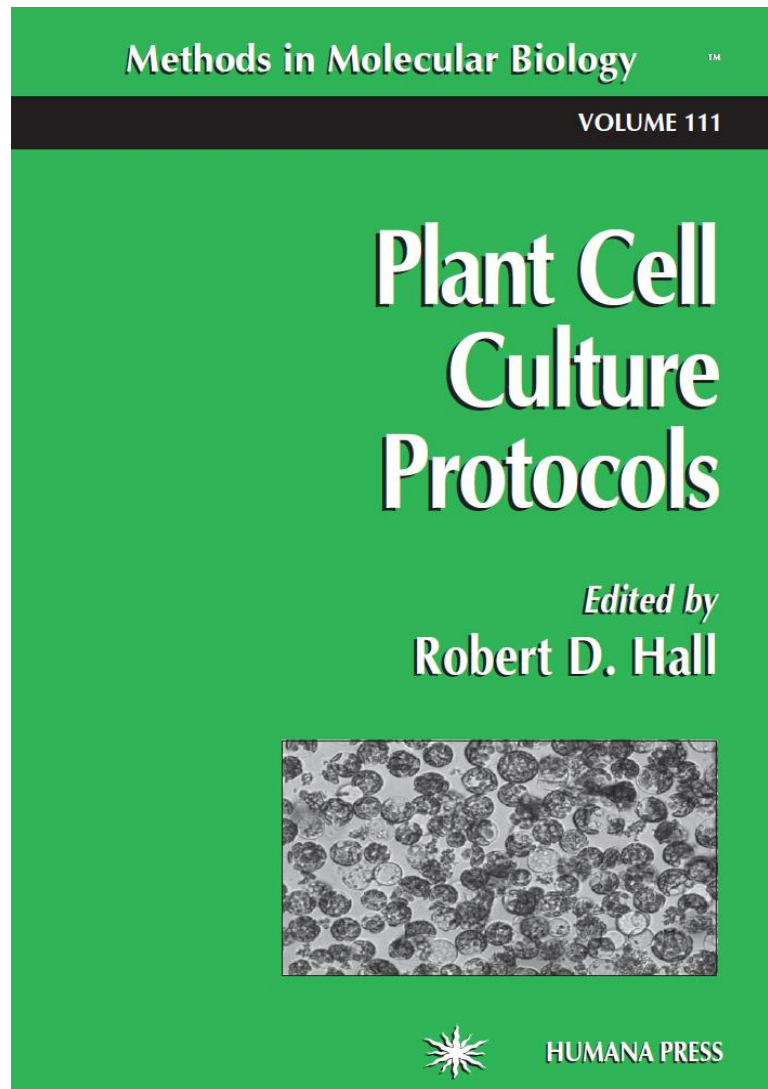
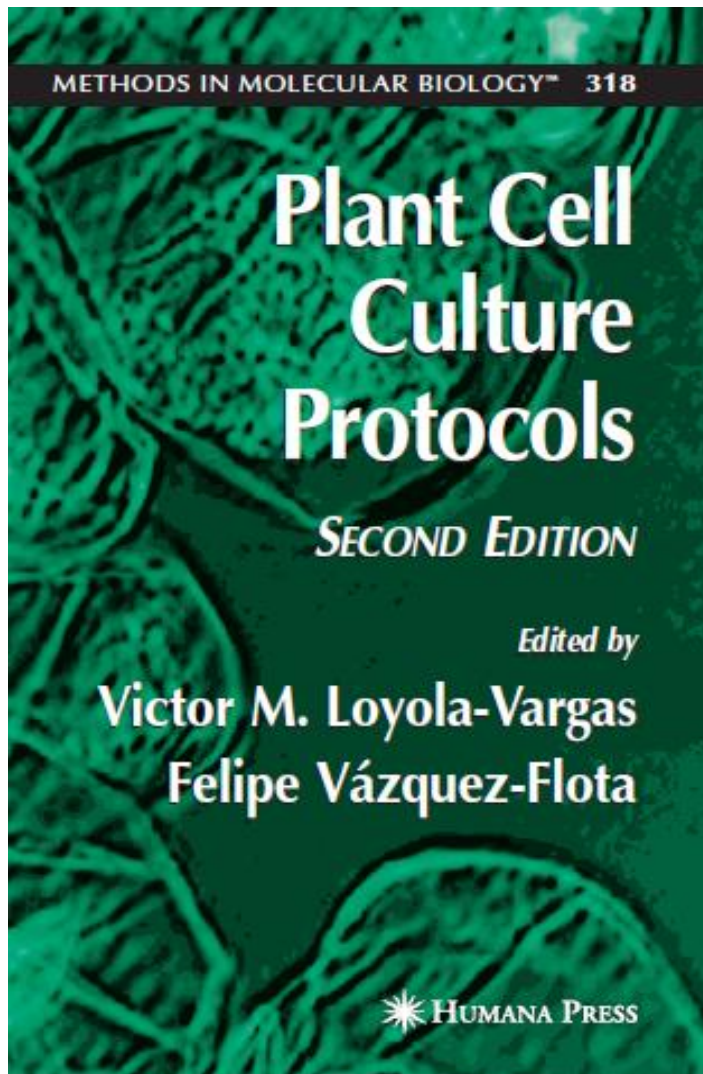


Figure 5 Phylogenetic trees showing relationship of strain HD86-9 with other related fungal species retrieved from GenBank based on their sequence homologies of 18S rDNA (a) and ITS region including the 5·8S rDNA (b).

مراحل جداسازی و معرفی اندوفیت های جدید





Studies in Plant Science, 5

Plant Tissue Culture:
Theory and Practice, a Revised Edition

**S.S. Bhojwani
M.K. Razdan**

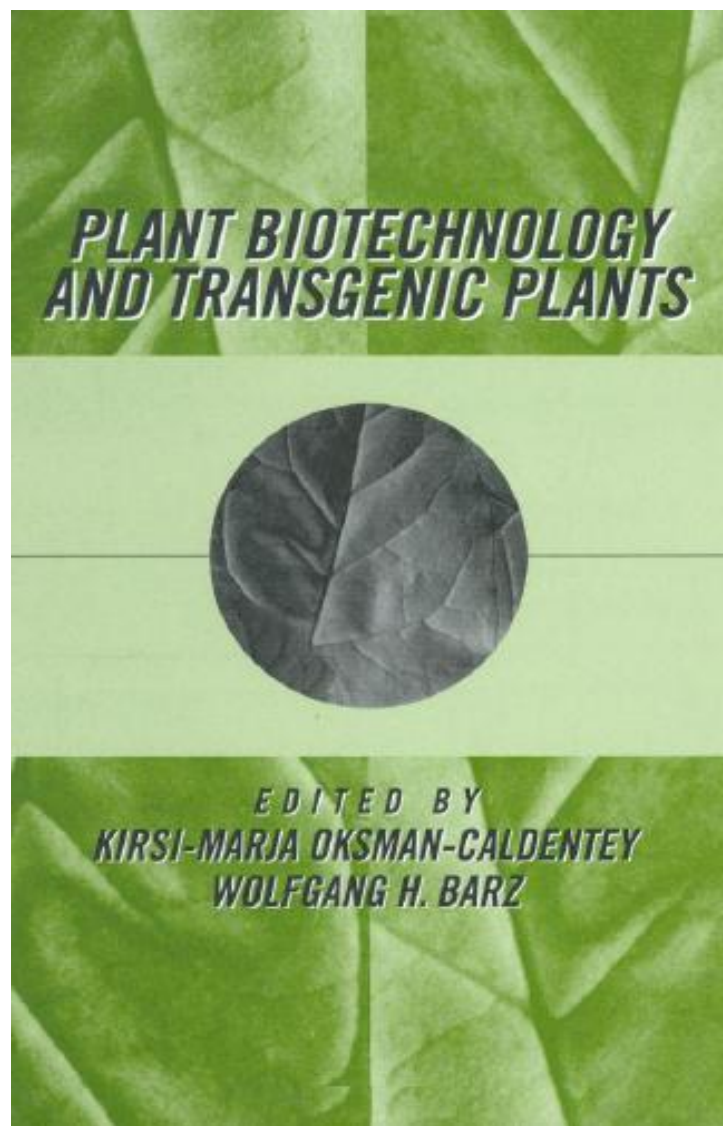
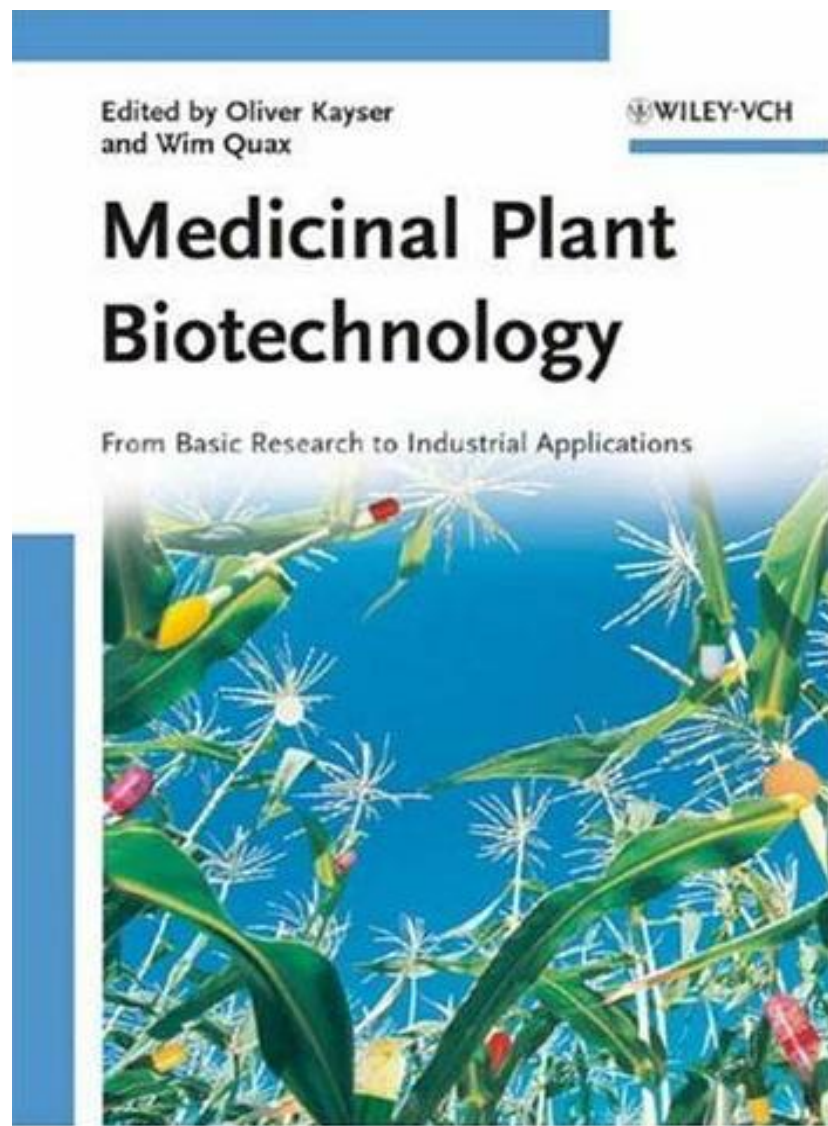


Elsevier

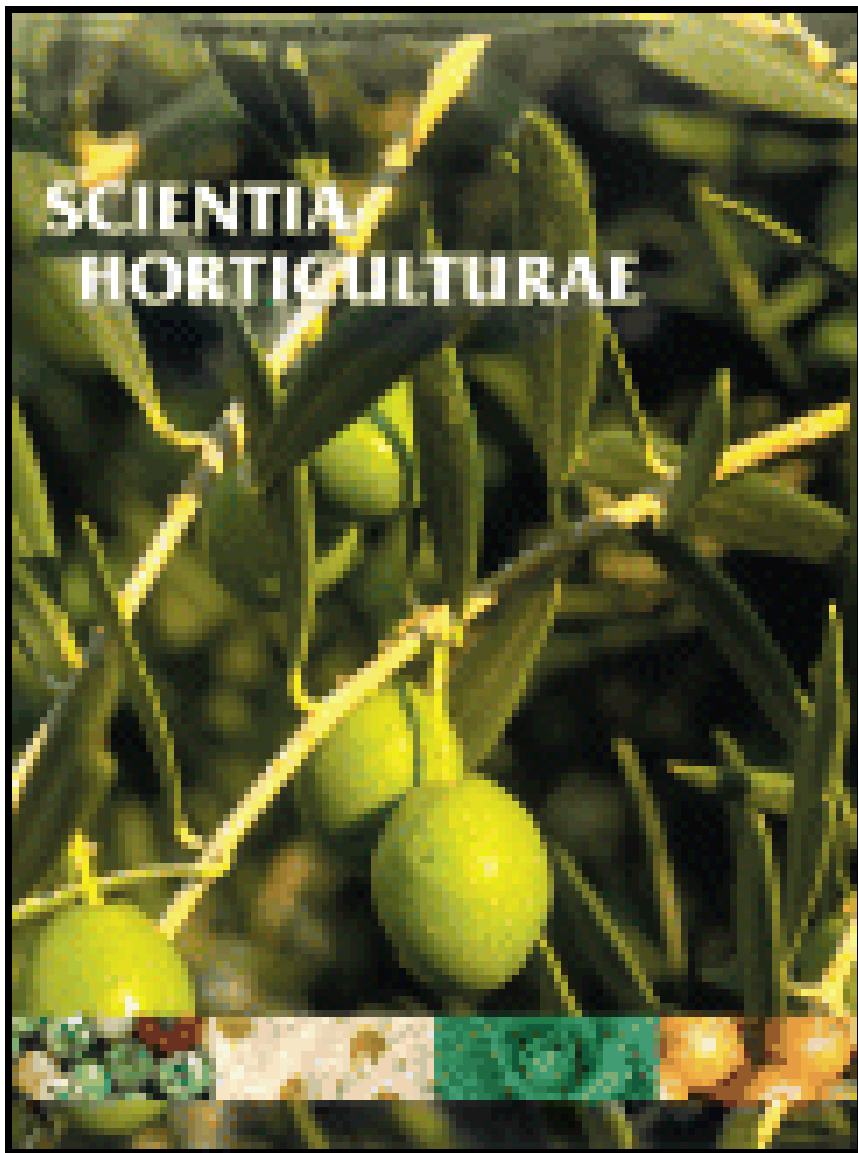
**Plant Cell and
Tissue Culture**

Edited by
Indra K. Vasil and Trevor A. Thorpe

Kluwer Academic Publishers







Biotechnology Letters

A monthly journal for the rapid communication of results and developments in all aspects of biotechnology

Editorial Board

- Chris Hawker (University of Cambridge, UK)
David Archer (University of Nottingham, UK)
Mike J. House (University of Nottingham, UK)
Roger Jefferiss (Institute of Life Sciences, Northern Ireland, UK)
David Thompson (Queensland Institute of Technology, Australia)
Andy Bass (University of East Anglia, UK)
Peter Holliday (University College London, UK)
Mike Thompson (Lancaster University, UK)

